

ΤΕΧΝΙΚΗ ΠΕΡΙΓΡΑΦΗ

- Χειμερινού – θερινού κλιματισμού με την χρήση γεωθερμικής αντλίας θερμότητας σε επιλεγμένους χώρους του κτιρίου,
- Φωτισμού σε όλους τους χώρους του κτιρίου,
- Φωτοβολταϊκού συστήματος,
- Συστήματος εποπτίας και διαχείρισης του ηλεκτρομηχανολογικού εξοπλισμού του κτιρίου. (Building Management System ή εν συντομία BMS)
- Εγκατάστασης ανεμιστήρων οροφής
- Αντικατάστασης του υφιστάμενου λέβητα με νέο
- Αντικατάστασης των υφιστάμενων κυκλοφορητών με νέους μεταβλητής παροχής
- Προσθήκης θερμοστατικών κεφαλών στα θερμαντικά σώματα
- Προσθήκης θερμομόνωσης στο υφιστάμενο δίκτυο θέρμανσης

στο έργο ενεργειακή αναβάθμιση και εγκατάσταση συστημάτων
ΑΠΕ στο 2^ο Γυμνάσιο – 2^ο Λύκειο Αλεξάνδρειας Ημαθίας.

Σεπτέμβριος 2013

ΠΕΡΙΕΧΟΜΕΝΑ

| | | |
|-------|---|----|
| 1. | Θερινός – χειμερινός κλιματισμός με χρήση γεωθερμικής αντλίας θερμότητας | 7 |
| 6.1 | Φορτία χώρων | 7 |
| 6.2 | Επιλογή γεωεναλλάκτη | 9 |
| 6.2.1 | Περιγραφή δικτύου γεωεναλλάκτη | 12 |
| 6.2.2 | Σωληνώσεις | 13 |
| 6.2.3 | Γεωτρήσεις | 13 |
| 6.2.4 | Πλήρωση του δακτυλίου της γεώτρησης με μείγμα τσιμέντου | 13 |
| 6.3 | Επιλογή αντλίας θερμότητας | 14 |
| 6.4 | Διερεύνηση παραγωγής ζεστών νερών χρήσης με γεωθερμία | 16 |
| 6.5 | Τοπικές μονάδες ανεμιστήρα – στοιχείου νερού | 16 |
| 6.6 | Περιγραφή συστήματος διανομής..... | 17 |
| 6.6.1 | Δοχείο αδρανείας..... | 18 |
| 6.6.2 | Κυκλοφορητές | 18 |
| 6.7 | Σωληνώσεις | 19 |
| 6.7.1 | Χαλυβδοσωλήνες με κατά μήκος ραφή..... | 19 |
| 6.7.2 | Μόνωση σωλήνων..... | 19 |
| 6.8 | Απομάκρυνση συμπυκνωμάτων | 20 |
| 6.9 | Ηλεκτρικές συνδέσεις..... | 20 |
| 6.10 | Αποξηλώσεις | 21 |
| 6.11 | Αποκαταστάσεις..... | 21 |
| 6.12 | Υποχρεώσεις αναδόχου (αδειοδοτήσεις) | 21 |
| 2. | Φωτισμός | 22 |
| 2.1 | Γενικά..... | 22 |
| 2.2 | Φωτιστικά σώματα..... | 22 |
| 2.3 | Σύνδεση στο δίκτυο..... | 23 |
| 3. | Φωτοβολταϊκά - αυτοπαραγωγός..... | 24 |
| 3.1 | Απόδοση φωτοβολταϊκών..... | 25 |
| 3.1.1 | 1 ^η περίπτωση - με τη βοήθεια του ευρωπαϊκού προγράμματος PVGIS με κλιματικά δεδομένα PVGIS – CMSAF | 25 |
| 3.1.2 | 2 ^η περίπτωση - με τη βοήθεια του ευρωπαϊκού προγράμματος PVGIS με κλιματικά δεδομένα PVGIS – Classic | 27 |

| | |
|--|----|
| 3.1.3 3 ^η περίπτωση - με κλιματικά δεδομένα από Τ.Ο.Τ.Ε.Ε. 20701-3/2010 | 29 |
| 3.1.4 Σύγκριση μεθόδων υπολογισμού απόδοσης φωτοβολταϊκού συστήματος | 31 |
| 3.1.5 Συμπεράσματα | 32 |
| 3.2 Αυτόνομο Φ/Β σύστημα..... | 33 |
| 3.2.1 Υπολογισμός μπαταριών και πλήθους πλαισίων..... | 33 |
| 3.2.3 Υπολογισμός συστοιχιών Φ/Β πλαισίων στον μετατροπέα δικτύου | 35 |
| 3.2.4 Επιλογή DC καλωδίων σύνδεσης πλαισίων – μετατροπέων δικτύου | 37 |
| 3.2.5 Μονοφασικοί μετατροπείς τάσης DC/AC για αυτόνομο σύστημα..... | 37 |
| 3.2.6 Μπαταρίες..... | 37 |
| 3.2.7 Περιγραφή εγκατάστασης..... | 37 |
| 3.2.4 Περιγραφή λειτουργίας | 39 |
| 3.2.5 Γείωση Συστήματος..... | 40 |
| 3.2.6 Σύστημα Αποθήκευσης δεδομένων..... | 40 |
| 3.3 Διασυνδεδεμένο Φ/Β σύστημα ως αυτοπαραγωγός | 41 |
| 3.3.1 Υπολογισμός συστοιχιών και καλωδίων Φ/Β συστήματος..... | 41 |
| 3.3.2 Περιγραφή εγκατάστασης..... | 42 |
| 3.3.3 Αντιστροφέας διασυνδεδεμένου συστήματος | 44 |
| 3.3.4 Γείωση Συστήματος | 44 |
| 3.3.5 Σύστημα Αποθήκευσης δεδομένων..... | 44 |
| 3.4 Καλωδιώσεις και οδεύσεις καλωδίων | 45 |
| 3.5 Υποχρεώσεις αναδόχου | 45 |
| 4. Κεντρικό σύστημα ελέγχου και χειρισμού κτιριακών εγκαταστάσεων Building Management System (BMS) | 47 |
| 4.1 Γενικά..... | 47 |
| 4.2 Δομή συστήματος ελέγχου και χειρισμού εγκαταστάσεων | 47 |
| 4.3 Κέντρο διαχείρισης συστήματος ελέγχου και χειρισμού εγκαταστάσεων..... | 48 |
| 4.3.1 Λογισμικό κέντρου διαχείρισης | 50 |
| 4.4 Απομακρυσμένο Κέντρο Ελέγχου (ΑΚΕ)..... | 51 |
| 4.4.1 Προγραμματιζόμενοι Ελεγκτές (Controllers) – στοιχεία εισόδων/εξόδων..... | 51 |
| 4.5 Δίκτυο συστήματος ελέγχου και χειρισμού εγκαταστάσεων | 52 |
| 4.6 Διασύνδεση συστήματος ελέγχου και χειρισμού εγκαταστάσεων με άλλα συστήματα | 53 |
| 4.7 Αρχιτεκτονική συστήματος ελέγχου και χειρισμού εγκαταστάσεων | 53 |
| 4.7.1 Περιγραφή λειτουργίας ενδεικτικών η/μ εγκαταστάσεων..... | 55 |

| | |
|--|----|
| 4.8 Περιφερειακά όργανα ελέγχου..... | 56 |
| 4.8.1 Αισθητήριο θερμοκρασίας εμβάπτισης..... | 56 |
| 4.8.2 Αισθητήριο πίεσης υγρών..... | 56 |
| 4.8.3 αισθητήριο ποιότητας αέρα..... | 56 |
| 4.8.4 αισθητήριο θερμοκρασίας - υγρασίας..... | 56 |
| 4.8.5 Διακόπτης ροής υγρών..... | 56 |
| 4.8.6 Βαλβίδες ελέγχου..... | 57 |
| 4.9 Όδευση καλωδίων..... | 57 |
| 5. Ανεμιστήρες οροφής..... | 59 |
| 6. Αντικατάσταση λέβητα πετρελαίου..... | 61 |
| 6.1 Έλεγχος υπερδιαστασιολόγησης..... | 61 |
| 6.2 Απώλειες κτιρίου..... | 61 |
| 6.3 Μέγιστη δυνατή αποδιδόμενη ισχύ από τα εγκατεστημένα θερμαντικά σώματα | 62 |
| 6.4 Επιλογή ισχύος λέβητα..... | 63 |
| 6.5 Επιλογή τύπου λέβητα | 64 |
| 6.6 Σύνδεση υφιστάμενου συστήματος αντιστάθμισης..... | 65 |
| 7. Αντικατάσταση κυκλοφορητών..... | 67 |
| 8. Θερμοστατικές κεφαλές στα θερμαντικά σώματα..... | 69 |
| 9. Θερμική μόνωση δικτύων | 69 |
| 10. Σημείωση..... | 69 |

Στα πλαίσια της υλοποίησης του έργου «Ενεργειακή Αναβάθμιση και εγκατάσταση συστημάτων ΑΠΕ στο 2ο Γυμνάσιο – 2ο Λύκειο Αλεξάνδρειας» για την υλοποίηση των εγκεκριμένων επεμβάσεων όπως αυτές αναφέρονται στο τεχνικό δελτίο πράξης συντάχθηκαν ηλεκτρομηχανολογικές μελέτες εφαρμογής

- χειμερινού – θερινού κλιματισμού με την χρήση γεωθερμικής αντλίας θερμότητας σε επιλεγμένους χώρους του κτιρίου,
- φωτισμού σε όλους τους χώρους του κτιρίου,
- φωτοβολταϊκού συστήματος,
- συστήματος εποπτίας και διαχείρισης του ηλεκτρομηχανολογικού εξοπλισμού του κτιρίου. (Building Management System ή εν συντομία BMS)
- εγκατάστασης ανεμιστήρων οροφής

Επίσης στα πλαίσια της ενεργειακής αναβάθμισης του κτιρίου έχουν προταθεί και έχουν εγκριθεί για υλοποίηση

- η αντικατάσταση του υφιστάμενου λέβητα με νέο
- η αντικατάσταση των κυκλοφορητών με νέους μεταβλητής παροχής
- η προσθήκη θερμοστατικών κεφαλών στα θερμαντικά σώματα
- η προσθήκη θερμομόνωσης στο υφιστάμενο δίκτυο θέρμανσης

Οι λοιπές εγκεκριμένες επεμβάσεις

- για την βελτίωση της θερμοπερατότητας του κελύφους
- και η φύτευση του περιβάλλοντα χώρου

θα υλοποιηθούν σε ξεχωριστή εργολαβία με ευθύνη του Δήμου Αλεξάνδρειας καθώς αποτελούν προϋπόθεση για την ισχύ των υπολογισμών των θερμικών και ψυκτικών φορτίων της παρούσας μελέτης και ταυτόχρονα αποτελούν προϋπόθεση για την επίτευξη των επιθυμητών βελτιώσεων στην ενεργειακή συμπεριφορά του κτηρίου. Οι επεμβάσεις αυτές θα υλοποιηθούν σύμφωνα με την εγκεκριμένη μελέτη για το έργο «ενεργειακή αναβάθμιση και εγκατάσταση συστημάτων ΑΠΕ στο 2ο Γυμνάσιο – 2ο Λύκειο Αλεξάνδρειας Ημαθίας», που εκπονήθηκε και εγκρίθηκε τον Απρίλιο του 2013.

1. Θερινός – χειμερινός κλιματισμός με χρήση γεωθερμικής αντλίας θερμότητας

6.1 Φορτία χώρων

Για την κάλυψη των αναγκών χώρων οι οποία παρουσιάζουν διαφοροποίηση ως προς τις ανάγκες τους σε θέρμανση και ψύξη σε σχέση με τις αίθουσες διδασκαλίας προτάθηκε στην προμελέτη και εγκρίθηκε η χρήση γεωθερμικής αντλίας θερμότητας.

Οι χώροι οι οποίοι παρουσιάζουν διαφορετικά χαρακτηριστικά λειτουργίας και απαιτήσεων είναι κυρίως η βιβλιοθήκη, τα γραφεία και τα εργαστήρια υπολογιστών.

Από τα τεύχη υπολογισμών θερμικών απωλειών και ψυκτικών φορτίων προκύπτουν οι απαιτήσεις σε θέρμανση και ψύξη. Στον **πίνακα 1** δίνονται οι απαιτήσεις των χώρων αυτών

σε θέρμανση ενώ στον **πίνακα 2** δίνονται οι απαιτήσεις σε ψύξη. Στον πρώτο πίνακα παρατηρείται ότι για τον υπολογισμό της αντλίας συμμετέχουν οι χώροι: Βιβλιοθήκη, Γραμματεία Γυμνασίου, Διευθυντής Γυμνασίου, Γραφείο καθηγητών Γυμνασίου, Εργαστήριο Η/Υ Γυμνασίου, Γραμματεία Λυκείου, Διευθυντής Λυκείου, Γραφείο καθηγητών Λυκείου και Εργαστήριο Η/Υ Λυκείου και οι ανάγκες αυτών σε θέρμανση ανέρχονται σε 58kW. Από τον υπολογισμό των ψυκτικών φορτίων προέκυψε ότι οι ανάγκες των χώρων αυτών σε ψύξη είναι σαφώς μικρότερες και ανέρχονται σε 42kW. Έτσι επιλέγεται να καλυφθούν στην ψύξη περισσότεροι χώροι συμπεριλαμβανομένων και των εργαστηρίων στην δυτική πτέρυγα του κτιρίου. Το συνολικό ψυκτικό φορτίο ανέρχεται σε 63kW αλλά υπολογίζοντας έναν λογικό ετεροχρονισμό στην λειτουργία της ψύξης της τάξης του 90% προκύπτει ότι οι για τους εν λόγω χώρους στην πραγματικότητα αρκούν 57kW.

Πίνακας 1. Απαιτήσεις ειδικών χώρων σε θέρμανση

| | | m2 | Χώροι που καλύπτονται με γεωθερμία στην θέρμανση [1: ΝΑΙ, 0: ΞΟΙ] | Θέρμανση | | | | |
|---|---------------------------|--------------|---|---|--------------------------------|---------------|-----------------------------------|----------------------------|
| | | | | Συνολικές απώλειες χώρων (W) με αερισμό | απώλειες αερισμού υγιεινής (W) | W/m2 | Απώλειες για ΓΘ στην θέρμανση (W) | Ενέργεια ετησίως (Wh/έτος) |
| | Επίπεδο : Ισόγειο | | | | | | | |
| 1 | Βιβλιοθήκη | 94,22 | 1 | 13808 | 5894 | 146,55 | 13808 | 25.111.229 |
| 2 | Εργαστήριο χημείας | 106,11 | 0 | 11718 | 5547 | 110,43 | 0 | 0 |
| | Άθροισμα Επίπεδου | 200,33 | | 25526 | 11441 | | | 25.111.229 |
| | Επίπεδο : Α όροφος | | | | | | | |
| 1 | Γραμματεία | 27,3 | 1 | 2244 | 779,7 | 82,20 | 2244 | 4.080.938 |
| 2 | Δ/ντής Γυμν | 20,82 | 1 | 1807 | 596,4 | 86,79 | 1807 | 3.286.210 |
| 3 | Γραφείο καθηγητών | 82,81 | 1 | 8661 | 2386 | 104,59 | 8661 | 15.750.895 |
| 4 | Εργαστήριο καλλιτεχν | 82,92 | 0 | 9115 | 4652 | 109,93 | 0 | 0 |
| 5 | Εργαστήριο Η/Υ | 45 | 1 | 7043 | 2593 | 156,51 | 7043 | 12.808.400 |
| | Άθροισμα Επίπεδου | 258,85 | | 28870 | 11007,1 | | | 35.926.443 |
| | Επίπεδο : Β όροφος | | | | | | | |
| 1 | Εργαστήριο Η/Υ | 68,73 | 1 | 9931 | 3973 | 144,49 | 9931 | 18.060.517 |
| 2 | Δ/ντής Λυκείου | 52,31 | 1 | 5282 | 1512 | 100,97 | 5282 | 9.605.845 |
| 3 | Γραφείο καθηγητών | 84,56 | 1 | 9390 | 2444 | 111,05 | 9390 | 17.076.654 |
| 4 | Εργαστήριο Τεχνικών | 79,42 | 0 | 9469 | 4590 | 119,23 | 0 | 0 |
| | Άθροισμα Επίπεδου | 285,02 | | 34072 | 12519 | | | 44.743.016 |
| | Άθροισμα κτιρίου | 744,2 | | 88468 | 34967,1 | 118,88 | 58166 | 105.780.688 |

Πίνακας 2. Απαιτήσεις ειδικών χώρων σε ψύξη

| | | m2 | Χώροι που καλύπτονται με γεωθερμία στην ψύξη [1: ΝΑΙ, 0: ΟΧΙ] | Ψύξη | | | |
|---|---------------------------|--------------|--|---|-----------------------|-------------------------------|----------------------------|
| | | | | απώλειες λόγω κελύφους, ατόμων και φωτισμού (W) | απώλειες αερισμού (W) | Απώλειες για ΓΘ στην ψύξη (W) | Ενέργεια ετησίως (Wh/έτος) |
| | Επίπεδο : Ισόγειο | | | | | | |
| 1 | Βιβλιοθήκη | 94,22 | 1 | 6.022 | 3.285 | 9.307 | 7.613.126 |
| 2 | Εργαστήριο χημείας | 106,11 | 1 | 5.476 | 2.958 | 8.434 | 6.899.012 |
| | Άθροισμα Επιπέδου | 200,33 | | 11.498 | 6.243 | 17.741 | 14.512.138 |
| | Επίπεδο : Α όροφος | | | | | | |
| 1 | Γραμματεία | 27,3 | 1 | 1.127 | | 1.127 | 921.886 |
| 2 | Δ/ντής Γυμν | 20,82 | 1 | 1.010 | 299 | 1.309 | 1.070.926 |
| 3 | Γραφείο καθηγητών | 82,81 | 1 | 7.073 | 1.197 | 8.270 | 6.764.860 |
| 4 | Εργαστήριο καλλιτεχν | 82,92 | 1 | 6.401 | 2.334 | 8.735 | 7.145.230 |
| 5 | Εργαστήριο Η/Υ | 45 | 1 | 3.758 | 1.301 | 5.059 | 4.138.262 |
| | Άθροισμα Επιπέδου | 258,85 | | 19369 | 5131,2 | 24500,2 | 20.041.164 |
| | Επίπεδο : Β όροφος | | | | | | |
| 1 | Εργαστήριο Η/Υ | 68,73 | 1 | 4.427 | 1.993 | 6.420 | 5.251.560 |
| 2 | Δ/ντής Λυκείου | 52,31 | 1 | 2.731 | 759 | 3.490 | 2.854.411 |
| 3 | Γραφείο καθηγητών | 84,56 | 1 | 5.289 | 1.226 | 6.515 | 5.329.270 |
| 4 | Εργαστήριο Τεχνικών | 79,42 | 1 | 4.396 | 2.303 | 6.699 | 5.479.782 |
| | Άθροισμα Επιπέδου | 285,02 | | 16.843 | 6.281 | 23.124 | 18.915.023 |
| | Άθροισμα κτιρίου | 744,2 | | | | 65.365 | 53.468.325 |

6.2 Επιλογή γεωεναλλάκτη

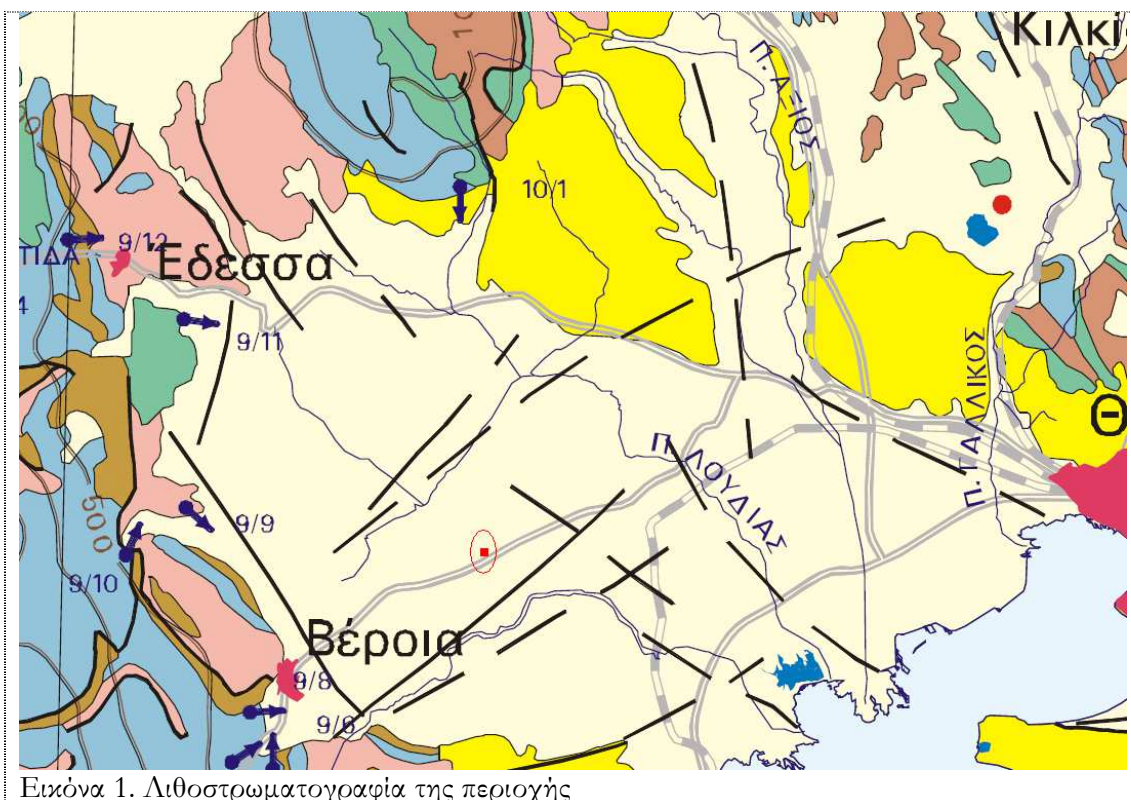
Σύμφωνα με γεωλογική έκθεση του κ. Τσιπούρη Τριαντάφυλλου Γεωλόγου Ε.Δ.Ε. η περιοχή της Αλεξάνδρειας αποτελεί ιδιαίτερα καλό πεδίο για την εφαρμογή γεωθερμίας με άριστη απόδοση.

“Σε κάθε γεωθερμικό έργο βασική προϋπόθεση για την επιλογή του συστήματος είναι η γνώση των γεωλογικών συνθηκών της περιοχής και ειδικά της στρωματογραφικής στήλης.”

Στην προκειμένη περίπτωση η πόλις της Αλεξάνδρειας και η ευρύτερη περιοχή επικάθεται σε τεταρτογενείς αποθέσεις με στρωματογραφική στήλη από την επιφάνεια προς το υπόβαθρο, με εναλλαγές από αργιλο-αμμώδη υλικά, διάσπαρτες κροκάλες και λατύπες. Η παραπάνω στρωματογραφία συμβάλλει στον εμπλουτισμό των υπόγειων στρωμάτων και στην πλούσια υδροφορία τους

Θεμελιώδης παράγοντας για την άριστη απόδοση της γεωθερμικής εφαρμογής. ”

Τριαντάφυλλος Τσιπούρης Γεωλόγου Ε.Δ.Ε.



Από τις παραπάνω φορτία του κτιρίου, και την λιθοστρωματογραφία του υπεδάφους προκύψαν τα δεδομένα εισόδου για πρόγραμμα υπολογισμού γεωεναλλάκτη και τα οποία δίνονται στον πίνακα 3.

Πίνακας 3α Δεδομένα για τον υπολογισμό γεωεναλλάκτη

| Fluid | | Soil | |
|------------------------------|--------------------------|-----------------------|---------------------------|
| Flow Rate: | 11,4 (L/min)/3.5kW | Ground Temperature: | 15,2 °C |
| Fluid: | 20% Propylene Glycol | Thermal Conductivity: | 2,42 W/(m*K) |
| Specific Heat (Cp): | 4,056 kJ/(K*kg) | Thermal Diffusivity: | 0,078 m ² /day |
| Density (rho): | 1017,2 kg/m ³ | | |
| Piping | | | |
| Pipe Type: | 1 1/4 in. (32 mm) | | |
| Flow Type: | Turbulent - SDR17 | | |
| Pipe Resistance: | 0,028 m*K/W | | |
| U-Tube Configuration: | Double | | |
| Radial Pipe Placement: | Average | | |
| Borehole Diameter: | 228,6 mm | | |
| Grout Thermal Conductivity: | 2,01 W/(m*K) | | |
| Borehole Thermal Resistance: | 0,092 m*K/W | | |

Πίνακας 3β Δεδομένα για τον υπολογισμό γεωεναλλάκτη

| Pattern | | | Modeling Time Period | | |
|---|------------------------|-------------------------|---|-------|--------|
| Vertical Grid Arrangement: | 3 x 4 | | Prediction Time: 20,0 years Long Term Soil Temperatures: <i>Cooling:</i> 14,5 °C <i>Heating:</i> 14,5 °C | | |
| Borehole Number: | 12 | | | | |
| Borehole Separation: | 6,0 m | | | | |
| Boreholes per Parallel Circuit: | 2 | | | | |
| Fixed Length Mode | On | | | | |
| Grid File | None | | | | |
| File: | | | | | |
| Heat Pumps | | | Optional Boiler/Cooling Tower | | |
| Manufacturer: | Daikin | | | Tower | Boiler |
| Series: | EWWP014-065KAW1N | | Load Balance | 0 % | 0 % |
| Design Heat Pump Inlet Load Temperatures: | | | Capacity (kW) | 0,0 | 0,0 |
| | <i>Cooling (WB)</i> | <i>Heating (DB)</i> | Cooling Tower Flow Rate (L/min): | 0,0 | |
| Water to Air: | 19,4 °C | 21,1 °C | Cooling Range (°C): | 5,5 | |
| Water to Water: | 12,8 °C | 37,8 °C | Annual Operating Hours (hr/yr): | 0 | |
| Extra kW | | | Loads File | | |
| Pump Power: | 1,2 kW | | <i>Alexandreia_School #12d (final).zon</i> | | |
| Cooling Tower Pump: | 0,0 kW | | | | |
| Cooling Tower Fan: | 0,0 kW | | | | |
| Additional Power: | 0,3 kW | | | | |
| Loads | | | | | |
| Design Day Loads | | | Annual Equivalent Full-Load Hours | | |
| <i>Time of Day</i> | <i>Heat Gains (kW)</i> | <i>Heat Losses (kW)</i> | <i>COOLING</i> 1075 <i>HEATING</i> 2350 | | |
| 8 a.m. - Noon | 29,8 | 51,0 | Days Occupied per Week: 5,0 | | |
| Noon - 4 p.m. | 55,0 | 36,0 | | | |
| 4 p.m. - 8 p.m. | 54,7 | 38,7 | | | |
| 8 p.m. - 8 a.m. | 33,6 | 55,0 | | | |

Πίνακας 4 Υπολογισμός γεωεναλλάκτη

| | COOLING | HEATING |
|---------------------------------|---------|---------|
| Total Length (m): | 1200,0 | 1200,0 |
| Borehole Number: | 12 | 12 |
| Borehole Length (m): | 100,0 | 100,0 |
| Ground Temperature Change (°C): | -0,7 | -0,7 |
| Unit Inlet (°C): | 24,4 | 6,8 |
| Unit Outlet (°C): | 29,9 | 3,3 |
| Total Unit Capacity (kW): | 55,0 | 67,4 |
| Peak Load (kW): | 55,0 | 55,0 |

Στον πίνακα 4 δίνονται οι υπολογισμοί όπως προέκυψαν από ειδικό λογισμικό της *Gaia Geothermal Design Software*.

Επιλέγεται η εγκατάσταση γεωεναλλάκτη στον αύλιο χώρο δυτικά του κτιρίου φαίνεται στα σχέδια. Ο γεωεναλλάκτης θα είναι κατακόρυφου τύπου κλειστού κυκλώματος αποτελούμενος από δώδεκα κατακόρυφες γεωτρήσεις των 100m σε διάταξη 4x3 με απόσταση μεταξύ των γεωτρήσεων τα 6m. Σε κάθε γεώτρηση θα τοποθετηθούν δύο ζεύγη σωλήνων. Ο γεωεναλλάκτης θα μεταφέρει θερμότητα στο δίκτυο παροχής 178lt/min μεταβάλλοντας την θερμοκρασία του νερού (20% προπυλενογλυκόλη) σύμφωνα με τον πίνακα 4 από 3,3 σε 6,8 για την θέρμανση και από 29,9 σε 24,4 για την ψύξη .

Η θέση των γεωτρήσεων παρουσιάζεται στα σχέδια της μελέτης.

Ο ανάδοχος εφόσον διαπιστώσει με την πρώτη δοκιμαστική γεώτρηση ότι το υπέδαφος έχει σαφώς διαφορετικά χαρακτηριστικά από αυτά της παρούσας μελέτης θα επαναυπολογίσει τον γεωεναλλάκτη και θα καταθέσει στην τεχνική υπηρεσία του δήμου μελέτη που να βεβαιώνει ότι δεν αλλάζουν προς το δυσμενές η απόδοση του συστήματος.

6.2.1 Περιγραφή δικτύου γεωεναλλάκτη

Από την αντλία θερμότητας θα εκκινεί δισωλήνιο δίκτυο κατασκευασμένο από χαλυβδοσωλήνα το οποίο θα τροφοδοτεί με την βοήθεια κυκλοφορητή μεταβλητής παροχής συλλέκτες τοποθετημένους σε μεταλλικό γαλβανισμένο κουτί (pillar) τοποθετημένο εξωτερικά σε επαφή με το κτίριο.

Το pillar θα είναι κατάλληλων διαστάσεων ώστε να χωράνε άνετα και οι δύο συλλέκτες αλλά και να είναι εύκολη η συντήρηση ή ακόμα και η αντικατάσταση και των δύο. Θα πρέπει να είναι στιβαρής κατασκευής υψηλής αντοχής σε κρούση, θα είναι γειωμένο θα φέρει εσωτερικά μόνωση ορυκτοβάμβακα πάχους 10cm και πόρτες με κλειδαριά.

Οι συλλέκτες θα είναι κατασκευασμένοι από PPR (80) αποτελούμενα από τεμάχια σωλήνα συλλέκτη ελεγμένα σε δοκιμή πίεσης, με θέση τοποθέτησης μανομέτρου, εκξαεριστικού, βαλβίδας πλήρωσης, καθώς και σφαιρικές βαλβίδες σε κάθε σημείο αναχώρησης.

Το δίκτυο από τους συλλέκτες και προς τις γεωτρήσεις θα είναι κατασκευασμένο από σωλήνες διπλού U, πολυαιθυλενίου PE-Xa Φ32x2.9 και εξαρτήματα του ίδιου υλικού. Σε κάθε γεώτρηση θα εγκατασταθούν δύο ζεύγη σωληνώσεων.

Ανάλογα με την κατάσταση της γεώτρησης, μετά το τέλος της διάτρησης, αποφασίζεται ο τρόπος με τον οποίο θα πραγματοποιηθεί η τοποθέτηση των σωληνώσεων σε αυτή (κενές, πληρωμένες με νερό, με προσάρτηση εξοπλισμού πίεσης κ.α.).

Ανά 10m τοποθετείται αποστάτης, ο οποίος διασφαλίζει την παραλληλότητα των σωλήνων και την ασφαλέστερη τοποθέτησή τους. Χρησιμοποιείται βαρίδιο που προσαρμόζεται στο ακροσωλήνιο. Ταυτόχρονα με τη διάταξη των σωληνώσεων, κατεβαίνει στη γεώτρηση και ο κεντρικός σωλήνας που απαιτείται για το γέμισμα της με θερμοαγώγιμο μίγμα.

Στην περίπτωση που απαιτηθεί σταθεροποίηση των τοιχωμάτων της διάτρησης λόγω της φύσης του εδάφους θα ληφθούν όλα τα απαραίτητα μέτρα όπως αυτά θα προταθούν από τον εργολάβο και θα εγκριθούν από την επιβλέπουσα αρχή.

Το δίκτυο θα δοκιμαστεί σε πίεση 1,5 φορές της πίεσης λειτουργίας του συστήματος.

6.2.2 Σωληνώσεις

Το δίκτυο από τους συλλέκτες και προς τις γεωτρήσεις θα είναι κατασκευασμένο από σωλήνες διπλού U, πολυαιθυλενίου PE-Xa Φ32x2.9 και εξαρτήματα του ίδιου υλικού. Σε κάθε γεώτρηση θα εγκατασταθούν δύο ζεύγη σωληνώσεων. Οι σωλήνες PE-Xa είναι από πολυαιθυλένιο στο οποίο κατά τη διαδικασία κατασκευής δημιουργούνται χημικοί δεσμοί μεταξύ των αλυσίδων μορίων. Με αυτή τη μέθοδο, ενισχύεται σημαντικά η δομή μορίων. Έτσι, δημιουργούνται σωλήνες PE-Xa ιδιαίτερα ανθεκτικοί έναντι εξωτερικών ζημιολογώντων παραγόντων (αυλακώσεις, χαρακιές κτλ.), προσφέροντας μεγαλύτερη ασφάλεια.

Το δίκτυο θα κατασκευαστεί σύμφωνα με το ΕΛΟΤ ΤΠ 1501-04-01-04-01 «Συστήματα κτιριακών σωληνώσεων υπό πίεση με σωλήνες πολυπροπυλενίου» όσον αφορά εκείνα τα εδάφη που είναι κοινά για σωλήνες εντός κτιρίων και σωλήνες εντός εδάφους.

6.2.3 Γεωτρήσεις

Οι γεωτρήσεις θα διανοιχτούν σύμφωνα με την ΕΛΟΤ ΤΠ 1501-08-09-01-00

6.2.4 Πλήρωση του δακτυλίου της γεώτρησης με μείγμα τσιμέντου

Μετά την τοποθέτηση του γεωεναλλάκτη, το κενό του δακτυλίου της γεώτρησης πρέπει να γεμίσει με ειδικό μείγμα. Αυτό σημαίνει ότι η γεώτρηση πρέπει να γεμίσει εντελώς από τη βάση του U μέχρι την επιφάνεια χωρίς οποιαδήποτε χάσματα: το γέμισμα αυτό πρέπει να πραγματοποιηθεί κατάλληλα και προσεκτικά για διάφορους λόγους:

A Εξασφάλιση της μεταφοράς θερμότητας από το υπέδαφος στο ρευστό μεταφοράς θερμότητας κατά τη διάρκεια της εξαγωγής θερμότητας ή αντίστροφα κατά την απόρριψη θερμότητας.

B Σφραγίζοντας τη γεώτρηση μέχρι την επιφάνεια για να αποτρέψει την είσοδο μολυσματικών παραγόντων και για να σφραγίσει τα υδροφόρα στρώματα που μπορεί να έχουν διαπεραστεί.

Μία τέλεια πλήρωση του δακτυλιοειδούς κενού είναι εγγυημένη μόνο εάν η γεώτρηση γεμίσει με ένα κατάλληλο μείγμα από το κατώτατο σημείο έως την επιφάνεια. Αυτό εγγυάται μια υδατοστεγή και ανθεκτική, φυσικά και χημικά σταθερή ενσωμάτωση του γεωεναλλάκτη στο περιβάλλοντα υπέδαφος. Σε κάθε περίπτωση πρέπει να αποφευχθούν ο παγιδευμένος αέρας και τα κενά. Μπορεί μόνο να υπάρξουν παρεκκλίσεις κάτω από ειδικές περιπτώσεις.

Η πλήρωση θα πραγματοποιηθεί ως εξής:

Κατά την εισαγωγή του γεωεναλλάκτη, ένας σωλήνας πλήρωσης μέχρι το τελικό βάθος πρέπει να εγκατασταθεί μέσω του οποίου το μείγμα μπορεί να πρεσαριστεί.

Αυτός ο σωλήνας ανασύρεται κατά τη διάρκεια της πλήρωσης ανάλογα με την πρόοδο. Στην περίπτωση των βαθιών γεωτρήσεων ($> 60 \text{ m}$) μπορούν να εμφανιστούν προβλήματα στην ανάσχυση του σωλήνα πλήρωσης, δηλ. ο σωλήνας πρέπει να παραμείνει στη γεώτρηση. Σε αυτές τις περιπτώσεις δύο σωλήνες πρέπει να χρησιμοποιηθούν, ένας στο κατώτατο βάθος, και ο δεύτερος περίπου στο μισό.

βάθος, που μπορεί να αφαιρεθεί. Από το κατώτατο βάθος έως το τέλος του δεύτερου σωλήνα, το γέμισμα επιτυγχάνεται μέσω του χαμηλότερου σωλήνα και έπειτα μέσω του ανώτερου σωλήνα πλήρωσης.

Κατά την ανάσχυση του σωλήνα πλήρωσης, το άκρο του πρέπει πάντα να είναι κάτω από το επίπεδο πλήρωσης για να αποτρέψει την παγίδευση του αέρα. Ένας σωλήνας πλήρωσης που παραμένει στη γεώτρηση πρέπει να παραμείνει γεμισμένος με το μείγμα.

Το μείγμα πλήρωσης πρέπει να είναι κατάλληλο για όλες τις αντίστοιχες θερμοκρασίες που αναπτύσσονται. Ειδικά για την καθαρή εξαγωγή θερμότητας, πρέπει να εξασφαλιστεί ότι το μείγμα είναι ανθεκτικό στον παγετό.

Στην πράξη, μείγματα: Μπεντονίτη / Τσιμέντο (υψικαμίνου HOZ) / Νερού ή Μπεντονίτη/ Τσιμέντου/ Άμμου/ Νερού έχουν αποδειχθεί επιτυχή.

Τα μείγματα καθαρού Μπεντονίτη /Νερού δεν είναι κατάλληλα δεδομένου ότι έχουν μικρή θερμική αγωγιμότητα αφ' ενός ($< 0,7 \text{ W/(m} \cdot \text{K)}$) σε 10°C) και αφ' ετέρου δεν είναι ανθεκτικά στον παγετό. Η προσθήκη του τσιμέντου επιτρέπει τη χρήση στις θερμοκρασίες έως την περιοχή περίπου των -15°C , ενώ μέσω της προσθήκης χαλαζιακής άμμου, αυξάνεται η θερμική αγωγιμότητα (πάνω από $0,8 \text{ W/(m} \cdot \text{K)}$ σε 10°C).

Επιλέγεται η πλήρωση με μείγμα Μπεντονίτη /Τσιμέντου (HOZ) /Άμμου/ Νερού για το οποίο η αναλογία ποσοστού του μπεντονίτη και του τσιμέντου πρέπει να είναι περ. 10 % για το κάθε ένα και άμμος περ. 30 %. Οι πάρα πολύ υψηλές ποσότητες τσιμέντου πρέπει να αποφεύγονται με τον ίδιο τρόπο που η πλήρωση με καθαρό τσιμέντο ή λεπτό κονίαμα έτσι ώστε η πλήρωση των γεωτρήσεων παραμένει ελαφρώς πλαστική και η θερμική διαστολή του γεωεναλλάκτη δεν εμποδίζεται.

Η προσθήκη της άμμου χαλαζία μπορεί να προκαλέσει μια υψηλότερη καταπόνηση στις αντλίες πλήρωσης. Η προσθήκη χαλαζία αντί της άμμου χαλαζία είναι επίσης δυνατή όπως η πλήρωση με μείγματα καθαρού Μπεντονίτη /Τσιμέντου (HOZ) / Νερού, τα οποία τότε προστίθενται σε αναλογίες π.χ. βάρους του 25%/25%/50%.

6.3 Επιλογή αντλίας θερμότητας

Για την κάλυψη των αναγκών των χώρων του κτιρίου που παρουσιάζουν διαφοροποίηση ως προς την λειτουργία τους σε ψύξη και θέρμανση επιλέγεται γεωθερμική αντλία η οποία θα έχει κατ ελάχιστον τις αποδόσεις του **πίνακα 5α** για τις διαφορετικές κάθε φορά συνθήκες θερμοκρασιών όπως αυτές αναγράφονται ενώ το σύστημα μαζί ήτοι αντλία θερμότητας και κυκλοφορητές θα έχει κατ ελάχιστον τις αποδόσεις του **πίνακα 5β**.

Πίνακας 5 πίνακας απόδοσης αντλίας θερμότητας και συστήματος για χαρακτηριστικές θερμοκρασιακές συνθήκες

| (α) πίνακας απόδοσης αντλίας θερμότητας για χαρακτηριστικές θερμοκρασιακές συνθήκες | | | | | | | | | |
|---|-----|-----|------|------|----|----|---------|-----|-------|
| mode | ELT | EET | CLT | CET | HC | CC | ΑΝΤΛΙΑΣ | | |
| | °C | °C | °C | °C | kW | kW | COP | EER | ESEER |
| heating mode | -3 | 0,5 | 40 | 45 | 55 | - | 3,8 | - | - |
| | 0 | 3,3 | 40 | 45 | 60 | - | 4 | - | - |
| | 3,3 | 3,8 | 40 | 45 | 65 | - | 4,4 | - | - |
| | 3,3 | 6,8 | 50 | 45 | 65 | - | 3,9 | - | - |
| | | | | | | | | | |
| cooling mode | 7 | 12 | 29,9 | 24,4 | - | 65 | - | 6 | - |

| (β) πίνακας απόδοσης συστήματος αντλίας θερμότητας και κυκλοφορητών για χαρακτηριστικές θερμοκρασιακές συνθήκες | | | | | | | | | |
|---|-----|-----|------|------|----|----|------------|-----|-------|
| mode | ELT | EET | CLT | CET | HC | CC | ΣΥΣΤΗΜΑΤΟΣ | | |
| | °C | °C | °C | °C | kW | kW | COP | EER | ESEER |
| heating mode | -3 | 0,5 | 40 | 45 | 55 | - | 3,5 | - | - |
| | 0 | 3,3 | 40 | 45 | 61 | - | 3,8 | - | - |
| | 3,3 | 3,8 | 40 | 45 | 65 | - | 4,1 | - | - |
| | 3,3 | 6,8 | 50 | 45 | 65 | - | 3,7 | - | - |
| | | | | | | | | | |
| cooling mode | 7 | 12 | 29,9 | 24,4 | - | 65 | - | 5,5 | 6,4 |

| | | | | | | | | | |
|-----|---------------------------------|--|--|--|--|--|--|--|--|
| ELT | evaporator leaving temperature | | | | | | | | |
| EET | evaporator entering temperature | | | | | | | | |
| CLT | condenser leaving temperature | | | | | | | | |
| CET | condenser entering temperature | | | | | | | | |
| HC | heating capacity | | | | | | | | |
| CC | cooling capacity | | | | | | | | |

Στο τεύχος υπολογισμών δίνεται φύλλο υπολογισμού γεωθερμικής αντλίας για τις διάφορες συνθήκες όπως προέκυψε από ειδικό λογισμικό.

Η αντλία θα είναι μικρών διαστάσεων ώστε να χωράει στο αποτύπωμα που ορίζεται στο σχέδιο της μελέτης. Θα έχει την δυνατότητα λειτουργίας στον εξατμιστή σε θερμοκρασίες έως και -6°C και στον συμπυκνωτή έως και 55°C . Η αντλία θα φέρει διάταξη αντιστοφής του κυκλώματος νερού εφόσον χρειάζεται και θα έχει ενσωματωμένο υδροαστάσιο με όλων των απαιτούμενο εξοπλισμό ασφαλείας και ελέγχου καθώς και τους κυκλοφορητές μεταβλητής παροχής τόσο στο κύκλωμα του εξατμιστή όσο και στο κύκλωμα του συμπυκνωτή. Ο συμπυκνωτής θα είναι μονωμένος και η αντλία θα διαθέτει πρόσθετο εξοπλισμό μείωσης του εκπεμπόμενου θορύβου. Ο ανάδοχος έχει την ευθύνη της ορθής επιλογής τόσο της παροχής όσο και του μανομετρικού των φυγοκεντρικών αντλιών μεταβλητής παροχής καθώς σχετίζεται και με την πτώση πίεσης εντός της επιλεγμένης μονάδας.

Η αντλία θερμότητας θα φέρει πλακέτα με ψηφιακές εξόδους και εισόδους, με κατάλληλα πρωτόκολλα επικοινωνίας για σύνδεση με το BMS του κτιρίου

Η αντλία θα φέρει δικό της ηλεκτρικό πίνακα ο οποίος θα διαθέτει soft starter και όλες τις απαραίτητες διατάξεις ασφαλείας (διακόπτες, αυτόματους, ηλεκτρονόμους διαρροής, ηλεκτρονόμους ελέγχου κλπ) τόσο για την ίδια την αντλία όσο και για τους κυκλοφορητές (θερμικά κλπ).

6.4 Διερεύνηση παραγωγής ζεστών νερών χρήσης με γεωθερμία

Στο κτίριο δεν υπάρχει κεντρικό δίκτυο ζεστών νερών χρήσης (ZNX). Επιπρόσθετα σύμφωνα με την TOTEE 20701-1/2010 Β έκδοση για τα σχολικά κτίρια δεν απαιτείται η ύπαρξη συστήματος παραγωγής ZNX και δεν υπάρχουν άλλες χρήσης εντός του κτιρίου που να δικαιολογούν την δημιουργία ενός νέου δικτύου ZNX. Κρίνεται λοιπόν μη σκόπιμη η δημιουργία δικτύου ZNX στο κτίριο καθώς δεν προβλέπονται τέτοιου τύπου μόνιμες καταναλώσεις.

6.5 Τοπικές μονάδες ανεμιστήρα – στοιχείου νερού

Όπως έχει ήδη αναφερθεί οι χώροι που θα εξυπηρετούνται από την αντλία θερμότητας είναι

- στο ισόγειο η βιβλιοθήκη και το εργαστήριο στην δυτική πτέρυγα
- στον πρώτο όροφο η γραμματεία γυμνασίου, το γραφείο του διευθυντή γυμνασίου, το γραφείο των καθηγητών γυμνασίου, το εργαστήριο Η/Υ γυμνασίου και το εργαστήριο στην δυτική πτέρυγα
- στον δεύτερο όροφο η γραμματεία λυκείου, το γραφείο του διευθυντή λυκείου, το γραφείο των καθηγητών λυκείου, το εργαστήριο Η/Υ λυκείου και το εργαστήριο στην δυτική πτέρυγα

Σε κάθε έναν από τους χώρους αυτούς θα εγκατασταθούν μία ή περισσότερες τοπικές κλιματιστικές μονάδες ανεμιστήρα στοιχείου νερού FCU (Fan Coil Units) δαπέδου ή οροφής όπως φαίνεται στα σχέδια της μελέτης και η απόδοση των μονάδων αυτών δίνεται στον **πίνακα 6**.

Τα επιλεγμένα FCU θα είναι ενεργειακής κλάσης Α και θα φέρουν ανεμιστήρες με inverter. Θα είναι ορατού τύπου με υψηλής αισθητικής κάλυμμα και θα είναι κατάλληλων προδιαγραφών τόσο για επιδαπέδια κατακόρυφη τοποθέτηση όσο και για τοποθέτηση σε οριζόντια θέση στην οροφή. Τα FCU θα συνδέονται στο δίκτυο με διόδους ηλεκτροκίνητες βαλβίδες.

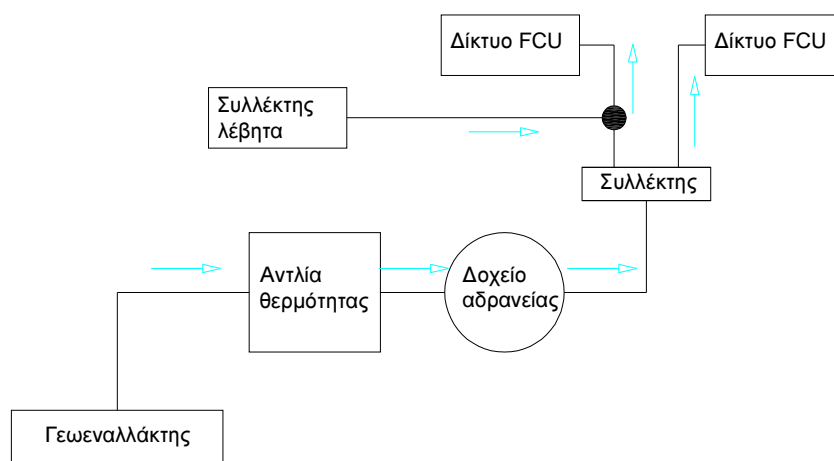
Πίνακας 6. Απόδοση τοπικών μονάδων νερού ανά χώρο εγκατάστασης

| | | ΕΠΙΛΟΓΗ ΤΟΠΙΚΩΝ ΜΟΝΑΔΩΝ ΝΕΡΟΥ | | | | | | |
|---|---------------------------|--|---------|---------|----------|----------------|-----------------------------------|-------------------------------|
| | | Πλήθος FCU | heating | Cooling | Air flow | εναλλαγές αέρα | Εγκατεστημένη ισχύς στην θέρμανση | Εγκατεστημένη ισχύς στην ψύξη |
| | Επίπεδο : Ισόγειο | | | | | | | |
| 1 | Βιβλιοθήκη | 2 | 4,8 | 3,46 | 655 | 6,52 | 14,4 | 10,38 |
| | | 1 | 4,8 | 3,46 | 655 | | | |
| 2 | Εργαστήριο χημείας | 2 | 5,9 | 4 | 805 | 4,74 | 0 | 8 |
| | | | | | | | | |
| | Επίπεδο : Α όροφος | | | | | | | |
| 1 | Γραμματεία | 1 | 2,54 | 2,08 | 330 | 3,78 | 2,54 | 2,08 |
| 2 | Δ/ντής Γυμν | 1 | 2,54 | 2,08 | 330 | 4,95 | 2,54 | 2,08 |
| 3 | Γραφείο καθηγητών | 2 | 4,18 | 3,01 | 550 | 5,40 | 10,9 | 8,1 |
| | | 1 | 2,54 | 2,08 | 330 | | | |
| 4 | Εργαστήριο καλλιτεχν | 2 | 5,29 | 3,7 | 745 | 5,62 | 0 | 7,4 |
| 5 | Εργαστήριο Η/Υ | 1 | 4,18 | 3,01 | 550 | 11,46 | 8,36 | 6,02 |
| | | 1 | 4,18 | 3,01 | 550 | | | |
| | | | | | | | | |
| | Επίπεδο : Β όροφος | | | | | | | |
| 1 | Εργαστήριο Η/Υ | 2 | 4,18 | 3,01 | 550 | 6,50 | 10,9 | 8,1 |
| | | 1 | 2,54 | 2,08 | 330 | | | |
| 2 | Δ/ντής Λυκείου | 2 | 2,87 | 2,34 | 385 | 4,60 | 5,74 | 4,68 |
| 3 | Γραφείο καθηγητών | 2 | 4,18 | 3,01 | 550 | 5,28 | 10,9 | 8,1 |
| | | 1 | 2,54 | 2,08 | 330 | | | |
| 4 | Εργαστήριο Τεχνικών | 2 | 4,8 | 3,46 | 655 | 5,15 | 0 | 6,92 |
| | | | | | | | | |
| | Άθροισμα κτιρίου | | | | | | 66,28 | 71,86 |
| | | Ποσοστό σε σχέση με την ονομαστική ισχύ της αντλίας | | | | | | 94% |
| | | Ταχύτητα ανεμιστήρα inverter | | 60% | | | | |
| | | | | 80% | | | | |
| | | | | 100% | | | | |

6.6 Περιγραφή συστήματος διανομής

Στο διάγραμμα 1 φαίνεται το block διάγραμμα του δικτύου διανομής από την αντλία θερμότητας προς τις τερματικές μονάδες. Από την αντλία θερμότητας οδηγούνται τα νερά σε δοχείο αδρανείας και από αυτό μέσω συλλέκτη προς δύο κλάδους του δικτύου των FCU. Σε κάθε κλάδο η κυκλοφορία του νερού είναι βεβαιωμένη μέσω κυκλοφορητή μεταβλητής παροχής και το δίκτυο σωληνώσεων είναι κατασκευασμένο από χαλυβδοσωλήνα ISO medium. Ο ένας από τους δύο κλάδους καλύπτει όλους εκείνους τους χώρους που εξυπηρετούνται από την αντλία θερμότητας τόσο στην ψύξη όσο και στην θέρμανση ενώ ο δεύτερος κλάδος εξυπηρετεί αποκλειστικά τα τρία εργαστήρια της δυτικής πτέρυγας του κτιρίου. Για τις ημέρες μέγιστων απαιτήσεων δηλαδή χαμηλής εξωτερικής θερμοκρασίας κοντά στους μηδέν βαθμούς κελσίου το δεύτερο δίκτυο θα εξυπηρετείται από τον λέβητα πετρελαίου ενώ για τις υπόλοιπες ημέρες θα εξυπηρετείται από την αντλία θερμότητας.

Διάγραμμα 1. Διάγραμμα δικτύου διανομής FCU



6.6.1 Δοχείο αδρανείας

Το δοχείο αδρανείας θα είναι τέτοιου μεγέθους ώστε να εξασφαλίζει αδράνεια στο σύστημα για 10λεπτά

| | |
|---|---------|
| $V (m^3) = P(kW) \cdot t(sec) / (4,18 \cdot \Delta\theta \cdot 1000)$ | |
| P: Ισχύς για κλιματισμό (KW) | 60 |
| t: χρόνος ηρεμίας (min) | 10 |
| $\Delta\theta$: Νερού ($^{\circ}K$) | 5 |
| $V(lt) =$ | 1722,49 |
| Επιλέγονται δοχείο | 2000lt |

Το δοχείο θα είναι χαλύβδινο κυλινδρικό και θα έχει την δυνατότητα σύνδεσης δύο εναλλακτών (σερμαντίνων). Το δοχείο θα είναι μονωμένο με θερμομονωτικό υλικό πάχους 50mm και με θερμικής αγωγιμότητας $\lambda < 0,04 W/m^2K$

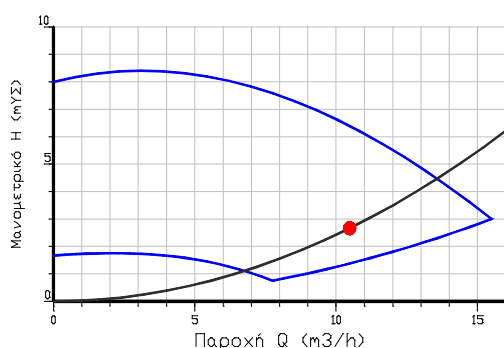
6.6.2 Κυκλοφορητές

Οι κυκλοφορητές στο δίκτυο διανομής θα είναι μεταβλητής παροχής με πλακέτα σύνδεσης σε BMS. Τα χαρακτηριστικά των κυκλοφορητών δίνονται στον πίνακα 7. Και οι χαρακτηριστικές τους καμπύλες στην εικόνα 2.

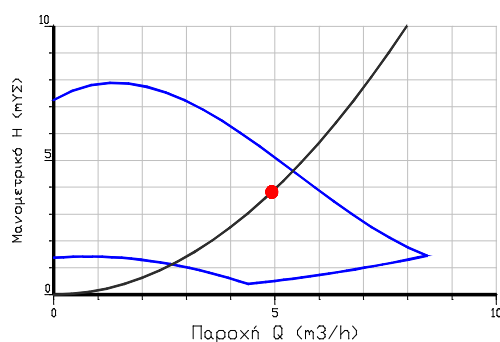
Πίνακας 7. επιλογή κυκλοφορητών

| | | |
|------------------------------------|------------------------|-----------------------|
| Επιλογή Κυκλοφορητή | K1 | K2 |
| Παροχή Νερού Q (m ³ /h) | 10,48 | 4,93 |
| Μανομετρικό Ύψος (mΥΣ) | 2,66 | 3,82 |
| Τύπος Κυκλοφορητή που Επιλέγεται | Μεταβλητή ς παροχής | Μεταβλητής παροχής |
| Μέγιστη Παροχή | 15,5 | 8,44 |
| Μέγιστο Μανομετρικό Ύψος | 8,24 | 7,35 |
| Ισχύς Κινητήρα | 200 W | 90 W |
| Ηλεκτρικά Δεδομένα | 1,37A - 220V | 0,93A - 220V |

Εικόνα 2 .Χαρακτηριστικές καμπύλες κυκλοφορητών



(α) κυκλοφορητής K1 κύριου κλάδου



(β) κυκλοφορητής K1 δευτερεύοντα κλάδου

6.7 Σωληνώσεις

Το δίκτυο διανομής εντός του κτιρίου θα κατασκευαστεί από χαλυβδοσωλήνες με κατά μήκος ραφή.

6.7.1 Χαλυβδοσωλήνες με κατά μήκος ραφή

Σύμφωνα με το ΕΛΟΤ ΤΠ 1501-04-01-01-00. «Συστήματα κτιριακών σωληνώσεων υπό πίεση με χαλυβδοσωλήνες με ραφή»

Ιδιαίτερη προσοχή θα πρέπει να δοθεί στην βαφή με διπλή στρώση με μίνιο και στον τρόπο στήριξης.

6.7.2 Μόνωση σωλήνων

Όλες οι σωληνώσεις προσαγωγής και επιστροφής ζεστού ή/και κρύου νερού θα μονωθούν προς αποφυγή τόσο θερμικών απωλειών, όσο και εμφάνισης συμπυκνωμάτων πάνω στις ψυχρές επιφάνειές τους. Η μόνωση των σωληνώσεων θα εκτελεστεί με κογχύλια από ειδικό συνθετικό μονωτικό υλικό **με επικάλυψη αλουμινίου**.

Το μονωτικό υλικό θα έχει συντελεστή θερμικής αγωγιμότητας $\lambda < 0,040 \text{ W/(mK)}$ (στους 20°C)

Για το τμήμα του δικτύου που οδεύει εκτός του κτιρίου το πάχος των μονωτικών κογχυλίων θα είναι 9mm για διαμέτρους μέχρι DN20, 13mm για διαμέτρους μέχρι DN40, 13mm για

διαμέτρους DN80 και 19mm για μεγαλύτερες. Για διέλευση από εξωτερικούς χώρους αλλά και για το τμήμα της σωλήνας που συνδέσει την αντλία θερμότητας με τον συλλέκτη του γεωενναλάκτη τα πάχη των μονώσεων θα είναι 21mm. Τα ειδικά τεμάχια αλλαγής κατεύθυνσης και διακλάδωσης θα φέρουν επίσης επικάλυψη αλουμινίου.

6.8 Απομάκρυνση συμπυκνωμάτων

Για την απομάκρυνση των συμπυκνωμάτων από τις τοπικές κλιματιστικές μονάδες ανεμιστήρα-στοιχείο νερού θα κατασκευαστεί δίκτυο από ευθύγραμμη πλαστική σωλήνα πίεσης 4atm διαμέτρου Φ32 στα οριζόντια δίκτυα και Φ50 στις στήλες και στα οριζόντια τμήματα μετάθεσης αυτών. Στο ισόγειο, στα σημεία όπου θα γίνεται διάτρηση της οπτοπλινθοδομής θα τοποθετηθεί σήτα για την αποφυγή εισόδου εντόμων.

Το δίκτυο απομάκρυνσης συμπυκνωμάτων θα κατασκευαστεί σύμφωνα με την ΕΛΟΤ ΤΠ 1501-04-01-01-00. «Συστήματα κτιριακών σωληνώσεων με ευθύγραμμους πλαστικούς σωλήνες ελεύθερης ροής»

6.9 Ηλεκτρικές συνδέσεις

Για την ολοκλήρωση των εργασιών γεωθερμικής εγκατάστασης και δικτύου διανομής απαιτείται η σύνδεση της αντλίας θερμότητας και των FCU με το ηλεκτρικό δίκτυο.

Η ηλεκτρική εγκατάσταση ισχυρών ρευμάτων θα κατασκευασθεί σύμφωνα με το Ελληνικό Πρότυπο ΕΛΟΤ HD 384 "Απαιτήσεις για ηλεκτρικές εγκαταστάσεις" και τις απαιτήσεις της Δ.Ε.Η.

Στον κεντρικό πίνακα του κτιρίου ο οποίος βρίσκεται κάτω από το βορεινό κλιμακοστάσιο θα τοποθετηθεί αυτόματος τριπολικός διακόπτης με μονάδα θερμομαγνητικού ελέγχου 80Α. Από τον διακόπτη θα εκκινήσει πενταπολικό καλώδιο διατομής 25mm² τύπου J1VV το οποίο θα οδεύει επί μεταλλικής σχάρας. Η σχάρα θα είναι πλάτους 100mm, γαλβανισμένης, μη διάτρητη, με καπάκι, θα στηριχθεί στην οροφή, και θα γειωθεί καθ' όλο το μήκος της μέσω γυμνού χάλκινου αγωγού 6mm².ο οποίος θα είναι συνδεδεμένος ισοδυναμικά στην γείωση του κτιρίου. Το καλώδιο θα τροφοδοτήσει νέο ηλεκτρικό πίνακα στο λεβητοστάσιο. Ο πίνακας αυτός θα διαθέτει στη είσοδό του αυτόματο τριπολικό διακόπτη με μονάδα θερμομαγνητικού ελέγχου 80Α και ρελέ διαρροής 30mA και όλο το απαραίτητο διακοπτικό υλικό ράγας τόσο για την σύνδεση της αντλίας θερμότητας (μέσω soft starter) όσο και των τεσσάρων κυκλοφορητών. Επίσης θα διαθέτει και όλα τα απαραίτητα ρελέ και κλέμες για την σύνδεση του BMS.

Οι σωληνώσεις και καλωδιώσεις θα πληρούν τις προδιαγραφές

ΕΛΟΤ ΤΠ 1501-04-20-01-01 «Χαλύβδινες σωληνώσεις ηλεκτρικών εγκαταστάσεων»

ΕΛΟΤ ΤΠ 1501-04-20-01-02 «Πλαστικές σωληνώσεις ηλεκτρικών εγκαταστάσεων»

ΕΛΟΤ ΤΠ 1501-04-20-01-03 «Εσχάρες και σκάλες καλωδίων»

ΕΛΟΤ ΤΠ 1501-04-20-02-01 «Αγωγοί - καλώδια διανομής ενέργειας»

Ο ανάδοχος θα έχει την υποχρέωση της έκδοσης και κατάθεσης στην αρμόδια ΔΕΗ Υπεύθυνης δήλωσης εγκαταστάτη για τις τροποποιήσεις στο δίκτυο.

6.10 Αποξηλώσεις

Ο ανάδοχος θα απεγκαταστήσει τις δώδεκα (12) τοπικές κλιματιστικές μονάδες διαιρούμενου τύπου (split unit) που βρίσκονται στο κτίριο τηρώντας όλους τους κανονισμούς ασφάλειας και θα τις εναποθέσει άθικτες σε σημείο που θα του υποδειχθεί από την επιβλέπουσα αρχή εντός των γεωγραφικών ορίων του Δήμου Αλεξάνδρειας.

6.11 Αποκαταστάσεις

Όσες φθορές γίνουν κατά τις εργασίες εγκατάστασης του νέου συστήματος ψύξης θέρμανσης ή και αποξήλωσης του παλιού θα πρέπει να αποκατασταθούν στην πρότερη μορφή τους.

6.12 Υποχρεώσεις αναδόχου (αδειοδοτήσεις)

Ο ανάδοχος πριν την έναρξη των εργασιών είναι υποχρεωμένος με δικά του έξοδα να εκδώσει άδεια γεωθερμικής εγκατάστασης σύμφωνα με την απόφαση Δ9Β, Δ/Φ166/οικ13068/ΓΔΦΠ2488/11-06-09 συμπεριλαμβανομένου και του κόστους των απαιτούμενων μελετών.

Ο ανάδοχος θα έχει την υποχρέωση της έκδοσης και κατάθεσης στην αρμόδια ΔΕΗ με δικά του έξοδα, Υπεύθυνης δήλωσης εγκαταστάτη για τις τροποποιήσεις στο ηλεκτρικό δίκτυο.

2. Φωτισμός

2.1 Γενικά

Στο κτίριο είναι εγκατεστημένα φωτιστικά σώματα με λαμπήρες τύπου T8 χωρίς ηλεκτρονικά Balast. Στην μελέτη εφαρμογής προτείνεται η εγκατάσταση φωτιστικών σωμάτων με λαμπήρες LED.

Για την ορθή επιλογή του πλήθους των φωτιστικών σωμάτων έγινε μελέτη φωτοτεχνίας στην οποία διασφαλίστηκε ότι σε όλους τους χώρους καλύπτονται η ανάγκες φωτισμού όπως αυτές καθορίζονται από τις οδηγίες του οργανισμού σχολικών κτιρίων (ΟΣΚ).

Για τις αίθουσες, τα γραφεία και τα εργαστήρια η επιθυμητή στάθμη φωτισμού είναι τα 300lux σε ύψος 0,80 από το δάπεδο, για την βιβλιοθήκη τα 500lux σε ύψος 0,80 από το δάπεδο και για τους διαδρόμους τα 150lux σε ύψος 0,50 από το δάπεδο.

Επίσης μία δεύτερη παράμετρος που λήφθηκε υπόψη είναι οι μέγιστες επιτρεπόμενες τιμές εγκατεστημένης ισχύος φωτισμού όπως αυτές προσδιορίζονται στον πίνακα 2.4 της TOTEE 20701-1/2010 B έκδοση.

Τέλος στην μελέτη φωτοτεχνίας μελετήθηκαν δύο σενάρια. Στο πρώτο εξ αυτών παρουσιάζονται τα φωτοτεχνικά αποτελέσματα κατά τους πρώτους μήνες λειτουργίας της εγκατάστασης με τα φωτιστικά σώματα καινούρια και όχι ιδιαίτερα χρησιμοποιημένα (τα φωτοτεχνικά αποτελέσματα της περίπτωσης αυτής δίνονται και τα σχέδια της μελέτης). Στην δεύτερη περίπτωση παρουσιάζονται τα φωτοτεχνικά αποτελέσματα όπως αυτά θα προκύψουν μετά από ένα χρόνο μέσης χρήσης των φωτιστικών σωμάτων όπως δηλαδή θα μεταβληθεί η ικανότητα φωτισμού των σωμάτων σε χώρους χρήσης κατά την διάρκεια της ημέρας όπως είναι τα σχολεία.

2.2 Φωτιστικά σώματα

Τα φωτιστικά σώματα που επιλέχθηκαν για τον φωτισμό του σχολείου είναι οροφής εκτός από αυτά που θα τοποθετηθούν στην βιβλιοθήκη τα οποία είναι κατάλληλα για τοποθέτηση σε ψευδοροφή ορυκτών ινών. Τα φωτιστικά σώματα θα έχουν αντίστοιχα διαγράμματα φωτισμού όπως τα αντίστοιχα σώματα στα τεύχη φωτοτεχνικών υπολογισμών. Μετά το πέρας της εγκατάστασης και πριν την παραλαβή θα πρέπει τα αποτελέσματα της φωτοτεχνικής μελέτης, να επιβεβαιώνονται με μετρήσεις σε ώρες απουσία εξωτερικού φωτισμού. Οι στάθμες φωτισμού που θα πρέπει να μετρηθούν (τουλάχιστον πέντε σημεία σε κάθε αίθουσα) θα πρέπει να είναι κατά ελάχιστον αυτές που φαίνονται στα σχέδια με τίτλο «Στάθμες φωτισμού – καινούρια φωτιστικά».

Στα σχέδια με τίτλο «Στάθμες φωτισμού – σε βάθος τριετίας» αποτυπώνονται οι στάθμες φωτισμού μετά από τριετή λειτουργία των φωτιστικών σωμάτων.

Τα φωτιστικά σώματα θα είναι ενδεικτικού τύπου Coreline SM120 της Philips ή ισοδυνάμου.

Πίνακας 9. Πίνακας φωτιστικών και εγκατεστημένης ισχύος.

| Ενδ. Τύπος Φωτ. Σώματος | Πλήθος φωτιστικών σωμάτων | Τύπος λαμπτήρα | Χρώμα λαμπτήρα | Τύπος διαχυτή | Ισχύς φωτιστικού (W) | Φωτεινή ροή (lm) | Ισχύς φωτιστικών ιδίου τύπου |
|-------------------------|---------------------------|----------------|----------------|---------------|----------------------|------------------|------------------------------|
| SM120V 26S/840 W20L120 | 239 | LED | 840 | -- | 31 | 2600 | 7409 |
| SM120V 37S/840 W20L120 | 36 | LED | 840 | -- | 42 | 3700 | 1512 |
| SM120V 26S/840 W60L60 | 79 | LED | 840 | -- | 31 | 2600 | 2449 |
| SM120V 37S/840 W60L60 | 4 | LED | 840 | -- | 42 | 3700 | 168 |
| 1X18 PL | 6 | PL | 840 | O | 21 | | 126 |
| 1X35 | 11 | T5 | 840 | D6 | 39 | 1990 | 429 |
| ΣΥΝΟΛΑ | 375 | | | | | | 12093 |

* Τα φωτιστικά σώματα που θα επιλεγούν για εγκατάσταση θα έχουν τουλάχιστον την φωτεινή ροή (lm) που αναγράφεται στην έβδομη στήλη και το πολύ την απορροφούμενη ισχύ που αναγράφεται στην 5η στήλη

2.3 Σύνδεση στο δίκτυο

Για την σύνδεση των φωτιστικών σωμάτων στο δίκτυο θα γίνουν τα παρακάτω.

- α) θα απεγκατασταθούν τα υφιστάμενα φωτιστικά σώματα (ο ανάδοχος θα μεταφέρει τα απεγκατεστημένα φωτιστικά σε σημείο που θα του υποδειχθεί από την επιβλέπουσα αρχή εντός των γεωγραφικών ορίων του Δήμου Αλεξάνδρειας.
- β) θα απεγκατασταθούν τα καλώδια και οι πλαστικές σωλήνες όταν αυτά εμποδίζουν στην νέα εγκατάσταση
- γ) θα αποκατασταθούν οι φθορές και οι τρύπες στα σημεία στήριξης των παλιών φωτιστικών και των σωλήνων, και θα βαφεί το ταβάνι τοπικά με ίδιο χρώμα που είναι βαμμένο σήμερα
- δ) θα εγκατασταθούν τα νέα φωτιστικά σώματα
- ε) θα συνδεθούν στο δίκτυο χρησιμοποιώντας τις σωλήνες και τα καλώδια που υπάρχουν και εφόσον δεν επαρκούν θα χρησιμοποιηθούν νέα καλώδια H05VV3G1.5 και σωλήνες, πλαστικές, μεσαίου τύπου ευθύγραμμες Φ20 τύπου Κουβίδα ή ισοδυνάμου. Όλο το δίκτυο ισχυρών θα ελεγχθεί όσον αφορά την μόνωσή του.

Οι σωληνώσεις και καλωδιώσεις θα πληρούν τις προδιαγραφές

ΕΛΟΤ ΤΠ 1501-04-20-01-02 «Πλαστικές σωληνώσεις ηλεκτρικών εγκαταστάσεων»

ΕΛΟΤ ΤΠ 1501-04-20-02-01 «Αγωγοί - καλώδια διανομής ενέργειας»

3. Φωτοβολταϊκά - αυτοπαραγωγός

Στην στέγη του σχολείου, με νότιο προσανατολισμό θα εγκατασταθεί φωτοβολταϊκό σύστημα ισχύος 8kW_{pp}. Το χρονικό διάστημα μεταξύ της έγκρισης της προμελέτης και της εκπόνησης της οριστικής μελέτης εκδόθηκε υπουργική απόφαση (Αριθμ. Υ.Α.Π.Ε. / Φ1 / 2300 / οικ.16932 στο ΦΕΚ Β.2317/10-08-2012) σύμφωνα με την οποία αναστέλλεται η αδειοδότηση νέων φωτοβολταϊκών συστημάτων διασυνδεδεμένων στην ΔΕΗ. Το ενεργειακό πρόβλημα που δημιουργείται είναι ότι τους καλοκαιρινούς μήνες κατά τους οποίους το σχολείο είναι κλειστό, η παραγόμενη ενέργεια δεν θα μπορεί να αποθηκεύεται στο σύνολό της και τα φωτοβολταϊκά θα σταματήσουν την επιπλέον παραγωγή μειώνοντας την αναμενόμενη παραγόμενη ενέργεια. Προτείνεται λοιπόν η εξής διπλή λύση. Η σχεδίαση της εγκατάστασης έχει γίνει με τέτοιο τρόπο ώστε εκτονιστέρων να μπορεί να γίνει διασύνδεση με χαμηλό κόστος, ενώ σε περίπτωση άρσης της απαγόρευσης πριν την εκτέλεση του έργου, ακόμα και αν αυτό έχει δημοπρατηθεί να εκτελεστεί η κατασκευή του διασυνδεδεμένου φωτοβολταϊκού.

Συνεπώς δίνονται στην παρούσα μελέτη δύο εναλλακτικές μία για αυτόνομο σύστημα και μία για διασυνδεδεμένο ως αυτοπαραγωγός.

Α. Στην πρώτη περίπτωση του αυτόνομου συστήματος η παραγόμενη ενέργεια, που δεν καταναλώνεται στα φορτία του κτιρίου, θα αποθηκεύεται σε μπαταρίες οι οποίες θα βρίσκονται στον χώρο του γενικού πίνακα κάτω από την σκάλα. Από τις μπαταρίες θα τροφοδοτείται νέος υποπίνακας ο οποίος θα έχει συνδεδεμένα τα φορτία των δύο υποπινάκων στους διαδρόμους του δευτέρου ορόφου.

Β. Για την δεύτερη περίπτωση που είναι και η επιθυμητή ενεργειακά, το φωτοβολταϊκό σύστημα θα συνδεθεί στον κεντρικό πίνακα του κτιρίου και θα αντικατασταθεί ο μετρητή ώστε να μπορεί να συνδεθεί το κτίριο με την ΔΕΗ ως αυτοπαραγωγός. Η παραγόμενη δηλαδή ενέργεια του Φ/Β, όταν καταναλίσκεται στο κτίριο, θα αποδίδεται στο δίκτυο της ΔΕΗ. Κατά την τιμολόγηση η αποδιδόμενη αυτή ενέργεια θα αφαιρείται από την καταναλισκόμενη. Η σύνδεση του σχολείου ως αυτοπαραγωγού είναι η ιδανική λύση καθώς αποφεύγεται η χρήση μπαταριών αλλά και η αναδιανομή των φορτίων στον ηλεκτρικό πίνακα.

3.1 Απόδοση φωτοβολταϊκών

3.1.1 1^η περίπτωση - με τη βοήθεια του ευρωπαϊκού προγράμματος PVGIS με κλιματικά δεδομένα PVGIS – CMSAF

3.1.1.1 Θέση εγκατάστασης

Γεωγραφικό πλάτος: 40°37'19"

Γεωγραφικό μήκος: 22°26'46"

Ονομαστική μέγιστη ισχύς προς εγκατάσταση: 8kWp

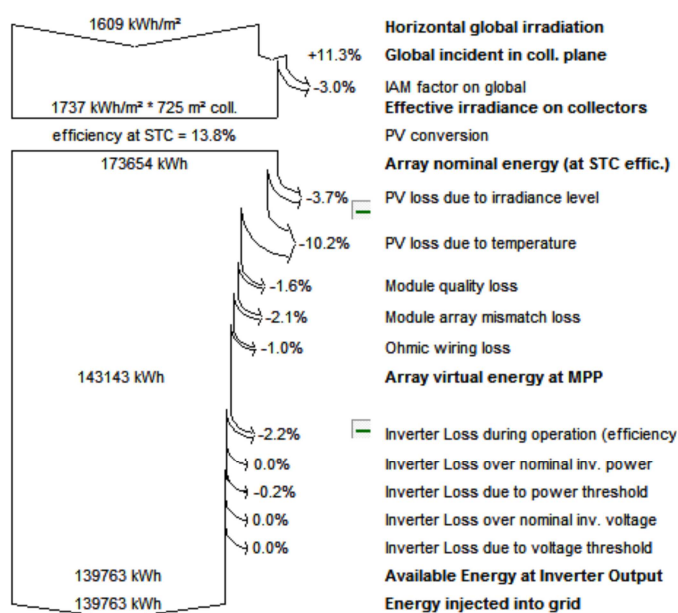
Κλίση: 17°.

Αζιμούθιο: -17°.



3.1.1.2 Στοιχεία εγκατάστασης απώλειες συστήματος

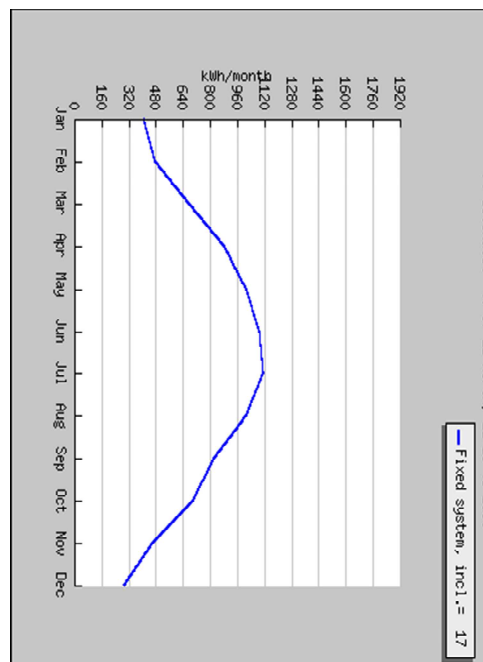
- Ονομαστική ισχύς φωτοβολταϊκού συστήματος 8.0kW (crystalline silicon)
- Εκτιμώμενες απώλειες λόγω θερμοκρασίας και χαμηλής ακτινοβολίας: 13.7% (χρησιμοποιήθηκε η τοπική μέση θερμοκρασία)
- Εκτιμώμενες απώλειες λόγω ανάκλασης και γωνίας πρόσπτωσης: 2.8%
- Λοιπές απώλειες όπως καλώδια, απώλειες στον μετατροπέα κλπ: 14.0%
- Συνολικές απώλειες φωτοβολταϊκού συστήματος: 27.9%



Διάγραμμα Απωλειών Sankey

3.1.1.3 Αποδιδόμενη ενέργεια

| Περίοδος | E_d | E_m | H_d | H_m |
|--------------|--------------|------------|-------|-------|
| Ιανουάριος | 16.20 | 502 | 2.57 | 79.7 |
| Φεβρουάριος | 21.50 | 601 | 3.45 | 96.5 |
| Μάρτιος | 27.80 | 860 | 4.60 | 143 |
| Απρίλιος | 33.20 | 996 | 5.68 | 170 |
| Μάιος | 37.40 | 1160 | 6.63 | 205 |
| Ιούνιος | 40.70 | 1220 | 7.46 | 224 |
| Ιούλιος | 42.70 | 1320 | 7.80 | 242 |
| Αύγουστος | 39.50 | 1220 | 7.26 | 225 |
| Σεπτέμβριος | 31.40 | 942 | 5.57 | 167 |
| Οκτώβριος | 23.00 | 713 | 3.92 | 122 |
| Νοέμβριος | 17.20 | 516 | 2.81 | 84.3 |
| Δεκέμβριος | 15.70 | 488 | 2.49 | 77.2 |
| Μέσο ετήσιο | 28.9 | 879 | 5.03 | 153 |
| Σύνολο έτους | 10500 | | 1840 | |



- **Ed:** Μέση ημερήσια παραγωγή ηλεκτρικής ενέργειας (kWh)
- **Em:** Μέση μηνιαία παραγωγή ηλεκτρικής ενέργειας (kWh)
- **Hd:** Μέσο ημερήσιο άθροισμα της ακτινοβολίας ανά τετραγωνικό μέτρο (kWh/m²)
- **Hm:** Μέση άθροισμα της ακτινοβολίας ανά τετραγωνικό μέτρο (kWh/m²)

PVGIS © European Communities, 2001-2010

Κλιματικά δεδομένα PVGIS-CMSAF

3.1.2 2^η περίπτωση - με τη βοήθεια του ευρωπαϊκού προγράμματος PVGIS με κλιματικά δεδομένα PVGIS – Classic

3.1.2.1 Θέση εγκατάστασης

Γεωγραφικό πλάτος: 40°37'19"

Γεωγραφικό μήκος: 22°26'46"

Ονομαστική μέγιστη ισχύς προς εγκατάσταση: 8kWp

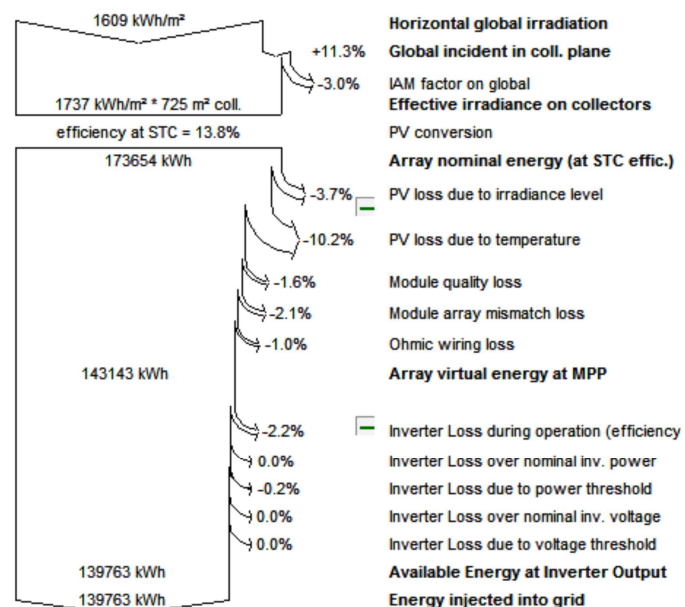
Κλίση: 17°.

Αζιμούθιο: -17°.



3.1.2.2 Στοιχεία εγκατάστασης απώλειες συστήματος

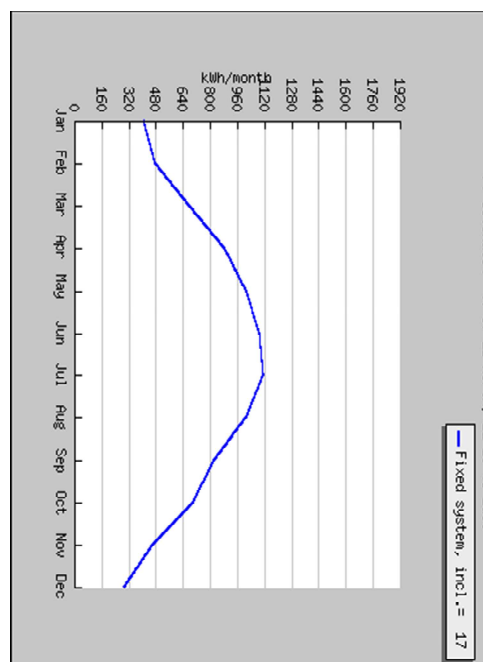
- Ονομαστική ισχύς φωτοβολταϊκού συστήματος 8.0kW (crystalline silicon)
- Εκτιμώμενες απώλειες λόγω θερμοκρασίας και χαμηλής ακτινοβολίας: 14.0% (χρησιμοποιήθηκε η τοπική μέση θερμοκρασία)
- Εκτιμώμενες απώλειες λόγω ανάκλασης και γωνίας πρόσπτωσης: 3.0%
- Λοιπές απώλειες όπως καλώδια, απώλειες στον μετατροπέα κλπ: 14.0%
- Συνολικές απώλειες φωτοβολταϊκού συστήματος: 28.3%



Διάγραμμα Απωλειών Sankey

3.1.2.3 Αποδιδόμενη ενέργεια

| Περίοδος | E_d | E_m | H_d | H_m |
|--------------|-------|-------|-------|-------|
| Ιανουάριος | 12.80 | 397 | 2.04 | 63.1 |
| Φεβρουάριος | 16.60 | 466 | 2.68 | 75.1 |
| Μάρτιος | 21.60 | 669 | 3.59 | 111 |
| Απρίλιος | 29.30 | 878 | 5.03 | 151 |
| Μάιος | 32.40 | 1000 | 5.75 | 178 |
| Ιούνιος | 36.00 | 1080 | 6.63 | 199 |
| Ιούλιος | 35.60 | 1100 | 6.54 | 203 |
| Αύγουστος | 32.50 | 1010 | 6.01 | 186 |
| Σεπτέμβριος | 27.00 | 811 | 4.81 | 144 |
| Οκτώβριος | 22.20 | 689 | 3.79 | 118 |
| Νοέμβριος | 15.00 | 451 | 2.46 | 73.8 |
| Δεκέμβριος | 9.28 | 288 | 1.47 | 45.7 |
| Μέσο ετήσιο | 24.2 | 737 | 4.24 | 129 |
| Σύνολο έτους | | 8840 | | 1550 |



- **Ed:** Μέση ημερήσια παραγωγή ηλεκτρικής ενέργειας (kWh)
- **Em:** Μέση μηνιαία παραγωγή ηλεκτρικής ενέργειας (kWh)
- **Hd:** Μέσο ημερήσιο άθροισμα της ακτινοβολίας ανά τετραγωνικό μέτρο (kWh/m²)
- **Hm:** Μέση άθροισμα της ακτινοβολίας ανά τετραγωνικό μέτρο (kWh/m²)

PVGIS © European Communities, 2001-2010

Κλιματικά δεδομένα PVGIS
Classic

3.1.3 3^η περίπτωση - με κλιματικά δεδομένα από Τ.Ο.Τ.Ε.Ε. 20701-3/2010

3.1.3.1 Θέση εγκατάστασης

Γεωγραφικό πλάτος: 40°37'19"

Γεωγραφικό μήκος: 22°26'46"

Ονομαστική μέγιστη ισχύς προς εγκατάσταση: 8kWp

Κλίση: 17°.

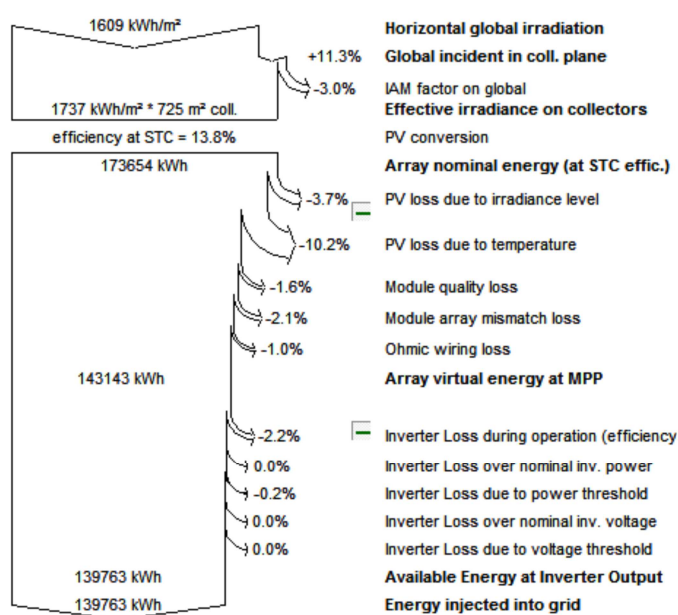
Αζιμούθιο: -17°.



Τα δεδομένα όμως προέρχονται από τον κοντινότερο σταθμό μέτρησης που είναι στην Θεσσαλονίκη

3.1.3.2 Στοιχεία εγκατάστασης απώλειες συστήματος

- Ονομαστική ισχύς φωτοβολταϊκού συστήματος 8.0kW (crystalline silicon)
- Εκτιμώμενες απώλειες λόγω θερμοκρασίας και χαμηλής ακτινοβολίας, λόγω ανάκλασης και γωνίας πρόσπτωσης, και λοιπές απώλειες όπως καλώδια, απώλειες στον μετατροπέα 25% που είναι οι συνολικές μέσες ετήσιες απώλειες του φωτοβολταϊκού συστήματος: 25.0%



Διάγραμμα Απωλειών Sankey

3.1.3.3 Αποδιδόμενη ενέργεια

| ΚΛΙΜΑΤΙΚΑ ΔΕΔΟΜΕΝΑ ΘΕΣΣΑΛΟΝΙΚΗΣ | | | | | | | |
|---|--------------|---------------|---------------|-----------------|-----------------------|---------|----------------|
| Μεση μηνιαία ακτινοβολία στον νότο | | | | | | | |
| H _t (kWh/m ² /mo) | | | | | | | |
| | Κλίση β (0°) | Κλίση β (45°) | Κλίση β (90°) | Κλίση β (9-16°) | P (kW _{pp}) | PR μέσο | E _σ |
| I | 53 | 91 | 85 | 62 | 8 | 75,00% | 372 |
| Φ | 68 | 95 | 79 | 75 | 8 | 75,00% | 450 |
| M | 103 | 120 | 87 | 105 | 8 | 75,00% | 630 |
| A | 141 | 140 | 86 | 140 | 8 | 75,00% | 840 |
| M | 179 | 160 | 86 | 174 | 8 | 75,00% | 1044 |
| I | 199 | 169 | 85 | 183 | 8 | 75,00% | 1098 |
| I | 209 | 182 | 93 | 203 | 8 | 75,00% | 1218 |
| A | 185 | 176 | 100 | 182 | 8 | 75,00% | 1092 |
| Σ | 137 | 152 | 103 | 141 | 8 | 75,00% | 846 |
| O | 91 | 123 | 99 | 101 | 8 | 75,00% | 606 |
| N | 57 | 94 | 87 | 69 | 8 | 75,00% | 414 |
| Δ | 45 | 85 | 83 | 58 | 8 | 75,00% | 348 |
| E | 1467 | 1587 | 1073 | 1493 | | | 8958 |

Η εκτιμώμενη παραγόμενη ηλεκτρική ενέργεια από την φωτοβολταϊκή εγκατάσταση προκύπτει λαμβάνοντας υπόψη την συνολικά παραγόμενη ηλεκτρική ενέργεια ***Es (kWh)***, την ισχύ αιχμής της εγκατάστασης ***Pp (kWp)***, τον λόγο επίδοσης της εγκατάστασης ***PR***, τη μέση μηνιαία πυκνότητα ολικής ηλιακής ενέργειας στο επίπεδο του πλαισίου ***Ht (kWh/m²/m)*** και την πυκνότητα ισχύος ηλιακής ακτινοβολίας σε συνθήκες εργαστηρίου ***Gstc (1kW/m²)***. Η σχέση που συνδέει όλες αυτές τις παραμέτρους είναι:

$$E_{\sigma} = P_p * PR_s * \frac{\bar{H}_t}{G_{stc}}$$

Ο λόγος επίδοσης της εγκατάστασης εκφράζεται αναλυτικά με βάση τον συντελεστή ανάκλασης ***PR_ρ***, τον συντελεστή της προσπίπτουσας ακτινοβολίας ***PR_φ***, τον συντελεστή χαμηλών τιμών ακτινοβολίας ***PR_λ***, τον συντελεστή διαφοροποίησης πόλωσης της ακτινοβολίας ***PR_χ***, τον συντελεστή απωλειών λόγω μη σύμπτωσης του σημείου λειτουργίας του στοιχείου με το σημείο μέγιστης λειτουργίας της συστοιχίας ***PR_{nit}***, το λόγο επίδοσης διαφοροποίησης θερμοκρασίας κυψέλης ***PR_t*** και τον συντελεστή απωλειών λόγω ανομοιογένειας στοιχείων, διόδων αντεπιστροφής, καλωδιώσεων και απόδοσης μετατροπέα ***H_{αα}***.

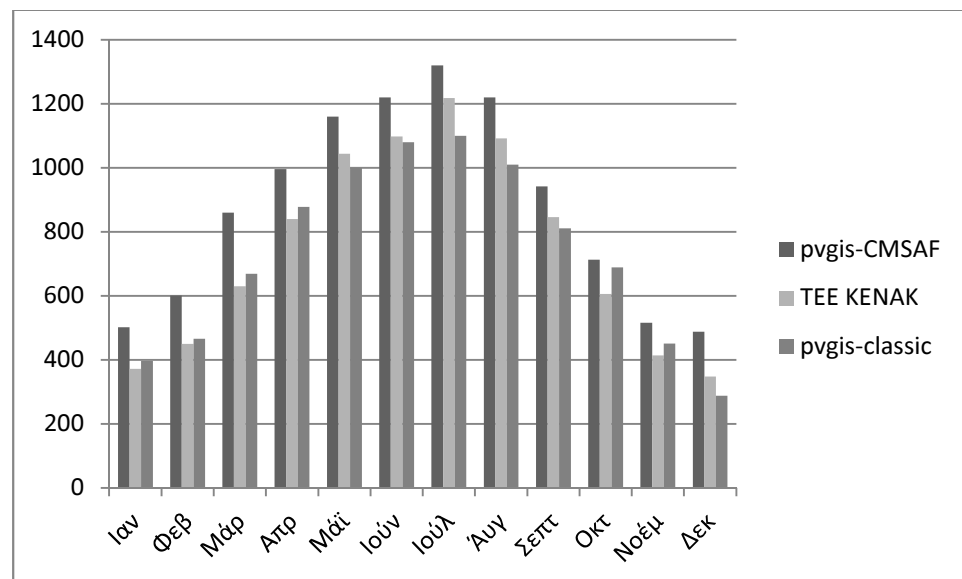
Στην προκειμένη μελέτη και για τα σενάρια τα οποία θα αναλύσουμε θα έχουμε ως παραδοχή για το λόγο επίδοσης, τα ακόλουθα:

- PR σταθερό περίπου ίσο με 0,75 (Βλέπε ενότητα 1.3.2)

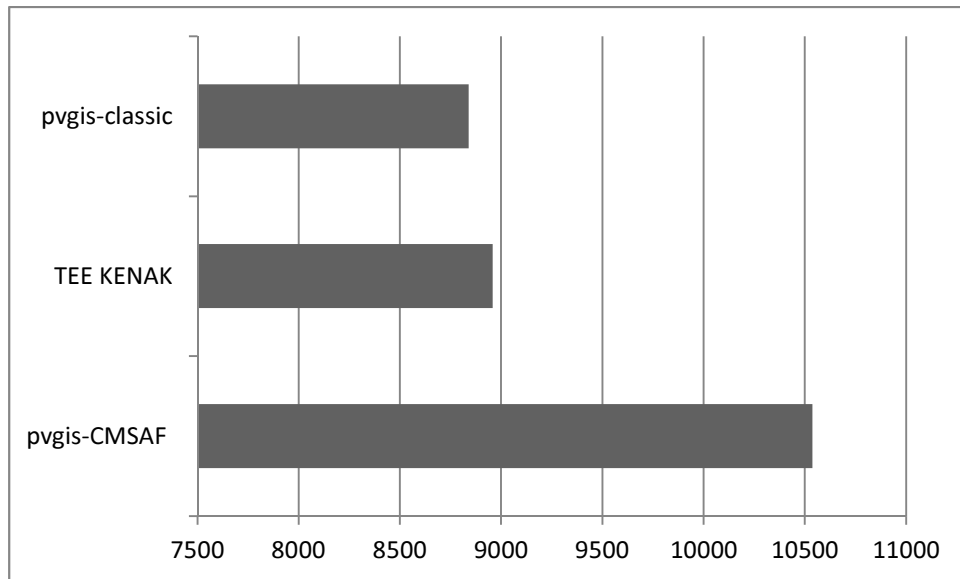
3.1.4 Σύγκριση μεθόδων υπολογισμού απόδοσης φωτοβολταϊκού συστήματος

| Μήνας | κλιματικά δεδομένα | | |
|---------------|--------------------|-------------|---------------|
| | pvgis-CMSAF | TEE KENAK | pvgis-classic |
| Ιαν | 502 | 372 | 397 |
| Φεβ | 601 | 450 | 466 |
| Μάρ | 860 | 630 | 669 |
| Απρ | 996 | 840 | 878 |
| Μάϊ | 1160 | 1044 | 1000 |
| Ιούν | 1220 | 1098 | 1080 |
| Ιούλ | 1320 | 1218 | 1100 |
| Άυγ | 1220 | 1092 | 1010 |
| Σεπτ | 942 | 846 | 811 |
| Οκτ | 713 | 606 | 689 |
| Νοέμ | 516 | 414 | 451 |
| Δεκ | 488 | 348 | 288 |
| Ετήσιο | 10538 | 8958 | 8839 |

Πίνακας απόδοσης Φ/Β συστήματος ανά μήνα και ανά κλιματικά δεδομένα



Διάγραμμα απόδοσης Φ/Β συστήματος ανά μήνα και ανά κλιματικά δεδομένα



Διάγραμμα απόδοσης Φ/Β συστήματος ανά έτος και ανά κλιματικά δεδομένα

3.1.5 Συμπεράσματα

Από τα παραπάνω διαγράμματα προκύπτει ότι ο υπολογισμός της απόδοσης του Φ/Β συστήματος μπορεί να γίνει με ασφάλεια χρησιμοποιώντας τα κλιματικά δεδομένα της Τ.Ο.Τ.Ε.Ε. και μέσω συντελεστή απωλειών συστήματος 75%. Έτσι η ετήσια αποδιδόμενη ηλεκτρική ενέργεια από το σύστημά μας ανέρχεται περίπου σε 9000kWh.

3.2 Αυτόνομο Φ/Β σύστημα

3.2.1 Υπολογισμός μπαταριών και πλήθους πλαϊσίων

| | | | | | |
|---|------------|--|--|--|--|
| Πλαίσιο | | | | | |
| β_{Pmp} : | 0,46% | | | | |
| n_c : | 15,21% | | | | |
| $H_{πλαίσιου}$ | 1680,00 mm | | | | |
| $W_{πλαίσιου}$ | 990,00 mm | | | | |
| β_{Pmp} : θερμοκρασιακός συντελεστής για τη μέγιστη ισχύ P_{mp} | | | | | |
| T_{mod} : η θερμοκρασία του panel = εξωτερική θερμοκρασία + 25K | | | | | |
| n_c : ο βαθμός απόδοσης του πανελ σε STC | | | | | |
| $\Delta\eta$: Μεταβολή του βαθμού απόδοσης με την θερμοκρασία | | | | | |
| $\Delta\eta = - \beta_{Pmp} * (25 - T_{mod}) * n_c$ | | | | | |
| n : βαθμός απόδοσης φωτοβολταϊκού | | | | | |

| | | | | | |
|--|--------|-----------------------|--|--|--|
| μετατροπéας | | Sunny Boy 3000 | | | |
| $\eta_{ρυθμ.φορτ.}$ | 93,30% | | | | |
| $\eta_{καλωδίων}$ | 98,00% | | | | |
| $\eta_{ρυθμ.φορτ.}$: Βαθμός απόδοσης ρυθμιστή φόρτισης ή inverter | | | | | |
| $\eta_{καλωδίων}$: Βαθμός απόδοσης λόγω απωλειών στα καλώδια | | | | | |

| | | | | | |
|--|--------------|--|--|--|--|
| Κατανάλωση | | | | | |
| $E_{el/day}$ | 31000 Wh/day | | | | |
| αυτονομία | 1 days | | | | |
| $E_{el/day}$: Ηλεκτρική κατανάλωση κατά την διάρκεια της ημέρας | | | | | |

| | | | | | |
|--|---------|--------------------------|--|--|--|
| μετατροπéας | | Sunny Island 5048 | | | |
| $I_{BATTERY}$ | 84,98 A | | | | |
| η_{inv} | 95,00% | | | | |
| $I_{BATTERY}$: μέγιστο ρεύμα φόρτισης = $C(Ah)/10h$ | | | | | |
| η_{inv} : βαθμός απόδοσης inverter | | | | | |

| | | | | | |
|---|---------------|--|--|--|--|
| Μπαταρίες | | | | | |
| $\eta_{εκφ.}$: | 80,00% | | | | |
| $\eta_{μπατ}$ | 85,00% | | | | |
| $\eta_{μπατ}$: βαθμός απόδοσης μπαταριών | | | | | |
| $\eta_{εκφ.}$: βάθος εκφόρτισής | | | | | |
| $E_{battery}$ | 40789,47 | | | | |
| V_{DC} | 48 V | | | | |
| C(Ah) | 850 Ah | | | | |
| V_{DC} : Τάση DC συστήματος | | | | | |
| $C(Ah)$: χωρητικότητα σε Ah | | | | | |

Πίνακας 3.2.1 Πίνακας εκλογής μπαταριών OPzV 2V cells (βαθιάς εκφόρτισης)

| OPzV 2V Cells | | | | | | | | | | |
|---------------|--------------|--|------------------------------------|-----|-----|-----|---------|------------|-------------------------|--|
| Τύπος | Θετική πλάκα | Χωρητικότητα (Ah) C ₁₀ V/Cell (1.80 Vpc στους 20°C) | Μέγιστες διαστάσεις στοιχείου (mm) | | | | | Βάρος (kg) | Ρεύμα βραχυκύκλωσης (A) | |
| | Μέγεθος (Ah) | | a | b | h1 | h2 | e | | | |
| 4 OPzV 200 | | 213 | 103 | 206 | 354 | 378 | - | 19,5 | 2010 | |
| 5 OPzV 250 | 50 | 267 | 124 | 206 | 354 | 378 | - | 23,5 | 2470 | |
| 6 OPzV 300 | | 319 | 145 | 206 | 354 | 378 | - | 28,0 | 2930 | |
| 5 OPzV 350 | 70 | 383 | 124 | 206 | 471 | 495 | - | 31,0 | 3080 | |
| 6 OPzV 420 | | 453 | 145 | 206 | 471 | 495 | - | 36,5 | 3880 | |
| 7 OPzV 490 | | 520 | 166 | 206 | 471 | 495 | - | 42,0 | 4080 | |
| 6 OPzV 600 | 100 | 654 | 145 | 206 | 643 | 667 | - | 50,0 | 4170 | |
| 8 OPzV 800 | | 891 | 191 | 210 | 644 | 668 | 80 | 68,0 | 5840 | |
| 10 OPzV 1000 | | 1105 | 233 | 210 | 646 | 670 | 110 | 82,0 | 7170 | |
| 12 OPzV 1200 | 125 | 1340 | 275 | 210 | 645 | 669 | 140 | 97,0 | 8540 | |
| 12 OPzV 1500 | | 1611 | 275 | 210 | 796 | 820 | 140 | 120,0 | 9360 | |
| 16 OPzV 2000 | | 2148 | 399 | 214 | 771 | 795 | 2 x 110 | 165,0 | 12200 | |
| 20 OPzV 2500 | | 2687 | 487 | 212 | 769 | 793 | 3 x 110 | 200,0 | 15190 | |
| 24 OPzV 3000 | | 3326 | 576 | 212 | 769 | 793 | 3 x 140 | 240,0 | 18300 | |

Πίνακας 3.2.2 Πίνακας επιλογής πλήθους πλασίων

| Αλεξάνδρεια Ημαθίας | | | | | | | | | | | | | |
|---|-------------|----------|----------|----------|----------|----------|----------|----------|----------|----------|----------|----------|--|
| | ΙΑΝ | ΦΕΒ | ΜΑΡ | ΑΠΡ | ΜΑΪ | ΙΟΥΝ | ΙΟΥΛ | ΑΥΓ | ΣΕΠ | ΟΚΤ | ΝΟΕ | ΔΕΚ | |
| Μέση μηνιαία θερμοκρασία κατά τη διάρκεια της ημέρας | 6,0 | 7,6 | 11,0 | 16,5 | 22,2 | 27,3 | 29,0 | 27,8 | 24,5 | 18,1 | 11,7 | 7,8 | |
| Hd: Μέσο ημερήσιο άθροισμα της ακτινοβολίας ανά τετραγωνικό μέτρο (kWh/m2) | 2,57 | 3,45 | 4,60 | 5,68 | 6,63 | 7,46 | 7,80 | 7,26 | 5,57 | 3,92 | 2,81 | 2,49 | |
| T _{mod} : | 31,0 | 32,6 | 36,0 | 41,5 | 47,2 | 52,3 | 54,0 | 52,8 | 49,5 | 43,1 | 36,7 | 32,8 | |
| Δ _n : | 0,00419796 | 0,005317 | 0,007696 | 0,011544 | 0,015532 | 0,019101 | 0,02029 | 0,019451 | 0,017142 | 0,012664 | 0,008186 | 0,005457 | |
| n: | 14,790% | 14,678% | 14,440% | 14,056% | 13,657% | 13,300% | 13,181% | 13,265% | 13,496% | 13,944% | 14,391% | 14,664% | |
| E _s : ενέργεια προσπίπτουσα στο πλαίσιο σε μία ημέρα | 4,274 | 5,738 | 7,651 | 9,447 | 11,027 | 12,407 | 12,973 | 12,075 | 9,264 | 6,520 | 4,674 | 4,141 | |
| E _p : Ενέργεια ανά ημέρα | 0,632 | 0,842 | 1,105 | 1,328 | 1,506 | 1,650 | 1,710 | 1,602 | 1,250 | 0,909 | 0,673 | 0,607 | |
| E _{p-bat} : Ενέργεια στους συσσωρευτές για κάθε πλαίσιο | 0,578 | 0,770 | 1,010 | 1,214 | 1,377 | 1,509 | 1,563 | 1,465 | 1,143 | 0,831 | 0,615 | 0,555 | |
| ποσοστό της ονομαστικής χωρητικότητας που έχουν οι μπαταρίες για συγκεκριμένη θερμοκρασία | 98,00% | 98,00% | 98,00% | 98,00% | 98,00% | 98,00% | 98,00% | 98,00% | 98,00% | 98,00% | 98,00% | 98,00% | |
| E _{battery} | 39973,68421 | 39973,68 | 39973,68 | 39973,68 | 39973,68 | 39973,68 | 39973,68 | 39973,68 | 39973,68 | 39973,68 | 39973,68 | 39973,68 | |
| N _{panel} | 69,15 | 51,91 | 39,57 | 32,92 | 29,03 | 26,49 | 25,57 | 27,29 | 34,97 | 48,09 | 65,00 | 71,99 | |

1 x SB 3000

| | |
|-----------------------------|----------|
| PV peak power: | 2,70 kWp |
| Total number of PV modules: | 11 |
| Number of inverters: | 1 |
| Max. DC power: | 3,20 kW |
| Max. AC power: | 3,00 kW |
| Grid voltage: | 230 V |
| Nominal power ratio: | 119 % |



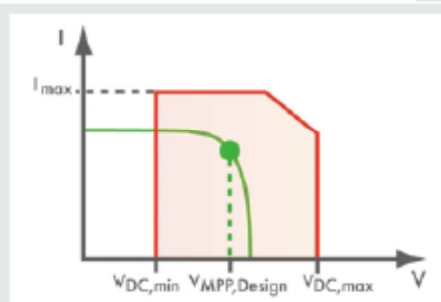
SB 3000

Technical data

Input A: PV array 2

11 x Bosch Solar Energy c-Si M60 EU30017 245 Wp (03/12), Azimuth angle: 17°, Inclination: 17°, Mounting type: Roof

| | Input A: | | |
|---------------------------------------|----------|---|--|
| Number of strings: | 1 | | |
| PV modules per string: | 11 | | |
| Peak power (input): | 2,70 kWp | | |
| Typical PV voltage: | 298 V | ✓ | |
| Min. PV voltage: | 271 V | ✓ | |
| Min. DC voltage (Grid voltage 230 V): | 268 V | | |
| Max. PV voltage: | 462 V | ✓ | |
| Max. DC voltage (Inverter): | 600 V | | |
| Max. current of PV array: | 8,2 A | ✓ | |
| Max. DC current: | 12,0 A | | |



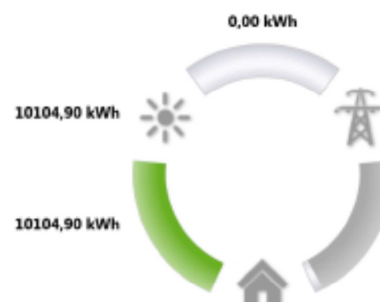
PV/Inverter conditionally compatible

Result

| | |
|--|--------------|
| Energy yield of the PV plant | 10104,90 kWh |
| Grid feed-in | 0,00 kWh |
| Consumption | 189,90 MWh |
| Self-consumption | 10104,90 kWh |
| Self-consumption quota (in % of PV energy) | 100 % |



Self-consumption quota 100 %



The displayed results are estimated values which are derived mathematically. SMA Solar Technology AG accepts no liability for the actual self-consumption which may deviate from the values displayed here. The potential self-consumption essentially depends on individual load patterns, which may deviate from the load profile on which the calculation is based.

Επιλέγεται η εγκατάσταση τριών συστοιχιών των 11 πλαίσιων κάθε μία από τις οποίες θα τροφοδοτεί ένα μονοφασικό μετατροπέα δικτύου ενδ. Τύπου Sunny Boy 3000 της SMA ή ισοδυνάμου. Κάθε ένας από τους τρεις μετατροπείς θα είναι συνδεδεμένος σε ξεχωριστή φάση του συστήματος στον νέο υποπίνακα.

3.2.4 Επιλογή DC καλωδίων σύνδεσης πλαισίων – μετατροπέων δικτύου

Τα DC καλώδια, σύνδεσης των πλαισίων με τους μετατροπείς δικτύου έχουν υπολογιστεί από το πρόγραμμα της SMA και είναι διατομής 6mm².

3.2.5 Μονοφασικοί μετατροπείς τάσης DC/AC για αυτόνομο σύστημα

Οι μετατροπείς τάσης DC/AC για αυτόνομο σύστημα θα έχουν τα παρακάτω χαρακτηριστικά | V(είσ.): 48Vdc | V(εξ.): 230Vac | Ισχύς ον./30min: 5000W θα διαθέτουν θύρα επικοινωνίας με BMS και θα είναι ενδ. τυπου: SMA Sunny Island 5048 ή ισοδυνάμου.

3.2.6 Μπαταρίες

Οι μπαταρίες θα είναι 24 σε αριθμό, βαθιάς εκφόρτισης τύπου OPzV GEL 2V των 900Ah.

3.2.7 Περιγραφή εγκατάστασης

3.2.7.1 Πλάισια

Στην κεκλιμένη σκεπή του κτιρίου θα εγκατασταθούν φωτοβολταϊκά πλαίσια (panels) για την παραγωγή ηλεκτρικής ενέργειας. Ο τύπος των ΦΒ θα είναι κρυσταλλικού πυριτίου με 60 στοιχεία (κυψέλες) ανά πλαίσιο. Κάθε πλαίσιο θα διαθέτει ονομαστική ισχύ ίση με 245Wp σε τυποποιημένες συνθήκες ελέγχου, δηλαδή ένταση ηλιακής ακτινοβολίας 1000W/m², θερμοκρασία 25°C, και μάζα αέρα (AM) 1,5.

Οι διαστάσεις των πλαισίων θα είναι περίπου 1650mm x 990 mm x 50mm, ενώ οι κυψέλες θα εγκλείονται σε προφίλ αλουμινίου για περιορισμό του συνολικού βάρους. Το βάρος κάθε πλαισίου θα είναι περίπου ίσο με 19,8kg. Όλα τα τεχνικά χαρακτηριστικά των πλαισίων θα έχουν μετρηθεί βάσει των διεθνών προτύπων IEC EN 61215 και IEC EN 61730.

Συνολικά προβλέπεται να εγκατασταθούν περίπου 33 φωτοβολταϊκά πλαίσια ισχύος περίπου 245Wp το καθένα. Η ονομαστική ισχύς της εγκατάστασης θα είναι περίπου 8kWpp.

Τα πλαίσια θα διαχωριστούν σε δύο συστοιχίες. Η μία θα έχει 17 πλαίσια και η άλλη 16. Κάθε μια συστοιχία θα συνδεθεί σε διαφορετική DC είσοδο του αντιστροφέα.

3.2.7.2 Βάσεις στήριξης

Τα φωτοβολταϊκά πλαίσια θα εγκατασταθούν επάνω σε κατάλληλες βάσεις αλουμινίου. Οι βάσεις αλουμινίου προτιμώνται για τους εξής λόγους:

- Έχουν χαμηλότερο βάρος και καταπονούν λιγότερο την οροφή του κτιρίου.
- Είναι ευκολότεροι στον χειρισμό και την συναρμολόγηση κατά την εγκατάσταση του συστήματος.
- Παρουσιάζουν αυξημένη αντοχή σε βεβαρυμμένα περιβάλλοντα όπως στην περίπτωση κατοικιών κοντά στην θάλασσα.

Οι βάσεις θα στηριχθούν επί της κεκλιμένης σκεπής και θα ακολουθούν την κλίση (18°) και τον προσανατολισμό (Νότιος) αυτής.

Οι βάσεις στήριξης θα αποτελούνται από τα εξής υλικά:

- Αγκύρια στήριξης επί της μεταλλικής στέγης.
- Ράγες αλουμινίου οριζόντιας τοποθέτησης.
- Ενδιάμεσοι συγκρατητές φωτοβολταϊκών πλαισίων.
- Ακράιοι συγκρατητές φωτοβολταϊκών πλαισίων.
- Κοχλίες και περικόχλια συνδέσεων.

Τα αγκύρια στήριξης θα είναι κατάλληλα για εγκατάσταση σε στέγη ασφαλιστικού κεραμιδιού. Κάθε αγκύριο θα διαθέτει 3 οπές M10, δύο κοντινών καθώς και μιας απομακρυσμένης για επιπρόσθετη σταθεροποίηση. Το αγκύριο θα είναι κατασκευασμένο από ανοξείδωτο ατσάλι κατηγορίας A2 (1.4301).

Οι αποστάσεις στις οποίες θα εγκατασταθούν τα αγκύρια καθώς και όλη η μεταλλική κατασκευή θα είναι υπολογισμένες από πολιτικό μηχανικό για κάθε κατοικία ξεχωριστά, ανάλογα με την περιοχή εγκατάστασης του συστήματος και τα περιβαλλοντικά δεδομένα. Τα φορτία αντοχής των βάσεων θα πρέπει να είναι τουλάχιστον 0,75 kN/m² για χιόνι και 0,80 kN/m² για άνεμο.

Οι ράγες αλουμινίου θα είναι μεσαίου τύπου και θα διατίθενται σε τυποποιημένα μήκη (2.10m, 2.65m, 3.43m, 4.35m, 5.40m, 6.10m). Σε κάθε εγκατάσταση οι ράγες αλουμινίου θα πρέπει να προεξέχουν κατά 150mm από τα άκρα του τελευταίου ΦΒ πλαισίου. Όταν δεν επαρκεί μια ράγα αλουμινίου μέγιστου μήκους 6.10m, για να στηριχθεί το σύνολο των πλαισίων θα ενώνεται με ειδικό συνδετήρα-σύνδεσμο με δεύτερη. Το περίσσιο τμήμα ράγας θα κόβεται επιτόπου από τον εγκαταστάτη με την βοήθεια ηλεκτρικών τροχών. Κάθε φωτοβολταϊκό πλαίσιο θα στηρίζεται επάνω σε δύο ράγες αλουμινίου στα σημεία L /4-L1/5 και 3L1/4-3L1/5. Η έδραση τους επάνω στα αγκύρια στήριξης θα γίνεται μέσω ειδικών κοχλίων και συνδέσμων. Στο σχήμα 3 παρουσιάζεται η μορφή μιας ράγας αλουμινίου.

Οι ενδιάμεσοι και ακράιοι συγκρατητές φωτοβολταϊκών πλαισίων θα είναι κατασκευασμένοι από αλουμίνιο και θα είναι κατάλληλοι για στήριξη φωτοβολταϊκών πλαισίων με διαστάσεις έως 50mm επάνω στις ράγες αλουμινίου. Οι συγκρατητές θα διαθέτουν ειδικό σύνδεσμο για να μπαίνουν χωνευτά στο κατάλληλο κανάλι της ράγας αλουμινίου και μέσω ημίσειας στροφής θα συγκρατούνται στέρεα στην θέση τους. Κάθε πλαίσιο θα στηρίζεται με τα πλευρικά φωτοβολταϊκά πλαίσια από 4 ενδιάμεσους συγκρατητές πλην των ακριανών κάθε σειράς, όπου θα στηρίζονται από 2 ενδιάμεσους και δύο ακραίους συγκρατητές.

3.2.7.3. Καλώδια DC

Όλες οι καλωδιώσεις που θα αναχωρούν από τα ΦΒ πλαίσια, θα διαθέτουν προδιαγραφές καταλληλότητας τόσο για την μέγιστη τάση του συστήματος όσο και για συνεχή έκθεση στην ηλιακή ακτινοβολία. Τα DC καλώδια θα οδεύουν εντός της στέγης και μέχρι το βορεινό κλιμακοστάσιο και από εκεί θα κατέρχονται μέχρι και τον χώρο εγκατάστασης του

γενικού πίνακα. Το τμήμα των καλωδίων εντός της στέγης θα οδεύει επί μεταλλικής διάτρητης εσχάρας με καπάκι πλάτους 100mm ενώ το κατακόρυφο τμήμα εντός χαλύβδινων ηλεκτρικών σωλήνων. Ειδικά για το τμήμα που διέρχεται από την αίθουσα ξένων γλωσσών θα κλειστούν οι σωλήνες με γυψοσανίδα.

3.2.7.4 Αντιστροφέας δικτύου

Τα παραπάνω ΦΒ πλαίσια θα συνδεθούν μέσω ειδικών καλωδιώσεων DC (για χρήση σε φωτοβολταϊκά συστήματα “Solar Type”) με μονοφασικό αντιστροφέα ισχύος 3kW (AC) για τη μετατροπή της συνεχούς τάσης/ρεύματος σε εναλλασσόμενη τάση/ρεύμα. Ο αντιστροφέας θα έχει μέγιστη τάση κατάλληλη για την σύνδεση των ΦΒ πλαισίων ενώ θα διαθέτει και την υψηλότερη δυνατή απόδοση για μεγιστοποίηση της ενεργειακής απολαβής.

Η συνολική έξοδος του συστήματος ΦΒ θα είναι τριφασική, τάσης 230V(πολική) και συχνότητας 50Hz. Κατά την ρύθμιση των τιμών λειτουργίας των αντιστροφέων θα πρέπει, για λόγους προστασίας, στην περίπτωση που η τάση μειωθεί κάτω από το -20% του ονομαστικού ή αυξηθεί πάνω από το +15%, ο αντιστροφέας να τίθεται εκτός λειτουργίας. Το ίδιο θα συμβαίνει σε περίπτωση που η συχνότητα μεταβληθεί κατά $\pm 0,5\text{Hz}$ επί της ονομαστικής. Η ολική αρμονική παραμόρφωση (THD) του ρεύματος του αντιστροφέα δεν θα πρέπει να υπερβαίνει το 5%. Επιπρόσθετα, κάθε αντιστροφέας θα πρέπει να είναι εναρμονισμένος με το πρότυπο DIN VDE 0126-1-1 για προστασία έναντι νησιδοποίησης. Ο αντιστροφέας θα διαθέτει πιστοποιήσεις και κατά εκπομπών ή λήψεων ηλεκτρομαγνητικών παρεμβολών όπως απαιτούν οι αντίστοιχες ευρωπαϊκές οδηγίες.

Οι αντιστροφείς θα διαθέτουν βαθμό προστασίας IP 55 και θα λειτουργούν σε θερμοκρασίες μεταξύ -20°C έως +55°C.

Ο αντιστροφέας θα είναι τοποθετημένος στον χώρο του γενικού πίνακα του κτιρίου.

Από την έξοδο του inverter θα αναχωρεί καλώδιο πέντε αγωγών (R- -N-PE). Το καλώδιο θα συνδέεται σε έναν τριφασικό υποπίνακα χαμηλής τάσης, ο οποίος θα περιλαμβάνει τα μέσα προστασίας των καλωδιώσεων και του εξοπλισμού.

3.2.7.4 Αντιστροφέας αυτόνομου συστήματος

Από τον γενικό πίνακα του κτιρίου θα τροφοδοτούνται τρεις αντιστροφείς αυτόνομου δικτύου οι οποίοι θα είναι συνδεδεμένοι στον υποπίνακα του αυτόνομου Φ/Β συστήματος αλλά και με συστοιχία 24 μπαταριών των 2V των 900Ah.

3.2.4 Περιγραφή λειτουργίας

Η περιγραφή του συστήματος έχει ως εξής. Όταν παράγεται ρεύμα από τα Φ/Β πλαίσια και ταυτόχρονα υπάρχει ζήτηση από τα συνδεδεμένα στο σύστημα φορτία του κτιρίου τότε η παραγόμενη ενέργεια καταναλώνεται απευθείας. Σε περίπτωση που η ζήτηση είναι χαμηλότερη της παραγόμενης ενέργειας τότε η πλεονάζουσα ενέργεια παρέχεται στους μετατροπείς τάσης οι οποίοι φορτίζουν την συστοιχία μπαταριών. Όταν όμως δεν υπάρχει παραγωγή ενέργειας αλλά υπάρχει ζήτηση ή όταν η δεύτερη είναι μεγαλύτερη από την πρώτη τότε συμβαίνουν τα εξής. Εφόσον οι μπαταρίες είναι επαρκώς φορτισμένες παρέχουν ρεύμα προς τις καταναλώσεις διαφορετικά η και συμπληρωματικά η ζητούμενη ενέργεια απορροφάται από το δίκτυο της ΔΕΗ.

3.2.5 Γείωση Συστήματος

Το σύστημα γείωσης αυτό θα υλοποιείται σε συνεννόηση με τους επισκοπιστές της ΔΕΗ.

3.2.6 Σύστημα Αποθήκευσης δεδομένων

Θα υπάρχει δυνατότητα παρακολούθησης των δεδομένων ηλεκτρικής παραγωγής της εγκατάστασης. Σε κάθε περίπτωση ο κάθε inverter θα διαθέτει θύρα δεδομένων USB για την αποθήκευση των δεδομένων σε μνήμη τύπου flash.

Επιπρόσθετα, θα υπάρχει κατάλληλος εξοπλισμός για τη σύνδεση όλων των inverter μέσω πρωτοκόλλου επικοινωνίας RS485 και για τη σύνδεση με το BMS του κτιρίου.

3.3 Διασυνδεδεμένο Φ/Β σύστημα ως αυτοπαραγωγός

3.3.1 Υπολογισμός συστοιχιών και καλωδίων Φ/Β συστήματος

3.3.1.1 Υπολογισμός συστοιχιών Φ/Β πλαισίων στον μετατροπέα

Δεδομένα πλαισίου και inverter

| | | | | |
|----------|---|-------------------|--------|------|
| Inverter | Ονομαστική ισχύς inverter | $P_{max.inv} =$ | 8250 | W |
| | Μέγιστη τάση εισόδου inverter | $V_{max} =$ | 950 | V |
| | Μέγιστο ρεύμα εισόδου inverter | | 25 | A |
| Πλάισια | Ονομαστική ισχύς πλαισίου | $P_{mp.p.ονομ} =$ | 245 | Wp |
| | Ονομαστική τάση πλαισίου | $V_{mp.p} =$ | 29,8 | V |
| | Ονομαστική ένταση | $I_{mp.p} =$ | 8,25 | A |
| | Ένταση βραχυκυκλώσεως | $I_{sc} =$ | 8,6 | A |
| | η τάση ανοικτού κυκλώματος σε κανονικές συνθήκες λειτουργίας (από τον κατασκευαστή του ΦΒ πλαισίου) | $V_{oc,etc} =$ | 36,8 | V |
| | ο θερμοκρασιακός συντελεστής μεταβολής τάσης ανοικτού κυκλώματος ΦΒ πλαισίου | $\beta V_{oc} =$ | -0,34% | %/°C |
| | Παράγων Πλήρωσης FF (Fill Factor), | FF = | 77,41% | ΚΑΛΟ |

Υπολογισμός πλήθους Φ/Β πλαισίων και συστοιχιών σύνδεσης

| | | | | |
|---|---|----------------------|--------|----|
| Μέγιστος αριθμός πλαισίων ανα συστοιχία για $\theta = -10^{\circ}\text{C}$ | η επιθυμητή θερμοκρασία 1 | $\theta_c =$ | -10 | °C |
| | η ονομαστική θερμοκρασία 25°C | $\theta_{stc} =$ | 25 | °C |
| | η τάση ανοικτού κυκλώματος του ΦΒ πλαισίου για θερμοκρασία - 10°C | $V_{oc,-10} =$ | 41,18 | V |
| | Μέγιστος επιτρεπτός αριθμός πλαισίων ανα συστοιχία | $N_{\alpha} \leq$ | 23 | |
| Μέγιστος αριθμός πλαισίων ανα συστοιχία $\theta = 60^{\circ}\text{C}$ | η επιθυμητή θερμοκρασία 2 | $\theta_c =$ | 60 | °C |
| | η τάση ανοικτού κυκλώματος του ΦΒ πλαισίου για θερμοκρασία - 10°C | $V_{oc,+60} =$ | 32,42 | V |
| | Μέγιστος επιτρεπτός αριθμός πλαισίων ανα συστοιχία | $N_{\alpha} \leq$ | 29 | |
| | Μέγιστος επιτρεπτός αριθμός πλαισίων ανα συστοιχία | $N_{\pi\lambda.max}$ | 23 | |
| Πλήθος συστοιχιών/ Inverter | | | 2 | |
| συστοιχία 1 | Επιλέγονται Nπλ/ συστοιχίες | Nπλ. | 16 | |
| | Τάση συστοιχίας στους -10 | $V_{\text{συστ}}$ | 658,88 | V |
| | Πρέπει $V_{\text{συστ}} < V_{\text{max}}$ | | OK | |
| | Τάση συστοιχίας V_{mmp} (V) | V_{mmp} | 476,8 | V |
| συστοιχία 2 | Επιλέγονται Nπλ/ συστοιχίες | Nπλ. | 17 | |
| | Τάση συστοιχίας στους -10 | $V_{\text{συστ}}$ | 700,06 | V |
| | Πρέπει $V_{\text{συστ}} < V_{\text{max}}$ | | OK | |
| | Τάση συστοιχίας V_{mmp} (V) | V_{mmp} | 506,6 | V |
| Πλήθος πλαισίων προς τοποθέτηση | | | 33 | |
| Ο λόγος της μέγιστης ισχύος DC του μετατροπέα ως προς την ονομαστική ισχύ της ΦΒ γεννήτριας | | | 1,02 | OK |

3.3.1.2 Υπολογισμός DC καλωδίων ανά συστοιχία

| Υπολογισμός καλωδίου συστοιχίας 1 | | | | |
|-----------------------------------|------------------------------------|-----------|-------|-----------------|
| Στοιχεία γραμμής | πλαίσια ανα συστοιχία | Nπλ | 16 | |
| | μήκος γραμμής | L= | 50 | m |
| | Τάση πλαισίου | Vmpp | 29,8 | V |
| | Ονομαστική ένταση | Impp | 8,25 | A |
| | Ένταση βραχυκύκλωσης | Isc | 8,6 | A |
| | τάση συστοιχίας | Vmpp.συστ | 476,8 | V |
| | R/L (Ω/km) | R/L = | 4,45 | Ω/km |
| Επιλογή καλωδίου | Imax = 1,25*Isc | | 10,75 | A |
| | Επιλεγμένη διατομή mm ² | | 6 | mm ² |
| | πτώση τάσης Vd | | 3,69 | V |
| | Vd/Vmpp.συστ <1 | | 0,77 | OK |

| Υπολογισμός καλωδίου συστοιχίας 2 | | | | |
|-----------------------------------|------------------------------------|-----------|-------|-----------------|
| Στοιχεία γραμμής | πλαίσια ανα συστοιχία | Nπλ | 17 | |
| | μήκος γραμμής | L= | 60 | m |
| | Τάση πλαισίου | Vmpp | 29,8 | V |
| | Ονομαστική ένταση | Impp | 8,25 | A |
| | Ένταση βραχυκύκλωσης | Isc | 8,6 | A |
| | τάση συστοιχίας | Vmpp.συστ | 506,6 | V |
| | R/L (Ω/km) | R/L = | 4,72 | Ω/km |
| Επιλογή καλωδίου | Imax = 1,25*Isc | | 10,75 | A |
| | Επιλεγμένη διατομή mm ² | | 6 | mm ² |
| | πτώση τάσης Vd | | 4,43 | V |
| | Vd/Vmpp.συστ <1 | | 0,87 | OK |

3.3.2 Περιγραφή εγκατάστασης

3.3.2.1 Πλαίσια

Στην κεκλιμένη σκεπή του κτιρίου θα εγκατασταθούν φωτοβολταϊκά πλαίσια (panels) για την παραγωγή ηλεκτρικής ενέργειας. Ο τύπος των ΦΒ θα είναι κρυσταλλικού πυριτίου με 60 στοιχεία (κυψέλες) ανά πλαίσιο. Κάθε πλαίσιο θα διαθέτει ονομαστική ισχύ ίση με 245Wp σε τυποποιημένες συνθήκες ελέγχου, δηλαδή ένταση ηλιακής ακτινοβολίας 1000W/m², θερμοκρασία 25°C, και μάζα αέρα (AM) 1,5.

Οι διαστάσεις των πλαισίων θα είναι περίπου 1650mm x 990 mm x 50mm, ενώ οι κυψέλες θα εγκλείονται σε προφίλ αλουμινίου για περιορισμό του συνολικού βάρους. Το βάρος κάθε πλαισίου θα είναι περίπου ίσο με 19,8kg. Όλα τα τεχνικά χαρακτηριστικά των πλαισίων θα έχουν μετρηθεί βάσει των διεθνών προτύπων IEC EN 61215 και IEC EN 61730.

Συνολικά προβλέπεται να εγκατασταθούν περίπου 33 φωτοβολταϊκά πλαίσια ισχύος περίπου 245Wp το καθένα. Η ονομαστική ισχύς της εγκατάστασης θα είναι περίπου 8kWpp.

Τα πλαίσια θα διαχωριστούν σε δύο συστοιχίες. Η μία θα έχει 17 πλαίσια και η άλλη 16. Κάθε μια συστοιχία θα συνδεθεί σε διαφορετική DC είσοδο του αντιστροφέα.

3.3.2.2 Βάσεις στήριξης

Τα φωτοβολταϊκά πλαίσια θα εγκατασταθούν επάνω σε κατάλληλες βάσεις αλουμινίου. Οι βάσεις αλουμινίου προτιμώνται για τους εξής λόγους:

- Έχουν χαμηλότερο βάρος και καταπονούν λιγότερο την οροφή του κτιρίου.
- Είναι ευκολότεροι στον χειρισμό και την συναρμολόγηση κατά την εγκατάσταση του συστήματος.
- Παρουσιάζουν αυξημένη αντοχή σε βεβαρυμμένα περιβάλλοντα όπως στην περίπτωση κατοικιών κοντά στην θάλασσα.

Οι βάσεις θα στηριχθούν επί της κεκλιμένης σκεπής και θα ακολουθούν την κλίση (18°) και τον προσανατολισμό (Νότιος) αυτής.

Οι βάσεις στήριξης θα αποτελούνται από τα εξής υλικά:

- Αγκύρια στήριξης επί της μεταλλικής στέγης.
- Ράγες αλουμινίου οριζόντιας τοποθέτησης.
- Ενδιάμεσοι συγκρατητές φωτοβολταϊκών πλαισίων.
- Ακραίοι συγκρατητές φωτοβολταϊκών πλαισίων.
- Κοχλίες και περικόχλια συνδέσεων.

Τα αγκύρια στήριξης θα είναι κατάλληλα για εγκατάσταση σε στέγη ασφαλτικού κεραμιδιού. Κάθε αγκύριο θα διαθέτει 3 οπές M10, δύο κοντινών καθώς και μιας απομακρυσμένης για επιπρόσθετη σταθεροποίηση. Το αγκύριο θα είναι κατασκευασμένο από ανοξείδωτο ατσάλι κατηγορίας A2 (1.4301).

Οι αποστάσεις στις οποίες θα εγκατασταθούν τα αγκύρια καθώς και όλη η μεταλλική κατασκευή θα είναι υπολογισμένες από πολιτικό μηχανικό για κάθε κατοικία ξεχωριστά, ανάλογα με την περιοχή εγκατάστασης του συστήματος και τα περιβαλλοντικά δεδομένα. Τα φορτία αντοχής των βάσεων θα πρέπει να είναι τουλάχιστον 0,75 kN/m² για χιόνι και 0,80 kN/m² για άνεμο.

Οι ράγες αλουμινίου θα είναι μεσαίου τύπου και θα διατίθενται σε τυποποιημένα μήκη (2.10m, 2.65m, 3.43m, 4.35m, 5.40m, 6.10m). Σε κάθε εγκατάσταση οι ράγες αλουμινίου θα πρέπει να προεξέχουν κατά 150mm από τα άκρα του τελευταίου ΦΒ πλαισίου. Όταν δεν επαρκεί μια ράγα αλουμινίου μέγιστου μήκους 6.10m, για να στηριχθεί το σύνολο των πλαισίων θα ενώνεται με ειδικό συνδετήρα-σύνδεσμο με δεύτερη. Το περίσσιο τμήμα ράγας θα κόβεται επιτόπου από τον εγκαταστάτη με την βοήθεια ηλεκτρικών τροχών. Κάθε φωτοβολταϊκό πλαίσιο θα στηρίζεται επάνω σε δύο ράγες αλουμινίου στα σημεία L /4-L1/5 και 3L1/4-3L1/5. Η έδραση τους επάνω στα αγκύρια στήριξης θα γίνεται μέσω ειδικών κοχλίων και συνδέσμων. Στο σχήμα 3 παρουσιάζεται η μορφή μιας ράγας αλουμινίου.

Οι ενδιάμεσοι και ακραίοι συγκρατητές φωτοβολταϊκών πλαισίων θα είναι κατασκευασμένοι από αλουμίνιο και θα είναι κατάλληλοι για στήριξη φωτοβολταϊκών πλαισίων με διαστάσεις έως 50mm επάνω στις ράγες αλουμινίου. Οι συγκρατητές θα διαθέτουν ειδικό σύνδεσμο για να μπαίνουν χωνευτά στο κατάλληλο κανάλι της ράγας αλουμινίου και μέσω ημίσειας στροφής θα συγκρατούνται στέρεα στην θέση τους. Κάθε πλαίσιο θα στηρίζεται με τα

πλευρικά φωτοβολταϊκά πλαίσια από 4 ενδιάμεσους συγκρατητές πλην των ακριανών κάθε σειράς, όπου θα στηρίζονται από 2 ενδιάμεσους και δύο ακραίους συγκρατητές.

3.3.2.3. Καλώδια DC

Όλες οι καλωδιώσεις που θα αναχωρούν από τα ΦΒ πλαίσια, θα διαθέτουν προδιαγραφές καταλληλότητας τόσο για την μέγιστη τάση του συστήματος όσο και για συνεχή έκθεση στην ηλιακή ακτινοβολία. Τα DC καλώδια θα οδεύουν εντός της στέγης και μέχρι το βορεινό κλιμακοστάσιο και από εκεί θα κατέρχονται μέχρι και τον χώρο εγκατάστασης του γενικού πίνακα. Το τμήμα των καλωδίων εντός της στέγης θα οδεύει επί μεταλλικής διάτρητης εσχάρας με καπάκι πλάτους 100mm ενώ το κατακόρυφο τμήμα εντός χαλύβδινων ηλεκτρικών σωλήνων. Ειδικά για το τμήμα που διέρχεται από την αίθουσα ξένων γλωσσών θα κλειστούν οι σωλήνες με γυφτοσανίδα.

3.3.3 Αντιστροφέας διασυνδεδεμένου συστήματος

Τα παραπάνω ΦΒ πλαίσια θα συνδεθούν μέσω ειδικών καλωδιώσεων DC (για χρήση σε φωτοβολταϊκά συστήματα “Solar Type”) με τριφασικό αντιστροφέα ισχύος 8 kW (AC) για τη μετατροπή της συνεχούς τάσης/ρεύματος σε εναλλασσόμενη τάση/ρεύμα. Ο αντιστροφέας θα έχει μέγιστη τάση κατάλληλη για την σύνδεση των ΦΒ πλαισίων ενώ θα διαθέτει και την υψηλότερη δυνατή απόδοση για μεγιστοποίηση της ενεργειακής απολαβής.

Η συνολική έξοδος του συστήματος ΦΒ θα είναι τριφασική, τάσης 400V(πολική) και συχνότητας 50Hz. Κατά την ρύθμιση των τιμών λειτουργίας των αντιστροφέων θα πρέπει, για λόγους προστασίας, στην περίπτωση που η τάση μειωθεί κάτω από το -20% του ονομαστικού ή αυξηθεί πάνω από το +15%, ο αντιστροφέας να τίθεται εκτός λειτουργίας. Το ίδιο θα συμβαίνει σε περίπτωση που η συχνότητα μεταβληθεί κατά $\pm 0,5\text{Hz}$ επί της ονομαστικής. Η ολική αρμονική παραμόρφωση (THD) του ρεύματος του αντιστροφέα δεν θα πρέπει να υπερβαίνει το 5%. Επιπρόσθετα, κάθε αντιστροφέας θα πρέπει να είναι εναρμονισμένος με το πρότυπο DIN VDE 0126-1-1 για προστασία έναντι νησιδοποίησης. Ο αντιστροφέας θα διαθέτει πιστοποιήσεις και κατά εκπομπών ή λήψεων ηλεκτρομαγνητικών παρεμβολών όπως απαιτούν οι αντίστοιχες ευρωπαϊκές οδηγίες.

Ο αντιστροφέας θα είναι τοποθετημένος στον χώρο του γενικού πίνακα του κτιρίου.

Από την έξοδο του inverter θα αναχωρεί καλώδιο πέντε αγωγών (R-S-T-N-PE). Το καλώδιο θα συνδέεται σε έναν τριφασικό Πίνακα Χαμηλής Τάσης, ο οποίος θα περιλαμβάνει τα μέσα προστασίας των καλωδιώσεων και του εξοπλισμού.

3.3.4 Γείωση Συστήματος

Το σύστημα γείωσης αυτό θα υλοποιείται σε συνεννόηση με τους επισκοπιστές της ΔΕΗ.

3.3.5 Σύστημα Αποθήκευσης δεδομένων

Θα υπάρχει δυνατότητα παρακολούθησης των δεδομένων ηλεκτρικής παραγωγής της εγκατάστασης. Σε κάθε περίπτωση ο inverter διαθέτει θύρα δεδομένων USB για την αποθήκευση των δεδομένων σε μνήμη τύπου flash.

Επιπρόσθετα, θα υπάρχει κατάλληλος εξοπλισμός για τη σύνδεση μέσω πρωτοκόλλου επικοινωνίας RS485 και για τη σύνδεση με το BMS του κτιρίου.

3.4 Καλωδιώσεις και οδεύσεις καλωδίων

Οι καλωδιώσεις και οι σωληνώσεις του δικτύου Φ/Β θα είναι σύμφωνες με τα πρότυπα

ΕΛΟΤ ΤΠ 1501-04-20-01-01 «Χαλύβδινες σωληνώσεις ηλεκτρικών εγκαταστάσεων»

ΕΛΟΤ ΤΠ 1501-04-20-01-02 «Πλαστικές σωληνώσεις ηλεκτρικών εγκαταστάσεων»

ΕΛΟΤ ΤΠ 1501-04-20-01-03 «Εσχάρες και σιάλες καλωδίων»

ΕΛΟΤ ΤΠ 1501-04-20-02-01 «Αγωγοί - καλώδια διανομής ενέργειας»

3.5 Υποχρεώσεις αναδόχου

Ο ανάδοχος θα κάνει όλες τις απαραίτητες ενέργειες για την σύνδεση του Φ/Β με την ΔΕΗ ως αυτοπαραγωγού συμπεριλαμβανομένου του κόστους των μελετών αλλά και της προμήθειας και αντικατάστασης του μετρητή.

4. Κεντρικό σύστημα ελέγχου και χειρισμού κτιριακών εγκαταστάσεων Building Management System (BMS)

4.1 Γενικά

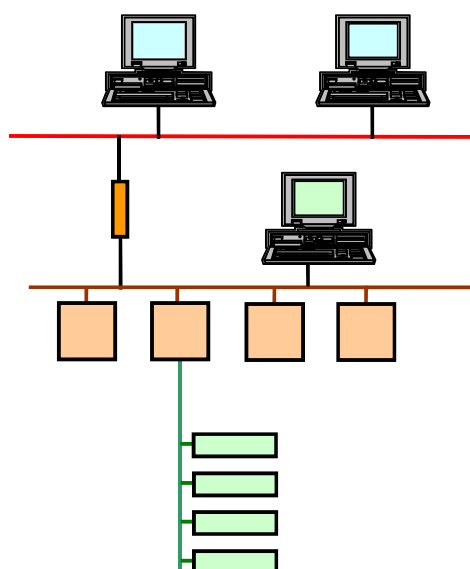
Το Σύστημα είναι σχεδιασμένο για να παρέχει από ένα κεντρικό σημείο την παρακολούθηση της λειτουργίας, την ανίχνευση σφαλμάτων και βλαβών, την μέγιστη εξοικονόμηση ενέργειας, πληροφορίες για την καταναλισκόμενη ενέργεια στο κτίριο και τις πληροφορίες προληπτικής συντήρησης των ηλεκτρολογικών, μηχανολογικών και άλλων εγκαταστάσεων του κτιρίου.

Η λειτουργία των ηλεκτρομηχανολογικών εγκαταστάσεων θα απεικονίζεται δυναμικά σε οθόνη ηλεκτρονικού υπολογιστή, εξοπλισμένου με κατάλληλο λογισμικό που θα προσφέρει περιβάλλον εργασίας εύκολο και φιλικό προς τον χειριστή.

Επίσης από τον κεντρικό υπολογιστή θα υπάρχει έξοδος και προς οθόνη προβολής στην είσοδο του κτιρίου, όπου θα απεικονίζονται τα διαγράμματα λειτουργίας, οι θερμοκρασιακές συνθήκες εντός και εκτός του κτιρίου, η πυκνότητα της προσπίπτουσα ηλιακής ενέργειας, οι στιγμιαίες και μέσες καταναλώσεις καθώς και οι στιγμιαίες και μέσες αποδόσεις του λέβητα, της αντλίας θερμότητας και των φωτοβολταϊκών. Επίσης θα αναγράφεται και η μέση και στιγμιαία ηλεκτρική κατανάλωση τόσο στο λεβητοστάσιο όσο και στο σύνολο του κτιρίου. Τέλος θα αναγράφεται και θα δίνεται σε διαγράμματα η ημερήσια, μηνιαία, και ετήσια κατανάλωση σε πρωτογενή ενέργεια και οι εκπεμπόμενοι ρίποι σε CO₂.

4.2 Δομή συστήματος ελέγχου και χειρισμού εγκαταστάσεων

Το Σύστημα Ελέγχου και Χειρισμού Εγκαταστάσεων θα αναπτύσσεται σε τρία διακριτά λειτουργικά επίπεδα :



Επίπεδο διαχείρισης.

Αποτελείται από ηλεκτρονικούς υπολογιστές με λειτουργικό περιβάλλον Microsoft Windows XP, λογισμικό διαχείρισης, κεντρικές μονάδες επεξεργασίας και δικτύου.

Επίπεδο αυτοματισμού εγκαταστάσεων.

Αποτελείται από προγραμματιζόμενους ελεγκτές (τεχνολογίας DDC) που ρυθμίζουν τις λειτουργίες των εγκαταστάσεων βάση συγκεκριμένων σεναρίων και χρονοπρογραμμάτων, δημιουργούν αναφορές βλαβών, εκτελούν υπολογισμούς, καταγραφές κλπ.

Επίπεδο αυτοματισμού συσκευών.

Αποτελείται από προγραμματιζόμενους ελεγκτές που εκτελούν τις τυποποιημένες λειτουργίες των συσκευών και των ηλεκτρομηχανολογικών εγκαταστάσεων (όπως τοπικών κλιματιστικών μονάδων, λεβήτων, ψυκτών νερού, φωτιστικών σωμάτων κλπ.)

Τα όργανα και οι συσκευές Συστήματος Ελέγχου και Χειρισμού Εγκαταστάσεων που θα είναι συνδεδεμένα σε δίκτυο, θα ανταλλάσσουν τις πληροφορίες μεταξύ τους σε πραγματικό χρόνο (επικοινωνία τύπου «σημείο προς σημείο»).

Οι ηλεκτρονικές συσκευές και το λογισμικό που θα σχηματίζουν το λειτουργικό επίπεδο διαχείρισης θα αποτελούν τα Κέντρα Διαχείρισης (MS) του Συστήματος Ελέγχου και Χειρισμού Εγκαταστάσεων.

Οι προγραμματιζόμενοι ελεγκτές του λειτουργικού επιπέδου αυτοματισμού εγκαταστάσεων θα τοποθετούνται σε μεταλλικούς ηλεκτρικούς πίνακες μαζί με τις απαραίτητες διατάξεις ηλεκτρικής τροφοδοσίας, προστασίας, ηλεκτρικών συνδέσεων και δικτυακής επικοινωνίας. Οι ηλεκτρικοί πίνακες θα αποτελούν τα Απομακρυσμένα Κέντρα Ελέγχου (ΑΚΕ). Τα ΑΚΕ θα έχουν δικτυακή επικοινωνία μεταξύ τους, θα συνδεθούν με αισθητήρια, με περιφερειακά όργανα ή συσκευές ελέγχου και με τον εξοπλισμό των διαχειριζόμενων ηλεκτρομηχανολογικών εγκαταστάσεων.

Η τοπολογία του δικτύου των ΑΚΕ θα είναι ελεύθερη, δηλαδή, θα επιτρέπεται η σύνδεση τους σε σειρά, άξονικά, ή σε συνδυασμό των παραπάνω. Σε περίπτωση οποιαδήποτε διακοπής του καλωδίου του δικτύου επικοινωνίας, το κάθε ένα ΑΚΕ θα πρέπει να συνεχίζει να λειτουργεί αυτόνομα και να ανταλλάσσει πληροφορίες με τα ΑΚΕ του εναπομείναντος δικτύου.

Οι προγραμματιζόμενοι ελεγκτές του λειτουργικού επιπέδου αυτοματισμού συσκευών θα μπορούν να λειτουργούν αυτόνομα και θα έχουν δικτυακή επικοινωνία μεταξύ τους. Θα συνδεθούν με αισθητήρια, με χειριστήρια και με τα όργανα των συσκευών που θα ελέγχουν. Η τοπολογία του δικτύου τους είναι θα είναι ελεύθερη, δηλαδή, θα επιτρέπεται η σύνδεση τους σε σειρά, άξονικά, ή σε συνδυασμό των παραπάνω. Επίσης, το δίκτυό τους θα επικοινωνεί είτε απευθείας, είτε μέσω των κατάλληλων μεταφραστών πρωτοκόλλων επικοινωνίας με το δίκτυο των ΑΚΕ.

Το δίκτυο των ΑΚΕ θα συνδεθεί με κεντρικές μονάδες επεξεργασίας του Συστήματος Ελέγχου και Χειρισμού Εγκαταστάσεων.

Τα Κέντρα Διαχείρισης θα συνδεθούν με τις κεντρικές μονάδες επεξεργασίας σε δίκτυο, το οποίο θα είναι σύμφωνο με τα πρότυπα πρωτόκολλα επικοινωνίας Ethernet και TCP / IP και θα υποστηρίζει τις τελευταίες τεχνολογίες LAN, WAN.

4.3 Κέντρο διαχείρισης συστήματος ελέγχου και χειρισμού εγκαταστάσεων

Το κάθε Κέντρο Διαχείρισης του Συστήματος Ελέγχου και Χειρισμού Εγκαταστάσεων θα περιλαμβάνει τον ηλεκτρονικό υπολογιστή, το λειτουργικό σύστημα και το λογισμικό λειτουργίας, καθώς και τον εκτυπωτή, την συσκευή τηλεπικοινωνίας (modem), τα ηχεία και την κεντρική μονάδα επεξεργασίας, εφόσον απαιτούνται από την μελέτη. Θα συνδέεται με το δίκτυο του Συστήματος Ελέγχου και Χειρισμού Εγκαταστάσεων σε οποιοδήποτε σημείο του. Στο ίδιο δίκτυο θα μπορούν να συνδεθούν περισσότερα από ένα Κέντρα Διαχείρισης, ώστε να γίνεται ο έλεγχος της λειτουργίας των ηλεκτρομηχανολογικών εγκαταστάσεων του κτιρίου παράλληλα από πολλά σημεία.

Επίσης από τον κεντρικό υπολογιστή θα υπάρχει έξοδος και προς οθόνη προβολής στην είσοδο του κτιρίου. όπου θα απεικονίζονται τα διαγράμματα λειτουργίας, οι

θερμοκρασιακές συνθήκες εντός και εκτός του κτιρίου, η πυκνότητα της προσπίπτουσα ηλιακής ενέργειας, οι στιγμιαίες και μέσες καταναλώσεις καθώς και οι στιγμιαίες και μέσες αποδόσεις του λέβητα, της αντλίας θερμότητας και των φωτοβολταϊκών. Επίσης θα αναγράφεται και η μέση και στιγμιαία ηλεκτρική κατανάλωση τόσο στο λεβητοστάσιο όσο και στο σύνολο του κτιρίου. Τέλος θα αναγράφεται και θα δίνεται σε διαγράμματα η ημερήσια, μηνιαία, και ετήσια κατανάλωση σε πρωτογενή ενέργεια και οι εκπεμπόμενοι ρίποι σε CO₂.

Ο ηλεκτρονικός υπολογιστής του Κέντρου διαχείρισης θα έχει (ενδεικτικά και κατ' ελάχιστον) :

Επεξεργαστή Intel i5 2.5GHz.

Μνήμη 4 GB DDR3 / 1600MHz.

Σκληρό δίσκο 160GB Solid state

Δεύτερο Σκληρό δίσκο 3,5" SATA 500GB 7200στροφών

Κάρτα γραφικών PCIx, 2 GB, με ανάλυση 1920x1080, Full HD

Μία παράλληλη θύρα.

Δύο σειριακές θύρες.

Κάρτες δικτύου 2xPCI faste type Ethernet adapter.

DVD RW SuperMulti SATA.

Πληκτρολόγιο

Ποντίκι USB / PS2.

Έγχρωμη οθόνη LED 24", 1920x1080/ 60Hz.

Εκτυπωτή Laser ασπρόμαυρο διπλής όψης δικτυακό.

Λειτουργικό περιβάλλον Microsoft Windows 7 ή 8 professional

Λογισμικό Συστήματος Ελέγχου και Χειρισμού Εγκαταστάσεων.

Η οθόνη προβολής στην είσοδο του κτιρίου θα είναι τεχνολογίας plasma και θα έχει:

Διαγώνιο: 50",

Ανάλυση: 1920x1080,

Full HD,

Αναλογία: 16:9,

Φωτεινότητα: 1500 cd/m²,

Συχνότητα Ανανέωσης: 600 Hz,

Αντίθεση: 3000000:1

4.3.1 Λογισμικό κέντρου διαχείρισης

Το λογισμικό του Κέντρου Διαχείρισης θα έχει τις παρακάτω βασικές λειτουργίες :

- Εμφάνιση συνοπτικών αναφορών βλαβών λειτουργίας των εγκαταστάσεων του κτιρίου, ταξινομημένων σε τρεις ομάδες ανάλογα με την σημαντικότητα της βλάβης.
- Αποστολή αναφορών βλαβών λειτουργίας των εγκαταστάσεων του κτιρίου στον εκτυπωτή, στο φάξ, σε κινητό τηλέφωνο, στο σύστημα ηλεκτρονικού ταχυδρομείου ή προς άλλη προγραμματισμένη συσκευή ανάγνωσης μηνυμάτων.
- Προστασία πρόσβασης.
- Διαφορετικά επίπεδα πρόσβασης, ανάλογα με τον κωδικό του χειριστή.
- Αυτόματη εκτέλεση προγραμματισμένων διεργασιών.
- Πραγματοποίηση και διακοπή σύνδεσης με το Σύστημα Ελέγχου και Χειρισμού Εγκαταστάσεων.
- Ταυτόχρονη σύνδεση με Συστήματα Ελέγχου Εγκαταστάσεων άλλων κτιρίων.
- Δυναμική γραφική απεικόνιση και γραφικό περιβάλλον ελέγχου των εγκαταστάσεων του κτιρίου.
- Εμφάνιση των διαφορετικών εγκαταστάσεων του κτιρίου υπό μορφή δέντρου δεδομένων και εύκολη περιήγηση ανάμεσα σε αυτές.
- Αρχείο καταγραφής των βλαβών λειτουργίας των εγκαταστάσεων του κτιρίου, των συνδέσεων με το Σύστημα Ελέγχου και Χειρισμού Εγκαταστάσεων, των χειριστών του Κέντρου Διαχείρισης και των αντίστοιχων χειρισμών που αυτοί πραγματοποίησαν.
- Ημερολόγιο για τον προγραμματισμό και τον χειρισμό των χρονικών προγραμμάτων λειτουργίας των εγκαταστάσεων του κτιρίου.
- Απομακρυσμένο έλεγχος του Κέντρου Διαχείρισης, που θα υποστηρίζει τις λειτουργίες AutoDial Links, ISDN, Ethernet TCP / IP LAN, Ethernet TCP / IP WAN.
- Δυνατότητα δημιουργίας και απεικόνισης Γραφικών τύπου Web Graphics για απομακρυσμένο έλεγχο μέσω Internet ή μέσω οθονών αφής (Touch Panels).

Το λογισμικό θα έχει την δυνατότητα να δίνει πρόσθετα τις κάτωθι πληροφορίες οι οποίες θα απεικονίζονται και στην οθόνη προβολής.

- Εσωτερικές Συνθήκες
 - Θερμοκρασία / υγρασία / συγκέντρωση CO₂
- Μετεωρολογικά δεδομένα
 - ηλιακή ακτινοβολία / θερμοκρασία / υγρασία / ταχύτητα και διεύθυνση ανέμου
- Αποδόσεις λειτουργίας εγκαταστάσεων
 - κατανάλωση καυσίμου λέβητα (αθροιστική και στιγμιαία)
 - ηλεκτροπαραγωγή Φ/Β συστήματος (αθροιστική και στιγμιαία)
 - ηλεκτροπαραγωγή Ανεμογεννήτριας (αθροιστική και στιγμιαία)

θερμική απόδοσης Γεωθερμικού Συστήματος (αθροιστική και στιγμιαία)
βαθμός απόδοσης Γεωθερμικού Συστήματος
μείωση παραγωγής CO₂ από τη λειτουργία του Φ/Β συστήματος (αθροιστική και ημερήσια)
μείωση παραγωγής CO₂ από τη λειτουργία της Ανεμογεννήτριας (αθροιστική και ημερήσια)
μείωση παραγωγής CO₂ από τη λειτουργία του Γεωθερμικού συστήματος (αθροιστική και ημερήσια)
συνολική και ποσοστιαία εξοικονόμηση ενέργειας συστημάτων

4.4 Απομακρυσμένο Κέντρο Ελέγχου (ΑΚΕ)

Τα ΑΚΕ θα είναι μεταλλικοί ηλεκτρικοί πίνακες που περιλαμβάνουν όλα τα διασυνδεδεμένα τοπικά σημεία ελέγχου. Αποτελούνται από το σύνολο των ψηφιακών και αναλογικών εισόδων - εξόδων καθώς επίσης και από τον ελεγκτή, έτσι ώστε το σύνολο να ανταποκρίνεται και εκτελεί κατ' ελάχιστο τις παρακάτω λειτουργίες:

- Αποκωδικοποίηση των τεχνικών διευθύνσεων του συστήματος.
- Συνεχής παρακολούθηση όλων των σημείων ελέγχου.
- Συνεχής έλεγχος μέσω προγραμμάτων, των διαδικασιών λειτουργίας της εγκατάστασης.
- Συνεχής αυτοδιαγνωστικός έλεγχος όλων των εξαρτημάτων που αποτελούν τον πίνακα.

4.4.1 Προγραμματιζόμενοι Ελεγκτές (Controllers) – στοιχεία εισόδων/εξόδων

Διακρίνονται σε δύο τύπους απόλυτα συμβατούς μεταξύ τους:

- τις modular προγραμματιζόμενες μονάδες ελέγχου και
- τις compact μονάδες.

Τα στοιχεία εισόδων - εξόδων (modules), είναι ηλεκτρονικές κάρτες που τοποθετούνται στα ΑΚΕ ανάλογα με τις απαιτήσεις της εγκατάστασης. Υπάρχουν οι παρακάτω 3 βασικές κατηγορίες modules:

- Στοιχείο ψηφιακής εισόδου. (τύπος SIEMENS TXM1.8D)
- Στοιχείο ψηφιακής εξόδου. (τύπος SIEMENS TXM1.6R)
- Στοιχείο προγραμματιζόμενων εισόδων-εξόδων. Σαν σήματα αναλογικών εισόδων και εξόδων μπορούν να χρησιμοποιηθούν όλα τα γνωστά σήματα, (0-10 VDC, RTD resistors, 4-20 mA) , κ.λ.π. (τύπος SIEMENS TXM1.8U, TXM1.8X)

Οποιαδήποτε δυσλειτουργία, οποιουδήποτε module του Συστήματος, που θα μπορεί να οφείλεται είτε στο ίδιο το module είτε σε οποιονδήποτε άλλον παράγοντα, (κακές συνδέσεις, βραχυκυκλώματα, κ.λ.π.), δεν επηρεάζει τις υπόλοιπες λειτουργίες και σημεία του συστήματος, παρά μόνον τα σημεία και τις λειτουργίες αυτών που είναι συνδεδεμένα στο συγκεκριμένο module.

Υπάρχουν διαφορετικοί τύποι ελεγκτών από άποψη χωρητικότητας σημείων ελέγχου έτσι ώστε να είναι δυνατή η επιλογή της κατάλληλης μονάδας αναλόγως του μεγέθους της εγκατάστασης. Ανάλογα με τις απαιτήσεις μια ή περισσότερες μονάδες ελέγχου συνδυάζονται για τον σχηματισμό ενός περιφερειακού πίνακα ελέγχου ο οποίος τοποθετείται κοντά στην ή στις ελεγχόμενες εγκαταστάσεις. Στη συνέχεια οι περιφερειακοί πίνακες Α.Κ.Ε. συνδέονται σε ένα κοινό δίκτυο επικοινωνίας (καλώδιο UTP Category 5) στο οποίο μπορεί να συνδεθεί ένας προσωπικός υπολογιστής MS Windows συμβατός, είτε μέσω κατάλληλων ελεγκτών, οθόνες αφής (Touch Panels).

Τύποι ελεγκτών modular είναι οι παρακάτω:

- PXC100.D Ελεγκτής έως 200 σημεία ελέγχου.
- PXC200.D Ελεγκτής έως 350 σημεία ελέγχου.

Τύποι ελεγκτών compact είναι οι παρακάτω:

- PXC12.D Προγραμματιζόμενη μονάδα ελέγχου 12 σημείων.
- PXC22.D Προγραμματιζόμενη μονάδα ελέγχου 22 σημείων.
- PXC36.D Προγραμματιζόμενη μονάδα ελέγχου 36 σημείων.
- PXC52 Προγραμματιζόμενη μονάδα ελέγχου 52 σημείων.

Ο κάθε ένας προγραμματιζόμενος ελεγκτής θα πρέπει κατ' ελάχιστο να πραγματοποιεί τα παρακάτω :

- Έλεγχο διαδικασιών και μανδαλώσεων.
- Αναφορές συναγερμών εσφαλμένης λειτουργίας.
- Προκαθορισμένα σενάρια λειτουργίας και χρονοπρογράμματα.
- Απαρίθμηση πραγματικού χρόνου.
- Βέλτιστη στάση – εκκίνηση των εγκαταστάσεων.
- Υπολογισμούς και διαχείριση ενέργειας.
- Καταγραφή μετρούμενων φυσικών μεγεθών.
- Αυτόνομη λειτουργία, χωρίς να απαιτούνται τα Κέντρα Διαχείρισης.
- Αποθήκευση πληροφοριών και εφαρμογών ελέγχου.
- Σύνδεση με τερματική μονάδα χειρός, με την οποία θα μπορούν να γίνονται οι αλλαγές στις παραμέτρους λειτουργίας, χωρίς να απαιτείται η χρήση ηλεκτρονικού υπολογιστή.

4.5 Δίκτυο συστήματος ελέγχου και χειρισμού εγκαταστάσεων

Οι κεντρικοί ελεγκτές των Κέντρων Διαχείρισης θα συνδέονται με το δίκτυο των ΑΚΕ. Οι υποσταθμοί μέσω τηλεφωνικού καλωδίου διασυνδέονται σε δίκτυο, έτσι ώστε να είναι εύκολη η ανταλλαγή δεδομένων μεταξύ τους καθώς επίσης και η συνολική παρακολούθηση όλων

των εγκαταστάσεων μέσω ηλεκτρονικών υπολογιστών οι οποίοι συνδέονται σαν κόμβοι σε οποιοδήποτε σημείο του δικτύου.

Η επικοινωνία των υποσταθμών μέσω του δικτύου είναι peer to peer, έτσι ώστε σε οποιαδήποτε διακοπή του δικτύου, τα ΑΚΕ να συνεχίζουν σε αυτόνομη λειτουργία, καθώς επίσης να ανταλλάσσουν δεδομένα με τους ΑΚΕ του εναπομείναντος δικτύου.

Σε περίπτωση διακοπής του δικτύου όλα τα ΑΚΕ συνεχίζουν σε αυτόνομη λειτουργία και ο κεντρικός Η/Υ εμφανίζει κατάσταση alarm.

Η τοπολογία του δικτύου των ΑΚΕ θα είναι ελεύθερη, δηλαδή, θα επιτρέπεται η σύνδεση τους σε σειρά, αζονικά, ή σε συνδυασμό των παραπάνω.

4.6 Διασύνδεση συστήματος ελέγχου και χειρισμού εγκαταστάσεων με άλλα συστήματα

Το Σύστημα Ελέγχου και Χειρισμού Εγκαταστάσεων θα έχει τη δυνατότητα να ανταλλάσσει πληροφορίες με άλλα αυτόνομα συστήματα ελέγχου ηλεκτρομηχανολογικών εγκαταστάσεων που θα έχουν δικτυακή επικοινωνία, όπως τα διάφορα συστήματα μέτρησης, το σύστημα πυρανίχνευσης και κατάσβεσης, το σύστημα ασφαλείας, το σύστημα παράλληλης λειτουργίας ψυκτών, το σύστημα ελέγχου φωτισμού κλπ. Η διασύνδεση, δηλαδή, η σύνδεση των συστημάτων αυτών με το δίκτυο του Συστήματος Ελέγχου και Χειρισμού Εγκαταστάσεων, θα γίνεται μέσω ηλεκτρονικών συσκευών μετάφρασης πρωτοκόλλων.

Τα πρωτόκολλα επικοινωνίας θα είναι τυποποιημένα, όπως :

BACNet - πρωτόκολλο επικοινωνίας καθιερωμένο από την ASHRAE, υιοθετημένο και υποστηριζόμενο από το ANSI (αριθμός τυποποίησης 135-1995, σύμφωνα με το CEN αποτελεί σχέδιο τυποποίησης ENV 1805-1 / 1997).

MODBus / JBus - τυποποιημένο πρωτόκολλο επικοινωνίας του ISA (Instrument Society of America) το οποίο αναπτύχθηκε για τις ανάγκες της ρομποτικής και της βιομηχανίας.

PROFIBus - τυποποιημένο πρωτόκολλο γερμανικής προέλευσης (EN 50170 Vol.2, σύμφωνα με το CEN αποτελεί σχέδιο τυποποίησης ENV 13321).

LONMark - ιδιόκτητο πρωτόκολλο ανεπτυγμένο από την εταιρεία Echelon Corporation με βάση τους νευρωνικούς μικροεπεξεργαστές (σύμφωνα με το CEN αποτελεί σχέδιο τυποποίησης ENV 13154-2).

EIB - τυποποιημένο πρωτόκολλο γερμανικής προέλευσης (DIN V VDE 0829, σύμφωνα με το CEN αποτελεί σχέδιο τυποποίησης ENV 13154-2).

4.7 Αρχιτεκτονική συστήματος ελέγχου και χειρισμού εγκαταστάσεων

Το σύστημα B.M.S. θα επιτηρεί ή και ελέγχει τα ακόλουθα σημεία.

| ΑΝΑΛΥΣΗ ΣΗΜΕΙΩΝ ΕΛΕΓΧΟΥ ΚΕΝΤΡΙΚΟΥ ΣΥΣΤΗΜΑΤΟΣ ΔΙΑΧΕΙΡΙΣΗΣ BMS | | | | | | | | | | | | |
|--|-----------------------------|----|---|-----------------------------------|-------|----|-----|-----|-------------------------------------|--------------------|--------------|--|
| | | | | | | | | | | | | |
| A/A | ΕΓΚΑΤΑΣΤΑΣΗ | | ΕΛΕΓΧΟΣ | ΠΕΡΙΓΡΑΦΗ ΕΛΕΓΧΟΜΕΝΟΥ ΣΗΜΕΙΟΥ | DI | DO | AIP | A/A | ΑΟ | ΠΕΡΙΦΕΡΕΙΑΚΑ | ΚΑΛΩΔΙΑ | |
| ΑΚΕ 1 - ΛΕΒΗΤΟΣΤΑΣΙΟ | | | | | | | | | | | | |
| 1 | ΕΣΩΤ. | 1 | ΜΕΤΡΗΣΗ ΘΕΡΜ/ΥΓΡΑΣΙΑΣ | ΕΞΩΤΕΡΙΚΕΣ ΣΥΝΘΗΚΕΣ | | | | 3 | | QFA3160+AQF3100 | Li YCY 4x1,5 | |
| 2 | ΣΥΝΘΗΚΕΣ | 2 | ΜΕΤΡΗΣΗ CO ₂ | | | | | 3 | | | Li YCY 4x1,5 | |
| 3 | ΕΞΩΤ. | 1 | ΜΕΤΡΗΣΗ ΘΕΡΜ/ΥΓΡΑΣΙΑΣ | ΕΞΩΤΕΡΙΚΕΣ ΣΥΝΘΗΚΕΣ | | | | 1 | | QFA3160+AQF3100 | Li YCY 4x1,5 | |
| 4 | ΣΥΝΘΗΚΕΣ 1 | 2 | ΕΝΔΕΙΞΗ ΚΑΤΑΣΤΑΣΗΣ | ΑΝΟΙΚΤΟ ΚΛΕΙΣΤΟ | 1 | | | | | ΒΟΗΘ. ΕΠΑΦΗ | H03VV-F2x1,5 | |
| 5 | | 1 | ΕΝΔΕΙΞΗ ΚΑΤΑΣΤΑΣΗΣ | ΑΝΤΛΙΑΣ ΘΕΡΜΟΤΗΤΑΣ | 1 | | | | | ΒΟΗΘ. ΕΠΑΦΗ | H03VV-F4x1,5 | |
| 6 | | 2 | ΕΝΔΕΙΞΗ ΒΛΑΒΗΣ | ΑΝΤΛΙΑΣ ΘΕΡΜΟΤΗΤΑΣ | 1 | | | | | ΒΟΗΘ. ΕΠΑΦΗ | H03VV-F2x1,5 | |
| 7 | | 3 | ΕΚΚΙΝΗΣΗ / ΣΤΑΣΗ | ΑΝΤΛΙΑΣ ΘΕΡΜΟΤΗΤΑΣ | | 1 | | | | ΒΟΗΘ. ΕΠΑΦΗ | H03VV-F2x1,5 | |
| 8 | | 4 | ΕΚΚΙΝΗΣΗ / ΣΤΑΣΗ | IN LINE ΑΝΤΛΙΑΣ Α.Θ CONDENSER | | 1 | | | | ΒΟΗΘ. ΕΠΑΦΗ | H03VV-F2x1,5 | |
| 9 | | 5 | ΕΝΔΕΙΞΗ ΛΕΙΤΟΥΡΓΙΑΣ | IN LINE ΑΝΤΛΙΑΣ Α.Θ CONDENSER | 1 | | | | | ΒΟΗΘ. ΕΠΑΦΗ | H03VV-F2x1,5 | |
| 10 | | 6 | ΕΝΔΕΙΞΗ ΒΛΑΒΗΣ | IN LINE ΑΝΤΛΙΑΣ Α.Θ CONDENSER | 1 | | | | | ΘΕΡΜΙΚΟ | H03VV-F2x1,5 | |
| 11 | | 7 | ΕΝΔΕΙΞΗ H-O-A | IN LINE ΑΝΤΛΙΑΣ Α.Θ CONDENSER | 1 | | | | | ΒΟΗΘ. ΕΠΑΦΗ | H03VV-F2x1,5 | |
| 12 | | 8 | ΕΠΙΒΕΒΑΙΩΣΗ ΛΕΙΤΟΥΡΓΙΑΣ | ΕΝΔΕΙΞΗ ΡΟΗΣ | 2 | | | | | QVE1901 / WNS-C102 | H03VV-F2x1,5 | |
| 13 | | 9 | ΕΚΚΙΝΗΣΗ / ΣΤΑΣΗ | IN LINE ΑΝΤΛΙΑΣ Α.Θ EVAPORATOR | | 1 | | | | ΒΟΗΘ. ΕΠΑΦΗ | H03VV-F2x1,5 | |
| 14 | | 10 | ΕΝΔΕΙΞΗ ΛΕΙΤΟΥΡΓΙΑΣ | IN LINE ΑΝΤΛΙΑΣ Α.Θ EVAPORATOR | 1 | | | | | ΒΟΗΘ. ΕΠΑΦΗ | H03VV-F2x1,5 | |
| 15 | | 11 | ΕΝΔΕΙΞΗ ΒΛΑΒΗΣ | IN LINE ΑΝΤΛΙΑΣ Α.Θ EVAPORATOR | 1 | | | | | ΘΕΡΜΙΚΟ | H03VV-F2x1,5 | |
| 16 | ΑΝΤΛΙΑ ΘΕΡΜΟΤΗΤΑΣ | 12 | ΕΝΔΕΙΞΗ H-O-A | IN LINE ΑΝΤΛΙΑΣ Α.Θ EVAPORATOR | 1 | | | | | ΒΟΗΘ. ΕΠΑΦΗ | H03VV-F2x1,5 | |
| 17 | | 13 | ΕΠΙΒΕΒΑΙΩΣΗ ΛΕΙΤΟΥΡΓΙΑΣ | ΕΝΔΕΙΞΗ ΡΟΗΣ | 2 | | | | | QVE1901 / WNS-C102 | H03VV-F2x1,5 | |
| 18 | | 14 | ΜΕΤΡΗΣΗ ΘΕΡΜΟΚΡΑΣΙΑΣ | ΠΡΟΣΑΓΩΓΗ | | | 6 | | | QAE2120.010 | Li YCY 2x1,5 | |
| 19 | | 15 | ΜΕΤΡΗΣΗ ΘΕΡΜΟΚΡΑΣΙΑΣ | ΕΠΙΣΤΡΟΦΗ ΨΥΚΤΗ | | | 6 | | | QAE2120.010 | Li YCY 2x1,5 | |
| 20 | | 16 | ΑΠΟΔΙΔΟΜΕΝΗ ΙΣΧΥΣ | ΑΝΤΛΙΑΣ ΘΕΡΜΟΤΗΤΑΣ | 1 INT | | | | ΕΞΟΔΟΣ CONTROLLER ΤΗΣ ΑΝΤΛΙΑΣ | Li YCY 2x4x1,5 | | |
| 21 | | 17 | ΚΑΤΑΝΑΛΙΣΚΟΜΕΝΗ ΙΣΧΥΣ | ΑΝΤΛΙΑΣ ΘΕΡΜΟΤΗΤΑΣ | 1 INT | | | | | | | |
| 22 | | 18 | ΜΕΤΡΗΣΗ ΑΠΟΔΙΔΟΜΕΝΗΣ ΕΝΕΡΓΕΙΑΣ ΣΤΗΝ ΨΥΞΗ | ΑΝΤΛΙΑΣ ΘΕΡΜΟΤΗΤΑΣ | 1 INT | | | | | | | |
| 23 | | 19 | ΜΕΤΡΗΣΗ ΑΠΟΔΙΔΟΜΕΝΗΣ ΕΝΕΡΓΕΙΑΣ ΣΤΗΝ ΘΕΡΜΑΝΣΗ | ΑΝΤΛΙΑΣ ΘΕΡΜΟΤΗΤΑΣ | 1 INT | | | | | | | |
| 24 | | 20 | ΑΝΟΙΓΜΑ ΚΛΕΙΣΙΜΟ | 3-ΟΔΕΣ Χ-Θ | | 4 | | | | ΚΙΝΗΤΗΡΑΣ ΒΑΝΑΣ | Li YCY 3x1,5 | |
| 25 | | 21 | ΕΝΔΕΙΞΗ ΘΕΣΗΣ | 3-ΟΔΕΣ Χ-Θ | 4 | | | | | ΚΙΝΗΤΗΡΑΣ ΒΑΝΑΣ | Li YCY 2x1,5 | |
| 26 | ΔΟΧΕΙΟ ΗΡΕΜΙΑΣ | 1 | ΜΕΤΡΗΣΗ ΘΕΡΜΟΚΡΑΣΙΑΣ | | | | 1 | | | QAE2120.010 | Li YCY 2x1,5 | |
| 27 | ΣΥΛΛΕΚΤΗΣ | 1 | ΜΕΤΡΗΣΗ ΘΕΡΜΟΚΡΑΣΙΑΣ | ΠΡΟΣΑΓΩΓΗ | | | 1 | | | QAE2120.010 | Li YCY 2x1,5 | |
| 28 | ΠΑΛΙΟΣ | 2 | ΜΕΤΡΗΣΗ ΘΕΡΜΟΚΡΑΣΙΑΣ | ΕΠΙΣΤΡΟΦΗ | | | 1 | | | QAE2120.010 | Li YCY 2x1,5 | |
| 29 | ΣΥΛΛΕΚΤΗΣ | 1 | ΜΕΤΡΗΣΗ ΘΕΡΜΟΚΡΑΣΙΑΣ | ΠΡΟΣΑΓΩΓΗ | | | 1 | | | QAE2120.010 | Li YCY 2x1,5 | |
| 30 | ΝΕΟΣ | 2 | ΜΕΤΡΗΣΗ ΠΙΕΣΗΣ | ΠΡΟΣΑΓΩΓΗ | | | 1 | | | QAE2120.010 | Li YCY 2x1,5 | |
| 31 | ΤΡΙΟΔΗ ΣΤΗΝ ΔΙΑΝΟΜΗ | 1 | ΑΝΟΙΓΜΑ ΚΛΕΙΣΙΜΟ | 3-ΟΔΕΣ Χ-Θ | | 1 | | | | ΚΙΝΗΤΗΡΑΣ ΒΑΝΑΣ | Li YCY 3x1,5 | |
| 32 | | 2 | ΕΝΔΕΙΞΗ ΘΕΣΗΣ | 3-ΟΔΕΣ Χ-Θ | 1 | | | | | ΚΙΝΗΤΗΡΑΣ ΒΑΝΑΣ | Li YCY 2x1,5 | |
| 33 | ΑΝΤΛΕΣ IN LINE ΑΠΟ ΝΕΟ | 1 | ΕΚΚΙΝΗΣΗ / ΣΤΑΣΗ | ΑΝΤΛΙΑ | | 2 | | | | ΒΟΗΘ. ΕΠΑΦΗ | H03VV-F2x1,5 | |
| 34 | ΣΥΛΛΕΚΤΗ ΠΡΟΣ ΔΟΧΕΙΟ | 2 | ΕΝΔΕΙΞΗ ΒΛΑΒΗΣ | ΘΕΡΜΙΚΟ ΑΝΤΛΙΑΣ | 2 | | | | | ΘΕΡΜΙΚΟ | H03VV-F2x1,5 | |
| 35 | | 3 | ΕΠΙΒΕΒΑΙΩΣΗ ΛΕΙΤΟΥΡΓΙΑΣ | ΕΝΔΕΙΞΗ ΡΟΗΣ | 2 | | | | | QVE1901 / WNS-C102 | H03VV-F2x1,5 | |
| 36 | | 4 | ΕΝΔΕΙΞΗ H-O-A | ΑΝΤΛΙΑ | 2 | | | | | ΒΟΗΘ. ΕΠΑΦΗ | H03VV-F2x1,5 | |
| 37 | ΑΝΤΛΑ IN LINE ΑΠΟ ΠΑΛΙΟ | 1 | ΕΚΚΙΝΗΣΗ / ΣΤΑΣΗ | ΑΝΤΛΙΑ | | 1 | | | | ΒΟΗΘ. ΕΠΑΦΗ | H03VV-F2x1,5 | |
| 38 | ΣΥΛΛΕΚΤΗ ΠΡΟΣ ΔΟΧΕΙΟ | 2 | ΕΝΔΕΙΞΗ ΒΛΑΒΗΣ | ΘΕΡΜΙΚΟ ΑΝΤΛΙΑΣ | 1 | | | | | ΘΕΡΜΙΚΟ | H03VV-F2x1,5 | |
| 39 | | 3 | ΕΠΙΒΕΒΑΙΩΣΗ ΛΕΙΤΟΥΡΓΙΑΣ | ΕΝΔΕΙΞΗ ΡΟΗΣ | 1 | | | | | QVE1901 / WNS-C102 | H03VV-F2x1,5 | |
| 40 | ΑΔΡΑΝΕΙΑΣ | 4 | ΕΝΔΕΙΞΗ H-O-A | ΑΝΤΛΙΑ | 1 | | | | | ΒΟΗΘ. ΕΠΑΦΗ | H03VV-F2x1,5 | |
| 41 | ΑΝΤΛΕΣ IN LINE ΑΠΟ ΠΑΛΙΟ | 1 | ΕΚΚΙΝΗΣΗ / ΣΤΑΣΗ | ΑΝΤΛΙΑ | | 5 | | | | ΒΟΗΘ. ΕΠΑΦΗ | H03VV-F2x1,5 | |
| 42 | ΣΥΛΛΕΚΤΗ | 2 | ΕΝΔΕΙΞΗ ΒΛΑΒΗΣ | ΘΕΡΜΙΚΟ ΑΝΤΛΙΑΣ | 5 | | | | | ΘΕΡΜΙΚΟ | H03VV-F2x1,5 | |
| 43 | | 3 | ΕΝΔΕΙΞΗ H-O-A | ΑΝΤΛΙΑ | 5 | | | | | ΒΟΗΘ. ΕΠΑΦΗ | H03VV-F2x1,5 | |
| 44 | | | ΕΝΔΕΙΞΗ ΚΑΤΑΣΤΑΣΗΣ | ΑΝΟΙΚΤΟ ΚΛΕΙΣΤΟ | 2 | | | | | ΒΟΗΘ. ΕΠΑΦΗ | H03VV-F6x1,5 | |
| 45 | | | ΕΝΔΕΙΞΗ ΚΑΤΑΣΤΑΣΗΣ | ΑΝΟΙΚΤΟ ΚΛΕΙΣΤΟ ΔΙΑΚ. | 1 | | | | | ΒΟΗΘ. ΕΠΑΦΗ | | |
| 46 | | | ΜΕΤΡΗΣΗ ΡΕΥΜΑΤΟΣ | ΑΝΑ ΦΑΣΗ | 1 INT | | | | ΠΟΛΥΟΡΓΑΝΟ ΗΛΕΚΤΡΙΚΩΝ ΜΕΓΕΘΩΝ | Li YCY 4x1,5 | | |
| 47 | | | ΜΕΤΡΗΣΗ ΤΑΣΗΣ | ΑΝΑ ΦΑΣΗ | 1 INT | | | | | | | |
| 48 | | | ΜΕΤΡΗΣΗ ΣΥΧΝΟΤΗΤΑΣ | | 1 INT | | | | | | | |
| 49 | | | ΕΝΔΕΙΞΗ COSΦ | | 1 INT | | | | | | | |
| 50 | | | ΕΝΔΕΙΞΗ ΕΝΕΡΓΕΙΑΣ | | 1 INT | | | | | | | |
| 51 | | | ΕΝΔΕΙΞΗ ΙΣΧΥΟΣ | | 1 INT | | | | | | | |
| 52 | | 1 | ΕΚΚΙΝΗΣΗ / ΣΤΑΣΗ | ΛΕΒΗΤΑΣ | | 1 | | | | ΒΟΗΘ. ΕΠΑΦΗ | H03VV-F2x1,5 | |
| 53 | | 2 | ΕΝΔΕΙΞΗ ΒΛΑΒΗΣ | ΛΕΒΗΤΑΣ | 1 | | | | | ΒΟΗΘ. ΕΠΑΦΗ | H03VV-F2x1,5 | |
| 54 | | 3 | ΕΝΔΕΙΞΗ ΛΕΙΤΟΥΡΓΙΑΣ | ΛΕΒΗΤΑΣ | 1 | | | | | ΒΟΗΘ. ΕΠΑΦΗ | H03VV-F2x1,5 | |
| 55 | | 4 | ΕΠΙΒΕΒΑΙΩΣΗ ΛΕΙΤΟΥΡΓΙΑΣ | ΕΝΔΕΙΞΗ ΡΟΗΣ | 1 | | | | | QVE1901 | H03VV-F2x1,5 | |
| 56 | ΛΕΒΗΤΑΣ | 5 | ΠΑΡΟΧΗ ΚΑΥΣΙΜΟΥ | ΚΑΥΣΤΗΡΑΣ | 1 | | | | | ΒΟΗΘ. ΕΠΑΦΗ | H03VV-F2x1,5 | |
| 57 | | 6 | ΜΕΤΡΗΣΗ ΘΕΡΜΟΚΡΑΣΙΑΣ | ΠΡΟΣΑΓΩΓΗ ΣΤΟΥΣ ΛΕΒΗΤΕΣ | | | 1 | | | QAE2120.010 | Li YCY 2x1,5 | |
| 58 | | 7 | ΜΕΤΡΗΣΗ ΘΕΡΜΟΚΡΑΣΙΑΣ | ΕΠΙΣΤΡΟΦΗΣ ΑΠΟ ΛΕΒΗΤΕΣ | | | 1 | | | QAE2120.010 | Li YCY 2x1,5 | |

| ΑΝΑΛΥΣΗ ΣΗΜΕΙΩΝ ΕΛΕΓΧΟΥ ΚΕΝΤΡΙΚΟΥ ΣΥΣΤΗΜΑΤΟΣ ΔΙΑΧΕΙΡΙΣΗΣ BMS | | | | | | | | | | | |
|--|------------------|---|--|-------------------------------|----|----|-----|-----|-------|--------------------------------|----------------|
| A/A | ΕΓΚΑΤΑΣΤΑΣΗ | | ΕΛΕΓΧΟΣ | ΠΕΡΙΓΡΑΦΗ ΕΛΕΓΧΟΜΕΝΟΥ ΣΗΜΕΙΟΥ | DI | DO | AIP | AIA | AO | ΠΕΡΙΦΕΡΕΙΑΚΑ | ΚΑΛΩΔΙΑ |
| ΑΚΕ 2 - ΧΩΡΟΣ Γ.Π.Χ.Τ. | | | | | | | | | | | |
| 59 | Γ.Π.Χ.Τ | | ΕΝΔΕΙΞΗ ΚΑΤΑΣΤΑΣΗΣ | ΑΝΟΙΚΤΟ ΚΛΕΙΣΤΟ | 2 | | | | | ΒΟΗΘ. ΕΠΑΦΗ | H03VV-F6x1,5 |
| 60 | | | ΕΝΔΕΙΞΗ ΚΑΤΑΣΤΑΣΗΣ | ΑΝΟΙΚΤΟ ΚΛΕΙΣΤΟ ΔΙΑΚ. | 1 | | | | | ΒΟΗΘ. ΕΠΑΦΗ | |
| 61 | | | ΜΕΤΡΗΣΗ ΡΕΥΜΑΤΟΣ | ΑΝΑ ΦΑΣΗ | | | | | 1 INT | ΠΟΛΥΟΡΓΑΝΟ ΗΛΕΚΤΡΙΚΩΝ ΜΕΓΕΘΩΝ | Li YCY 4x1,5 |
| 62 | | | ΜΕΤΡΗΣΗ ΤΑΣΗΣ | ΑΝΑ ΦΑΣΗ | | | | | 1 INT | | |
| 63 | | | ΜΕΤΡΗΣΗ ΣΥΧΝΟΤΗΤΑΣ | | | | | | 1 INT | | |
| 64 | | | ΕΝΔΕΙΞΗ COSΦ | | | | | | 1 INT | | |
| 65 | | | ΕΝΔΕΙΞΗ ΕΝΕΡΓΕΙΑΣ | | | | | | 1 INT | | |
| 66 | | | ΕΝΔΕΙΞΗ ΙΣΧΥΟΣ | | | | | | 1 INT | | |
| 67 | ΕΞΩΤ. ΣΥΝΘΗΚΕΣ 2 | 1 | ΗΛΙΑΚΗ ΑΚΤΙΝΟΒΟΛΙΑ | ΕΞΩΤΕΡΙΚΕΣ ΣΥΝΘΗΚΕΣ | | | | | 1 | | Li YCY 4x1,5 |
| 68 | | 2 | ΤΑΧΥΤΗΤΑ/ ΔΙΕΥΘΥΝΣΗ ΑΝΕΜΩΝ | ΕΞΩΤΕΡΙΚΕΣ ΣΥΝΘΗΚΕΣ | | | | | 1 | | Li YCY 4x1,5 |
| 69 | ΕΞΩΤ. ΣΥΝΘΗΚΕΣ 3 | 1 | ΜΕΤΡΗΣΗ ΘΕΡΜ/ΥΓΡΑΣΙΑΣ | ΕΞΩΤΕΡΙΚΕΣ ΣΥΝΘΗΚΕΣ | | | | | 1 | QFA3160+AQF3100 | Li YCY 4x1,5 |
| 70 | | 2 | ΕΝΔΕΙΞΗ ΚΑΤΑΣΤΑΣΗΣ | ΑΝΟΙΚΤΟ ΚΛΕΙΣΤΟ | 1 | | | | | ΒΟΗΘ. ΕΠΑΦΗ | H03VV-F2x1,5 |
| 71 | Φ/Β | | ΕΝΔΕΙΞΕΙΣ ΠΑΡΑΓΩΓΗΣ (ΑΠΟΔΙΔΟΜΕΝΗ ΕΝΕΡΓΕΙΑ κλπ) | INVERTER Φ/Β | | | | | 1 INT | ΕΞΟΔΟΣ CONTROLLER ΤΟΥ INVERTER | Li YCY 2x4x1,5 |

* Οι τύποι των αισθητηρίων στην στήλη περιφερειακά είναι τύπου Siemens ή ισοδυνάμου

4.7.1 Περιγραφή λειτουργίας ενδεικτικών η/μ εγκαταστάσεων

Λέβητες

Η εκκίνηση και η παύση των λεβήτων θα γίνεται αυτόματα σύμφωνα με το χρονοπρόγραμμα που θα ορισθεί, ή χειροκίνητα, κατόπιν ενεργοποίησης από τον χειριστή της αντίστοιχης επιλογής από το Κέντρο Διαχείρισης. Σε περίπτωση βλάβης του λέβητα (από το θερμικό του λέβητα) θα εμφανίζεται μήνυμα συναγερμού στο Κεντρικό Σύστημα Ελέγχου. Θα γίνεται επιτήρηση της θερμοκρασίας προσαγωγής και επιστροφής των λεβήτων καθώς και των συλλεκτών, μέσω των αισθητηρίων θερμοκρασίας εμβαπτίσεως. Στους συλλέκτες προσαγωγής και επιστροφής θα μετράται και η πίεση μέσω του εμβαπτιζόμενου αισθητηρίου απόλυτης πίεσης. Επίσης, θα γίνεται ένδειξη των κρίσιμων σταθμών των δεξαμενών καυσίμου που θα συνοδεύονται από τα αντίστοιχα συναγερμού στο Κεντρικό Διαχείρισης.

Αντλία θερμότητας

Η εκκίνηση και η παύση της ΑΘ θα γίνεται αυτόματα σύμφωνα με το χρονοπρόγραμμα που θα ορισθεί, ή χειροκίνητα, κατόπιν ενεργοποίησης από τον χειριστή της αντίστοιχης επιλογής από το Κέντρο Διαχείρισης. Σε περίπτωση βλάβης του ψύκτη θα εμφανίζεται μήνυμα συναγερμού στο Κεντρικό Σύστημα Ελέγχου. Επίσης, θα γίνεται επιτήρηση της θερμοκρασίας προσαγωγής και επιστροφής.

Αντλίες κυκλοφορίας νερού

Η εκκίνηση και η παύση των αντλιών όλης της εγκατάστασης θα γίνεται αυτόματα σύμφωνα με το χρονοπρόγραμμα που θα ορισθεί, ή χειροκίνητα, κατόπιν ενεργοποίησης από τον χειριστή της αντίστοιχης επιλογής από το Κέντρο Διαχείρισης. Σε περίπτωση βλάβης των αντλιών θα εμφανίζεται μήνυμα συναγερμού στο Κεντρικό Σύστημα Ελέγχου. Επίσης, θα γίνεται επιβεβαίωση της λειτουργίας τους.

Γενικός Πίνακας Χαμηλής Τάσης (Γ.Π.Χ.Τ)

Στον πίνακα χαμηλής τάσης θα γίνεται μέτρηση των ηλεκτρικών μεγεθών (μέτρηση τάσης, έντασης, συνημίτονου, ισχύος) και επίβλεψη των τιμών τους.

4.8 Περιφερειακά όργανα ελέγχου

4.8.1 Αισθητήριο θερμοκρασίας εμβάπτισης

Το αισθητήριο διαθέτει την κατάλληλη θήκη για την εμβάπτιση σε σωλήνα.

Τα ηλεκτρονικά στοιχεία και οι ακροδέκτες είναι σε κιβώτιο με βαθμό προστασίας IP54.

Το στέλεχος του αισθητηρίου είναι μία θερμοαντίσταση. Το εύρος του είναι : -10...125 °C, η δε επιτρεπόμενη απόκλιση του αισθητηρίου είναι $\pm 1\%$.

Ενδεικτικός Τύπος : SIEMENS QAE21... ή ισοδυνάμου.

4.8.2 Αισθητήριο πίεσης υγρών

Για την μέτρηση της πίεσης των υγρών θα χρησιμοποιηθούν αναλογικά αισθητήρια πιέσεως, τα οποία είναι κατάλληλα για τοποθέτηση σε σωλήνα.

Δέχονται τροφοδοσία 24VAC και δίνουν έξοδο 0...10VDC για σύνδεσή τους στο κεντρικό σύστημα ελέγχου.

Η περιοχή μέτρησής τους είναι:

0...100kPa

ή 0...500kPa

ή 0...1Mpa έως και 0..4Mpa.

Η δε ακρίβειά τους είναι της τάξεως του 0,5% της κλίμακας.

Τύπος: SIEMENS QBE2002-P... (1 η 10 κλπ) ή ισοδυνάμου.

4.8.3 αισθητήριο ποιότητας αέρα

Τα ηλεκτρονικά στοιχεία και οι ακροδέκτες θα είναι σε κιβώτιο με βαθμό προστασίας IP54.

Το αισθητήριο τροφοδοτείται με 24Vac και η έξοδός του είναι 0-10Vdc, ανάλογα με την καθαρότητα του μετρούμενου αέρα.

4.8.4 αισθητήριο θερμοκρασίας - υγρασίας

Τα ηλεκτρονικά στοιχεία και οι ακροδέκτες είναι σε κιβώτιο με βαθμό προστασίας IP54.

Το αισθητήριο τροφοδοτείται με 24VAC και έχει σήμα εξόδου 0-10VDC, ανάλογα με το μέγεθος της μετρούμενης θερμοκρασίας και υγρασίας του αέρα.

4.8.5 Διακόπτης ροής υγρών

Για την επιτήρηση λειτουργίας των κυκλοφορητών, αντλιών της εν λόγω εγκατάστασης θα χρησιμοποιηθούν διακόπτες ροής οι οποίοι είναι κατάλληλοι για τοποθέτηση σε σωλήνα DN32...DN200 (σύνδεση 1”), διαθέτουν δε γλωσίδιο με την απαραίτητη ευαισθησία για την ανίχνευση ροής. Το γλωσίδιο είναι κατασκευασμένο από υλικό κατάλληλο για την χρήση.

Διαθέτουν μία μεταγωγική επαφή (SPDT) για την σύνδεσή τους στο κεντρικό σύστημα

ελέγχου.

Ενδεικτικός Τύπος: QVE1900 ή ισοδυνάμου

4.8.6 Βαλβίδες ελέγχου

Οι βαλβίδες είναι τύπου έδρας. Το σώμα των βαλβίδων είναι gun metal ή από χυτοσίδηρο, ενώ το εσωτερικό τους από χρώμιο, νικέλιο και ατσάλι.

Οι βαλβίδες διαμέτρου μέχρι και 1+1/2" ίντσες είναι κοχλιωτής σύνδεσης, ενώ οι βαλβίδες διαμέτρου από 2" ίντσες και πάνω, είναι φλαντζωτής σύνδεσης. Η μέγιστη πίεση των βαλβίδων θα είναι PN10.

Οι κινητήρες των βαλβίδων είναι προοδευτικής λειτουργίας με τάση λειτουργίας 24VAC, και σήμα ελέγχου 0...10VDC.

Ενδεικτικός Τύπος: SIEMENS VXG44.../ SQS6... - VXF31.../SQX6...ή ισοδυνάμου

4.9 Όδευση καλωδίων

Η όδευση όλων των καλωδίων θα γίνεται εντός ευθύγραμμων πλαστικών σωλήνων βαρέως τύπου. Οι καλωδιώσεις και οι σωληνώσεις του δικτύου BMS θα είναι σύμφωνες με τα πρότυπα

ΕΛΟΤ ΤΠ 1501-04-20-01-01 «Χαλύβδινες σωληνώσεις ηλεκτρικών εγκαταστάσεων»

ΕΛΟΤ ΤΠ 1501-04-20-01-02 «Πλαστικές σωληνώσεις ηλεκτρικών εγκαταστάσεων»

ΕΛΟΤ ΤΠ 1501-04-20-01-03 «Εσχάρες και σκάλες καλωδίων»

ΕΛΟΤ ΤΠ 1501-04-20-02-01 «Αγωγοί - καλώδια διανομής ενέργειας»

5. Ανεμιστήρες οροφής

Ανεμιστήρας οροφής σε λευκό χρώμα, με κινητήρα εξωτερικού δρομέα προσδίδοντας μεγαλύτερη ισχύ σε χαμηλότερες ταχύτητες περιστροφής, ιδιαίτερα χαμηλού θορύβου λειτουργίας. Ο ανεμιστήρας θα ακολουθεί τα ευρωπαϊκά πρότυπα όπως το EN6035-2-80.

Στον πίνακα 8 δίνονται τα χαρακτηριστικά των ανεμιστήρων οροφής (διάμετρος και παροχή) για κάθε έναν από τους εξυπηρετούμενους χώρους. Η ηλεκτρική απορροφούμενη ισχύς ανά ανεμιστήρα δεν θα ξεπερνάει τα 100W.

Οι ανεμιστήρες θα τροφοδοτηθούν με νέες γραμμές με καλώδια H05VV3G2.5 τα οποία θα εκκινούν από νέους μικροαυτόματους των 16Α τοποθετημένους στον γενικό πίνακα. Η όδευση των καλωδίων θα γίνει στην οροφή εντός ευθύγραμμων πλαστικών σωλήνων βαρέως τύπου. Για τα κατακόρυφα τμήματα που χρησιμοποιούνται για την διέλευση από όροφο σε όροφο θα χρησιμοποιηθούν χαλύβδινες σωλήνες ηλεκτρικών γραμμών. Οι ανεμιστήρες θα ανάβουν με κατάλληλο χειριστήριο σύμφωνα με τις προδιαγραφές του κατασκευαστή ανεμιστήρων. Η γραμμή από την οροφή μέχρι και τον διακόπτη θα είναι χωνευτή στον τοίχο και εντός πλαστικού σπιράλ σωλήνα. Το τμήμα κατά το οποίο θα γίνει χωνευτή εγκατάσταση θα αποκατασταθεί πλήρως.

Οι καλωδιώσεις και οι σωληνώσεις θα είναι σύμφωνες με τα πρότυπα

ΕΛΟΤ ΤΠ 1501-04-20-01-01 «Χαλύβδινες σωληνώσεις ηλεκτρικών εγκαταστάσεων»

ΕΛΟΤ ΤΠ 1501-04-20-01-02 «Πλαστικές σωληνώσεις ηλεκτρικών εγκαταστάσεων»

ΕΛΟΤ ΤΠ 1501-04-20-02-01 «Αγωγοί - καλώδια διανομής ενέργειας»

Πίνακας 8. χαρακτηριστικά των ανεμιστήρων οροφής (διάμετρος και παροχή) ανά χώρο εγκατάστασης

| | | | | | Λρ. ανεμ | εμβαδό/ ανεμιστήρα | διάμετρος ανεμιστήρα cm | Παροχή αέρα m ³ /h |
|-----------|---------------------------|-------|------|---------|----------|-----------------------|-------------------------------|----------------------------------|
| ΙΣΟΓΕΙΟ | Γραμатеia | 5,5 | 2,7 | 14,85 | 1 | 14,85 | 132 | 13000 |
| | Ξένη γλώσσα 1 | 7,9 | 4,6 | 36,34 | 2 | 18,17 | 137 | 13000 |
| | Ξένη γλώσσα 2 | 7,9 | 4,85 | 38,315 | 2 | 19,1575 | 137 | 13000 |
| | Βιβλιοθήκη | 11,15 | 7,8 | 86,97 | 5 | 17,394 | 132 | 13000 |
| | Εργαστήριο Χημείας | 11,55 | 8,65 | 99,9075 | 4 | 24,976875 | 147 | 14000 |
| | Αίθουσα αισθητικής αγωγής | 11,8 | 4,05 | 47,79 | 2 | 23,895 | 137 | 13000 |
| | Ξένη γλώσσα 3 | 6,05 | 4,15 | 25,1075 | 1 | 25,1075 | 147 | 14000 |
| | Αίθουσα γυμνασίου 12 | 7,85 | 4,75 | 37,2875 | 2 | 18,64375 | 137 | 13000 |
| | Αίθουσα γυμνασίου 11 | 9,15 | 4,25 | 38,8875 | 2 | 19,44375 | 137 | 13000 |
| | Αίθουσα γυμνασίου 10 | 9,15 | 4,1 | 37,515 | 2 | 18,7575 | 137 | 13000 |
| | | | | | | | | |
| Α' ΟΡΟΦΟΣ | | | | | Λρ. ανεμ | εμβαδό/ ανεμιστήρα | διάμετρος ανεμιστήρα cm | Παροχή αέρα m ³ /h |
| | Εργαστήριο καλλιτεχνικών | 8,6 | 8,8 | 75,68 | 4 | 18,92 | 137 | 13000 |
| | Γραφείο καθηγητών | 8,5 | 8,75 | 74,375 | 4 | 18,59375 | 137 | 13000 |
| | Γυμναστήραης | 6,45 | 2,8 | 18,06 | 1 | 18,06 | 137 | 13000 |
| | Γραμатеia | 6,45 | 3,62 | 23,349 | 1 | 23,349 | 137 | 13000 |
| | Αίθουσα γυμνασίου 2 | 6,25 | 6,45 | 40,3125 | 2 | 20,15625 | 137 | 13000 |
| | Αίθουσα γυμνασίου 3 | 6,45 | 6,35 | 40,9575 | 2 | 20,47875 | 137 | 13000 |
| | Εργαστήριο Η/Υ | 9,15 | 4,85 | 44,3775 | 2 | 22,18875 | 137 | 13000 |
| | Εργαστήριο Η/Υ | 7,4 | 4,1 | 30,34 | 1 | 30,34 | 157 | 14000 |
| | Αίθουσα γυμνασίου 4 | 8,75 | 4,2 | 36,75 | 2 | 18,375 | 137 | 16000 |
| | Αίθουσα γυμνασίου 5 | 6,35 | 6,7 | 42,545 | 2 | 21,2725 | 137 | 13000 |
| | Αίθουσα γυμνασίου 6 | 6,5 | 6,7 | 43,55 | 2 | 21,775 | 137 | 13000 |
| | Αίθουσα γυμνασίου 7 | 7,15 | 6,2 | 44,33 | 2 | 22,165 | 137 | 13000 |
| | Αίθουσα γυμνασίου 8 | 6,9 | 6,2 | 42,78 | 2 | 21,39 | 137 | 13000 |
| | Αίθουσα γυμνασίου 9 | 9,8 | 4,85 | 47,53 | 2 | 23,765 | 137 | 13000 |
| | | | | | | | | |
| Β' ΟΡΟΦΟΣ | | | | | Λρ. ανεμ | εμβαδό/ ανεμιστήρα | διάμετρος ανεμιστήρα cm | Παροχή αέρα m ³ /h |
| | Εργαστήριο τεχνικών | 8,6 | 8,8 | 75,68 | 4 | 18,92 | 137 | 13000 |
| | Γραφείο καθηγητών | 8,5 | 8,65 | 73,525 | 4 | 18,38125 | 137 | 13000 |
| | Λυκιάραης | 7,04 | 6,35 | 44,704 | 2 | 22,352 | 137 | 13000 |
| | Αίθουσα λυκείου 2 | 6,25 | 6,45 | 40,3125 | 2 | 20,15625 | 137 | 13000 |
| | Αίθουσα λυκείου 3 | 7,35 | 6,35 | 46,6725 | 2 | 23,33625 | 137 | 13000 |
| | Εργαστήριο Η/Υ | 9,15 | 6,25 | 57,1875 | 2 | 28,59375 | 157 | 14000 |
| | Αίθουσα λυκείου 4 | 6,7 | 6,03 | 40,401 | 2 | 20,2005 | 137 | 13000 |
| | Αίθουσα λυκείου 5 | 6,7 | 6,7 | 44,89 | 2 | 22,445 | 137 | 13000 |
| | Αίθουσα λυκείου 6 | 6,7 | 6,33 | 42,411 | 2 | 21,2055 | 137 | 13000 |
| | Αίθουσα λυκείου 7 | 6,2 | 5,95 | 36,89 | 2 | 18,445 | 137 | 13000 |
| | Αίθουσα λυκείου 8 | 7,71 | 5,95 | 45,8745 | 2 | 22,93725 | 137 | 13000 |
| | Αίθουσα λυκείου 9 | 10,34 | 4,75 | 49,115 | 2 | 24,5575 | 147 | 14000 |
| | | | | | | | | |

6. Αντικατάσταση λέβητα πετρελαίου

6.1 Έλεγχος υπερδιαστασιολόγησης

Για την αντικατάσταση του λέβητα το πρώτο πράγμα που ελέγχθηκε και έχει ιδιαίτερη σημασία ενεργειακά είναι κατά πόσο υπερβαίνει σε ισχύ τις πραγματικές απαιτήσεις του κτιρίου.

Ο έλεγχος έγινε λαμβάνοντας υπόψη

α) τις απώλειες του κτιρίου

β) την μέγιστη δυνατή αποδιδόμενη ισχύ από τα εγκατεστημένα θερμοαντικά σώματα.

6.2 Απώλειες κτιρίου

Αρχικά υπολογίστηκαν οι απώλειες του κτιρίου σύμφωνα με τον EN12831 και το αναλυτικό φύλλο υπολογισμών δίνεται στο αντίστοιχο τεύχος.

Για τον υπολογισμό ελήφθησαν οι παρακάτω συνθήκες:

| Οι συνθήκες υπολογισμού: | | |
|---|-----------|--------|
| Ελάχιστη εξωτερική θερμοκρασία | | -5°C |
| Εσωτερική θερμοκρασία | | 20°C |
| Ετήσια μέση εξωτερική θερμοκρασία | | 15,6°C |
| Θερμοκρασία εδάφους | | 10°C |
| Θερμοκρασία μη θερμενόμενων χώρων | | 10°C |
| Ελάχιστος αριθμός εναλλαγών ανά ώρα (για λόγους υγιεινής ανεξάρτητα από την παρουσία ή μη μηχανικού αερισμού) | Αίθουσες | 2 |
| | Γραφεία | 1 |
| | Διάδρομοι | 0,5 |
| Συντελεστής Επαναθέρμανση f_{RH} | | 23 |

Ενώ για τα δομικά στοιχεία και τα ανοίγματα ελήφθησαν οι συντελεστές θερμοπερατότητας του πίνακα που ακολουθεί

| | U (W/m ² K) |
|-------------------------------|---------------------------|
| Εξωτερικές τοιχοποιίες | 2,2 |
| Εξωτερικά δοκάρια και κωλώνες | 3,4 |
| Οροφές | 0,4 |
| Δάπεδα | 3,1 |
| Ανοίγματα διπλά | 4,5 |

*Σημειώνεται ότι οι οροφή του κτιρίου θα μονωθεί με πλάκες υδροφοβισμένου ορυκτοβάμβακα 8,5cm.

Από τους υπολογισμούς προέκυψε ότι για το σύνολο του κτιρίου οι ανάγκες ανέρχονται σε 318kW. Αφαιρώντας τους χώρους που εξυπηρετούνται από την γεωθερμική αντλία (58kW) οι ανάγκες περιορίστηκαν στα 260kW.

6.3 Μέγιστη δυνατή αποδιδόμενη ισχύ από τα εγκατεστημένα θερμαντικά σώματα

Οι τύποι των εγκατεστημένων σωμάτων φαίνονται στα σχέδια της μελέτης. Στον πίνακα 1 δίδονται οι θερμοκρασίες ονομαστικής απόδοσης των θερμαντικών σωμάτων και στον πίνακα 2 οι συνήθεις θερμοκρασίες σχεδιασμού και λειτουργίας των λεβητών για τέτοιου τύπου εγκατάσταση και για τον χρόνο κατά τον οποίο εκπονήθηκε η μελέτη.

Πίνακας 1 θερμοκρασίες ονομαστικής απόδοσης των θερμαντικών σωμάτων

| | | |
|------------------------|------------|----|
| θερμοκρασία προσαγωγής | t_v | 90 |
| θερμοκρασία επιστροφής | t_R | 70 |
| Θερμοκρασία χώρου | t_L | 20 |
| | Δt | 60 |

Πίνακας 2. συνήθεις θερμοκρασίες σχεδιασμού

| | | |
|------------------------|------------|------|
| θερμοκρασία προσαγωγής | t_v | 80 |
| θερμοκρασία επιστροφής | t_R | 65 |
| θερμοκρασία χώρου | t_L | 20 |
| | Δt | 52,5 |

Στον πίνακα 3 δίνονται ανά χώρο, το εμβαδό, οι απαιτήσεις όπως προκύψαν από την μελέτη απωλειών, το πλήθος των εγκατεστημένων σωμάτων, ο τύπος αυτών, η ονομαστική τους ισχύς, και η τελική τους απόδοση για θερμοκρασίες σχεδιασμού του πίνακα 2.

Πίνακας 3. Ισχύς θερμαντικών σωμάτων ανά χώρο

| όροφος | Χώρος | Εμβαδό | Ισχύς από απώλειες | Σώματα | | | | | | Ισχύς ονομαστική σωμάτων στον χώρο (W) | $Q_{\Delta t} = Q_{60} / [(60/\Delta t)^{1.3}]$ | | Ισχύς σωμάτων (W) |
|----------|---------------------------|--------|--------------------|--------|--------|----------------|-------|--------|-----------------|--|---|-----------------|-------------------|
| | | | | πλήθος | Στήλες | ύψος (αξονικό) | φέτες | W/φέτα | q ₆₀ | | Δt | q _{Δt} | |
| Β όροφος | Αιθ. Λυκείου 2 | 32 | 5080 | 3 | III | 655 | 23 | 116,3 | 2674,9 | 8024,7 | 52,5 | 2248,63 | 6.745,89 |
| | Αιθ. Λυκείου 3 | 47 | 7154 | 3 | III | 655 | 24 | 116,3 | 2791,2 | 8373,6 | 52,5 | 2346,397 | 7.039,19 |
| | Αιθ. Λυκείου 4 | 40 | 5568 | 3 | III | 655 | 21 | 116,3 | 2442,3 | 7326,9 | 52,5 | 2053,097 | 6.159,29 |
| | Αιθ. Λυκείου 5 | 45 | 6250 | 3 | III | 655 | 21 | 116,3 | 2442,3 | 7326,9 | 52,5 | 2053,097 | 6.159,29 |
| | Αιθ. Λυκείου 6 | 42 | 7427 | 3 | III | 655 | 24 | 116,3 | 2791,2 | 8373,6 | 52,5 | 2346,397 | 7.039,19 |
| | Αιθ. Λυκείου 7 | 37 | 5690 | 3 | III | 655 | 23 | 116,3 | 2674,9 | 8024,7 | 52,5 | 2248,63 | 6.745,89 |
| | Αιθ. Λυκείου 8 | 46 | 5740 | 3 | III | 655 | 23 | 116,3 | 2674,9 | 8024,7 | 52,5 | 2248,63 | 6.745,89 |
| | Αιθ. Λυκείου 9 | 49 | 9664 | 5 | III | 655 | 19 | 116,3 | 2209,7 | 11048,5 | 52,5 | 1857,564 | 9.287,82 |
| | Διάδρομος | 167 | 24752 | 9 | III | 655 | 24 | 116,3 | 2791,2 | 25120,8 | 52,5 | 2346,397 | 21.117,57 |
| | Εργαστήριο τεχνικών | 75 | 9469 | 5 | III | 655 | 24 | 116,3 | 2791,2 | 13956 | 52,5 | 2346,397 | 11.731,98 |
| | | 580 | 86794 | | | | | | | 105600,4 | | | 88.772,01 |
| Α όροφος | Αιθ. Γυμνασίου 2 | 40 | 5127 | 3 | III | 655 | 20 | 116,3 | 2326 | 6978 | 52,5 | 1955,331 | 5.865,99 |
| | Αιθ. Γυμνασίου 3 | 41 | 5270 | 3 | III | 655 | 22 | 116,3 | 2558,6 | 7675,8 | 52,5 | 2150,864 | 6.452,59 |
| | Αιθ. Γυμνασίου | 30 | 3977 | 2 | III | 505 | 22 | 93,04 | 2046,88 | 4093,76 | 52,5 | 1720,691 | 3.441,38 |
| | Αιθ. Γυμνασίου 4 | 37 | 4538 | 2 | III | 655 | 22 | 116,3 | 2558,6 | 5117,2 | 52,5 | 2150,864 | 4.301,73 |
| | Αιθ. Γυμνασίου 5 | 43 | 5649 | 3 | III | 655 | 20 | 116,3 | 2326 | 6978 | 52,5 | 1955,331 | 5.865,99 |
| | Αιθ. Γυμνασίου 6 | 43 | 7312 | 3 | III | 655 | 22 | 116,3 | 2558,6 | 7675,8 | 52,5 | 2150,864 | 6.452,59 |
| | Αιθ. Γυμνασίου 7 | 44 | 5743 | 3 | III | 655 | 24 | 116,3 | 2791,2 | 8373,6 | 52,5 | 2346,397 | 7.039,19 |
| | Αιθ. Γυμνασίου 8 | 42 | 5353 | 3 | III | 655 | 19 | 116,3 | 2209,7 | 6629,1 | 52,5 | 1857,564 | 5.572,69 |
| | Αιθ. Γυμνασίου 9 | 47 | 8096 | 5 | III | 655 | 18 | 116,3 | 2093,4 | 10467 | 52,5 | 1759,797 | 8.798,99 |
| | Διάδρομος | 161 | 22332 | 10 | III | 655 | 24 | 116,3 | 2791,2 | 27912 | 52,5 | 2346,397 | 23.463,97 |
| | Εργαστήριο τεχνικών | 75 | 9115 | 5 | III | 655 | 24 | 116,3 | 2791,2 | 13956 | 52,5 | 2346,397 | 11.731,98 |
| | | 603 | 82512 | | | | | | | 105856,26 | | | 88.987,09 |
| Ισόγειο | Γραμатеία | 15 | 4144 | 2 | III | 655 | 18 | 116,3 | 2093,4 | 4186,8 | 52,5 | 1759,797 | 3.519,59 |
| | Ξένη γλώσσα 1 | 36 | 6546 | 3 | III | 655 | 24 | 116,3 | 2791,2 | 8373,6 | 52,5 | 2346,397 | 7.039,19 |
| | Ξένη γλώσσα 2 | 38 | 6477 | 3 | III | 655 | 22 | 116,3 | 2558,6 | 7675,8 | 52,5 | 2150,864 | 6.452,59 |
| | Αίθουσα | 20 | 2335 | 2 | III | 655 | 18 | 116,3 | 2093,4 | 4186,8 | 52,5 | 1759,797 | 3.519,59 |
| | Εργαστήριο Χημείας | 99 | 12718 | 5 | III | 655 | 20 | 116,3 | 2326 | 11630 | 52,5 | 1955,331 | 9.776,65 |
| | Αίθουσα αισθητικής αγωγής | 48 | 9239 | 4 | III | 655 | 24 | 116,3 | 2791,2 | 11164,8 | 52,5 | 2346,397 | 9.385,59 |
| | Ξένη γλώσσα 3 | 25 | 3794 | 2 | III | 655 | 24 | 116,3 | 2791,2 | 5582,4 | 52,5 | 2346,397 | 4.692,79 |
| | Αιθουσα γυμνασίου 12 | 37 | 7534 | 3 | III | 655 | 22 | 116,3 | 2558,6 | 7675,8 | 52,5 | 2150,864 | 6.452,59 |
| | Αιθουσα γυμνασίου 11 | 39 | 5311 | 3 | III | 655 | 18 | 116,3 | 2093,4 | 6280,2 | 52,5 | 1759,797 | 5.279,39 |
| | Αιθουσα γυμνασίου 10 | 37 | 5172 | 3 | III | 655 | 18 | 116,3 | 2093,4 | 6280,2 | 52,5 | 1759,797 | 5.279,39 |
| | Διάδρομος | 220 | 24991 | 9 | III | 1000 | 24 | 151,19 | 3628,56 | 32657,04 | 52,5 | 3050,316 | 27.452,84 |
| | WC | 14 | 3073 | 3 | II | 1000 | 18 | 104,67 | 1884,06 | 5652,18 | 52,5 | 1583,818 | 4.751,45 |
| | | 628 | 91334 | | | | | | | 111345,62 | | | 88.850,22 |
| | Συγκεντρωτικά κτιρίου | 1811 | 260640 | 124 | | | | | | 322802,28 | | | 266.609,32 |

Από τον πίνακα 3 προκύπτει, ότι η εγκατάσταση είναι οριακά σχεδιασμένη για την κάλυψη των απωλειών ήτοι σημαίνει ότι για την κάλυψη του 100% των φορτίων για την δυσμενέστερη ημέρα σχεδιασμού ο λέβητας θα πρέπει να προσάγει στο δίκτυο νερό θερμοκρασίας 80°C.

6.4 Επιλογή ισχύος λέβητα

Από τις δύο προηγούμενες ενότητες προκύπτει ότι

α) οι πραγματικές απώλειες για τις δυσμενέστερες συνθήκες ανέρχονται σε 260kW

β) τα θερμαντικά σώματα της υφιστάμενης εγκατάστασης είναι ικανά να καλύψουν τις ανάγκες των θερμαινόμενων χώρων και έχουν ονομαστική αποδιδόμενη ισχύ 322kW και σε συνθήκες συνθήκες σχεδιασμού 267kW.

Στην υφιστάμενη κατάσταση, αν προσθέσουμε τα 58kW των χώρων που εξυπηρετούνται από την αντλία θερμότητας και δεν περιλαμβάνονται στον πίνακα 3, προκύπτει ότι συνολικά για το κτίριο αν εξυπηρετούταν στο σύνολό του από λέβητα πετρελαίου θα έπρεπε η ισχύς του να ήταν κατά μέγιστο 318kW + 25% ήτοι 400kW και όχι 525kW που είναι η ισχύς του υφιστάμενου λέβητα.

Για την νέα εγκατάσταση υπολογίζοντας 25% για απώλειες στον λέβητα αλλά και στο δίκτυο διανομής, το οποίο σημειώνεται ότι θα μονωθεί, προκύπτει απαίτηση για εγκατεστημένη ισχύ στον λέβητα $260\text{kW} + 25\% = 325\text{kW}$.

Επιλέγεται λέβητας ονομαστικής ισχύς 325kW.

Για την εγκατάσταση του λέβητα θα γίνουν οι παρακάτω ενέργειες .

α) θα απεγκατασταθεί ο υφιστάμενος και μαζί με τον κυκλοφορητή θα μεταφερθούν σε σημείο που θα ορίσει η επιβλέπουσα αρχή, σε οποιαδήποτε απόσταση αλλά εντός των γεωγραφικών ορίων του Δήμου Αλεξάνδρειας

β) θα μεταφερθεί ο ηλεκτρικός πίνακας σε νέα θέση αριστερά της αριστερής πόρτας του λεβητοστασίου

γ) θα εγκατασταθεί ο νέος λέβητας (θα πρέπει να τηρούνται τα αναφερόμενα στον κτιριοδομικό κανονισμό για τον χώρο εγκατάστασης του λέβητα)

δ) θα συνδεθεί ο λέβητας με τους υφιστάμενους συλλέκτες και θα γίνουν οι απαραίτητες μετακινήσεις και αλλαγές κατεύθυνσης των σωλήνων όπου αυτό απαιτηθεί.

ε) θα συνδεθεί ο λέβητας με το ηλεκτρικό δίκτυο, με την δεξαμενή πετρελαίου, με την αντιστάθμιση, και με το BMS.

6.5 Επιλογή τύπου λέβητα

Από τον πίνακα 3, και θεωρώντας ότι οι απώλειες είναι ανάλογες της διαφοράς θερμοκρασίας των εσωτερικών χώρων με το εξωτερικό περιβάλλον $\Delta\Theta = 20 - (-5) = 25^\circ\text{C}$ προκύπτει ότι για κάθε Κέλβιν διαφοράς θερμοκρασίας οι απαιτήσεις του κτιρίου ανέρχονται σε 10500W/K.

Υπολογίζοντας την απόδοση των υφιστάμενων σωμάτων για θερμοκρασία προσαγωγής 60°C και επιστροφής 50°C προκύπτει, ότι στο σύνολο των χώρων που θερμαίνονται με σώματα ακτινοβολίας αυτά μπορούν να αποδώσουν 158kW.

Η ισχύς αυτή θα ήταν ικανοποιητική για να καλύψει διαφορές θερμοκρασίας εσωτερικού χώρου με εξωτερικό περιβάλλον $\Delta\Theta = 158.000(\text{W})/[10.500(\text{W/K})] = 15\text{K}$ ήτοι για εσωτερική θερμοκρασία 20°C , εξωτερική 5°C .

Πίνακας 4 Θερμοκρασιακά στοιχεία (θέση Τρίκαλα Ημαθίας)

| Τρίκαλα Ημαθίας | | | | | | | | | | | | |
|--|------|------|------|------|------|------|------|------|------|------|------|------|
| | ΙΑΝ | ΦΕΒ | ΜΑΡ | ΑΠΡ | ΜΑΪ | ΙΟΥΝ | ΙΟΥΛ | ΑΥΓ | ΣΕΠ | ΟΚΤ | ΝΟΕ | ΔΕΚ |
| Μέση μηνιαία θερμοκρασία 24 ώρου | 4,7 | 6,1 | 9,6 | 14,4 | 19,7 | 24,3 | 25,9 | 25,0 | 21,1 | 15,8 | 9,7 | 5,5 |
| Μέση μηνιαία θερμοκρασία κατά τη διάρκεια της ημέρας | 6,0 | 7,6 | 11,0 | 16,5 | 22,2 | 27,3 | 29,0 | 27,8 | 24,5 | 18,1 | 11,7 | 7,8 |
| Μέση μέγιστη μηνιαία θερμοκρασία | 9,1 | 11,1 | 11,2 | 16,0 | 21,3 | 25,9 | 27,6 | 26,9 | 23,1 | 17,6 | 11,1 | 6,8 |
| Μέση ελάχιστη μηνιαία θερμοκρασία | 1,5 | 2,6 | 5,2 | 8,5 | 13,3 | 17,2 | 18,9 | 18,3 | 15,2 | 11,2 | 6,4 | 2,8 |
| Μέση απολύτως μέγιστη μηνιαία θερμοκρασία | 18,4 | 19,5 | 23,5 | 26,5 | 32,4 | 36,9 | 38,7 | 36,8 | 34,5 | 29,9 | 22,6 | 18,7 |
| Μέση απολύτως ελάχιστη μηνιαία θερμοκρασία | -4,8 | -3,3 | -0,7 | 3,3 | 8,1 | 12,5 | 14,9 | 14,2 | 10,5 | 4,9 | 0,0 | -3,6 |

Από τον πίνακα 4 και από την μέση μηνιαία θερμοκρασία κατά την διάρκεια της ημέρας προκύπτει ότι το σύστημά μας θα λειτουργεί για μεγάλο χρονικό διάστημα του έτους σε θερμοκρασίες προσαγωγής της τάξης των 60°C.

Γίνεται λοιπόν σαφές ότι η επιλογή ενός λέβητα χαμηλών θερμοκρασιών, είναι από ενεργειακής άποψης επιθυμητή. Η προσθήκη δε και εναλλάκτη συμπύκνωσης στην έξοδο των καυσαερίων θα αύξανε περισσότερο την απόδοση του συστήματος αλλά η ιδιαίτερα υψηλή του τιμή στην παρούσα χρονική στιγμή δεν θα μπορούσε να αποσβεστεί με την χρήση.

Συνεπώς για το έργο *επιλέγεται λέβητας ονομαστικής ισχύς 325kW, χαμηλών θερμοκρασιών, με δυνατότητα μελλοντικής προσθήκης εναλλάκτη συμπύκνωσης στην έξοδο των καυσαερίων.*

Η καμινάδα του λέβητα θα είναι διπλού τοιχώματος από ανοξείδωτο χάλυβα με εσωτερική μόνωση πάχους 30mm. Η καμινάδα του λέβητα θα είναι εσωτερικής διαμέτρου Φ250 διπλού τοιχώματος από ανοξείδωτο χάλυβα με εσωτερική μόνωση πάχους 30mm, θερμικής αγωγιμότητας σε θερμοκρασίες καυσαερίων $\lambda < 0,04 \text{ W/mK}$. Στο σημείο σύνδεσης της καπνοδόχου με τον λέβητα θα υπάρχει damper που θα κλείνει μόλις σταματάει ο λέβητας. Ο ανάδοχος θα απεγκαταστήσει την υφιστάμενη καμινάδα και θα εγκαταστήσει την νέα με συνολικό μήκος μέχρι 15m. Προσοχή θα δοθεί στην προστασία της καμινάδας και την σύνδεσή της με τον απαραίτητο εξοπλισμό στο σύστημα αντικεραυνικής του κτιρίου.

6.6 Σύνδεση υφιστάμενου συστήματος αντιστάθμισης

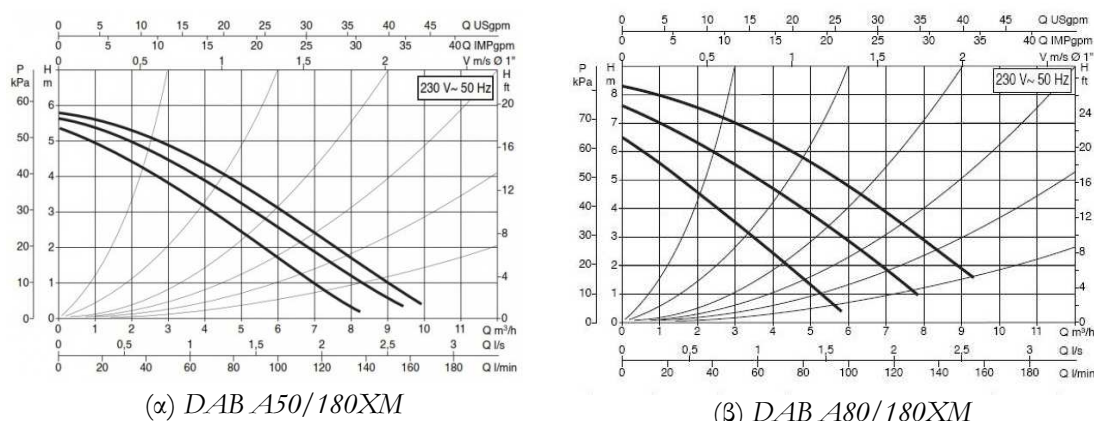
Για τον νέο λέβητα θα εγκατασταθεί το υφιστάμενο σύστημα αντιστάθμισης το οποίο θα δίνει εντολές στον καυστήρα και στην τριόδο βαλβίδα ενώ θα δέχεται εντολές από αισθητήρια θερμοκρασίας εντός και εκτός του κτιρίου. Τέλος η αντιστάθμιση θα τροποποιηθεί εφόσον χρειαστεί ώστε να διαθέτει πρωτόκολλο επικοινωνίας με BMS.

7. Αντικατάσταση κυκλοφορητών

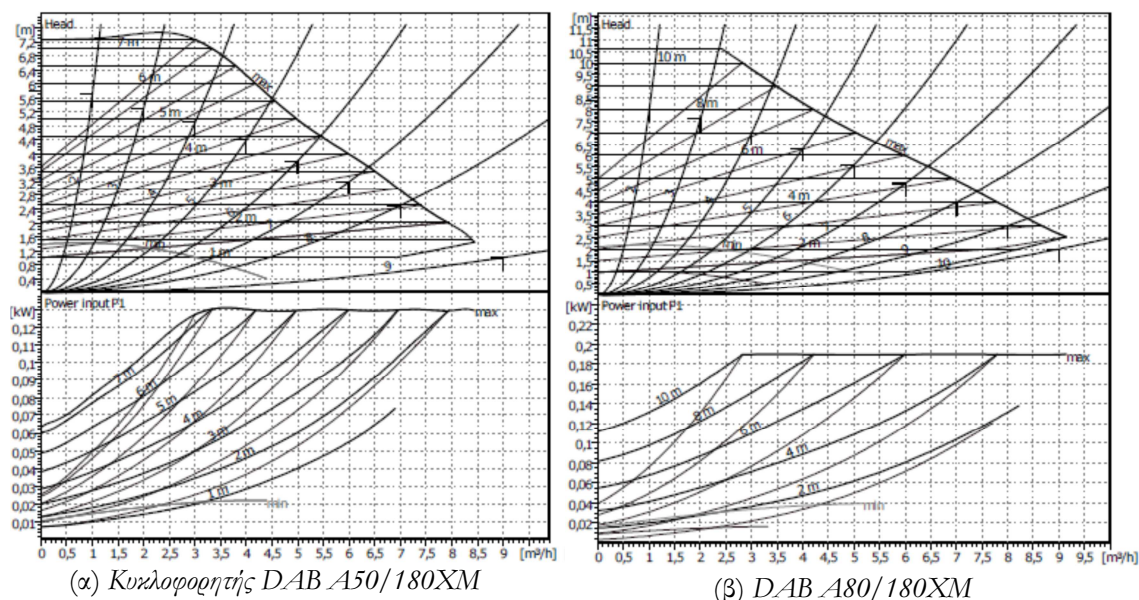
Για την βελτίωση της απόδοσης του συστήματος θέρμανσης θα αντικατασταθούν οι κυκλοφορητές σταθερής παροχής με αντίστοιχους μεταβλητής παροχής οι οποίοι θα είναι κατ'ελάχιστον ενεργειακής κλάσης A και θα συνδεθούν στο BMS του κτιρίου.

Οι κυκλοφορητές που είναι εγκατεστημένοι στον υφιστάμενο συλλέκτη είναι δύο τύπων. Ο DAB A50/180XM και ο DAB A80/180XM. Στην εικόνα 1 δίνονται οι χαρακτηριστικές των δύο αυτών κυκλοφορητών. Στην εικόνα 2 δίνονται οι χαρακτηριστικές των νέων κυκλοφορητών έχοντας σημειωμένα ανά μονάδα παροχής ($1 \text{ m}^3/\text{h}$) σημεία της μέγιστης χαρακτηριστικής καμπύλης του κυκλοφορητή.

Εικόνα 1. Χαρακτηριστικές καμπύλες υφιστάμενων κυκλοφορητών



Εικόνα 2. Χαρακτηριστικές καμπύλες νέων κυκλοφορητών με inverter (Στην χαρακτηριστική καμπύλη του inverter κυκλοφορητή είναι σημειωμένα δοσμένα (ανά $1 \text{ m}^3/\text{h}$) η μέγιστη χαρακτηριστική καμπύλη του αντίστοιχου υφιστάμενου κυκλοφορητή DAB A50/180XM και DAB A80/180XM αντίστοιχα)



Πίνακας 5. Τύποι παλαιών αντλιών και χαρακτηριστικά νέων

| Α/Α σχεδίου | Υφιστάμενη αντλία | Χαρακτηριστικά νέας in line αντλίας με inverter | | |
|----------------|----------------------|--|------------------|------------------|
| | | Q _{max} | H _{max} | P _{max} |
| | Τύπος | m ³ /h | mΥΣ | W |
| K3 | DAB A80/180X | 10,8 | 9 | 190 |
| K4 | DAB A50/180X | 8,5 | 7,2 | 130 |
| K5 | DAB A50/180X | 8,5 | 7,2 | 130 |
| K6 | DAB A80/180X | 10,8 | 9 | 190 |
| K7 | DAB A80/180X | 10,8 | 9 | 190 |
| K8 | Νέα αντλία | 8,5 | 7,2 | 130 |

Στον πίνακα 5 δίνονται οι τύποι των παλαιών κυκλοφορητών και τα χαρακτηριστικά των νέων in line αντλιών.

Οι νέοι κυκλοφορητές θα συνδεθούν με το ηλεκτρικό δίκτυο, και με τους αυτοματισμούς του λέβητα και με το BMS.

8. Θερμοστατικές κεφαλές στα θερμαντικά σώματα

Στα θερμαντικά σώματα όλων των χρωών, όπως φαίνεται και στα σχέδια της μελέτης θα τοποθετηθούν θερμοστατικές κεφαλές με δίοδη ηλεκτροκίνητη βαλβίδα. Οι θερμοστατικές κεφαλές θα φέρουν κομβίο εξοικονόμησης στους 20°C και θέση off, με κλίμακα ρύθμισης 8-28°C. Οι θερμοστατικοί διακόπτες, οι κεφαλές και τα αισθητήρια θα φέρουν σήμανση CE και θα συνοδεύονται από εγγύηση τουλάχιστον 5 ετών.

9. Θερμική μόνωση δικτύων

Τα υφιστάμενα δίκτυα οι διαμέτροι των οποίων φαίνονται στα σχέδια (μπορεί να υπάρχει απόκλιση $\pm 1/4"$ κάτω που θα πρέπει να λάβει υπόψη του ο ανάδοχος πριν την προσφορά και δεν θα εγείρει πρόσθετες αξιώσεις),

Όλες οι σωληνώσεις προσαγωγής και επιστροφής ζεστού ή/και κρύου νερού θα μονωθούν προς αποφυγή τόσο θερμικών απωλειών, όσο και εμφάνισης συμπυκνωμάτων πάνω στις ψυχρές επιφάνειές τους. Η μόνωση των σωληνώσεων θα εκτελεστεί με κογγυλία από ειδικό συνθετικό μονωτικό υλικό και επικάλυψη αλουμινίου

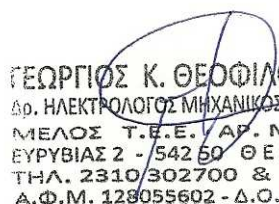
Το μονωτικό υλικό θα έχει συντελεστή θερμικής αγωγιμότητας $\lambda < 0,040 \text{ W/(mK)}$ (στους 20°C)

Για το τμήμα του δικτύου που οδεύει εκτός του κτιρίου το πάχος των μονωτικών κογγυλιών θα είναι 9mm για διαμέτρους μέχρι DN20, 11mm για διαμέτρους μέχρι DN40, 13mm για διαμέτρους DN80 και 19mm για μεγαλύτερες.

10. Σημείωση

Τα αναγραφόμενα στην μελέτη θέρμανσης και ψύξης καθώς και οι υπολογισμοί των θερμικών και ψυκτικών φορτίων του κτιρίου, ισχύουν μόνο και εφόσον γίνουν οι επεμβάσεις στην θερμομόνωση του κελύφους ήτοι προσθήκη θερμομόνωσης με ορυκτοβάμβακα πάχους 10cm με $\lambda=0,037 \text{ W/mK}$ στην οροφή εντός της στέγης και βαφή του συνόλου του κελύφους με θερμομονωτική βαφή. Χαρακτηριστικά των ανωτέρω υπάρχουν σε μελέτη που έχει κατατεθεί στον Δήμο Αλεξάνδρειας.

Ο συντάκτης Μηχανικός


ΓΕΩΡΓΙΟΣ Κ. ΘΕΟΦΙΛΟΓΙΑΝΝΑΚΟΣ
Δρ. ΗΛΕΚΤΡΟΛΟΓΟΣ ΜΗΧΑΝΙΚΟΣ & ΜΗΧΑΝΙΚΟΣ Η/Υ
ΜΕΛΟΣ Τ.Ε.Ε./ΑΡ. ΜΗΤΡ. 94009
ΕΥΡΥΒΙΑΣ 2 - 542 60 ΘΕΣΣΑΛΟΝΙΚΗ
ΤΗΛ. 2310/302700 & 6972 776567
Α.Φ.Μ. 128055602 - Δ.Ο.Υ. Ζ' ΘΕΣ/ΝΙΚΗΣ

